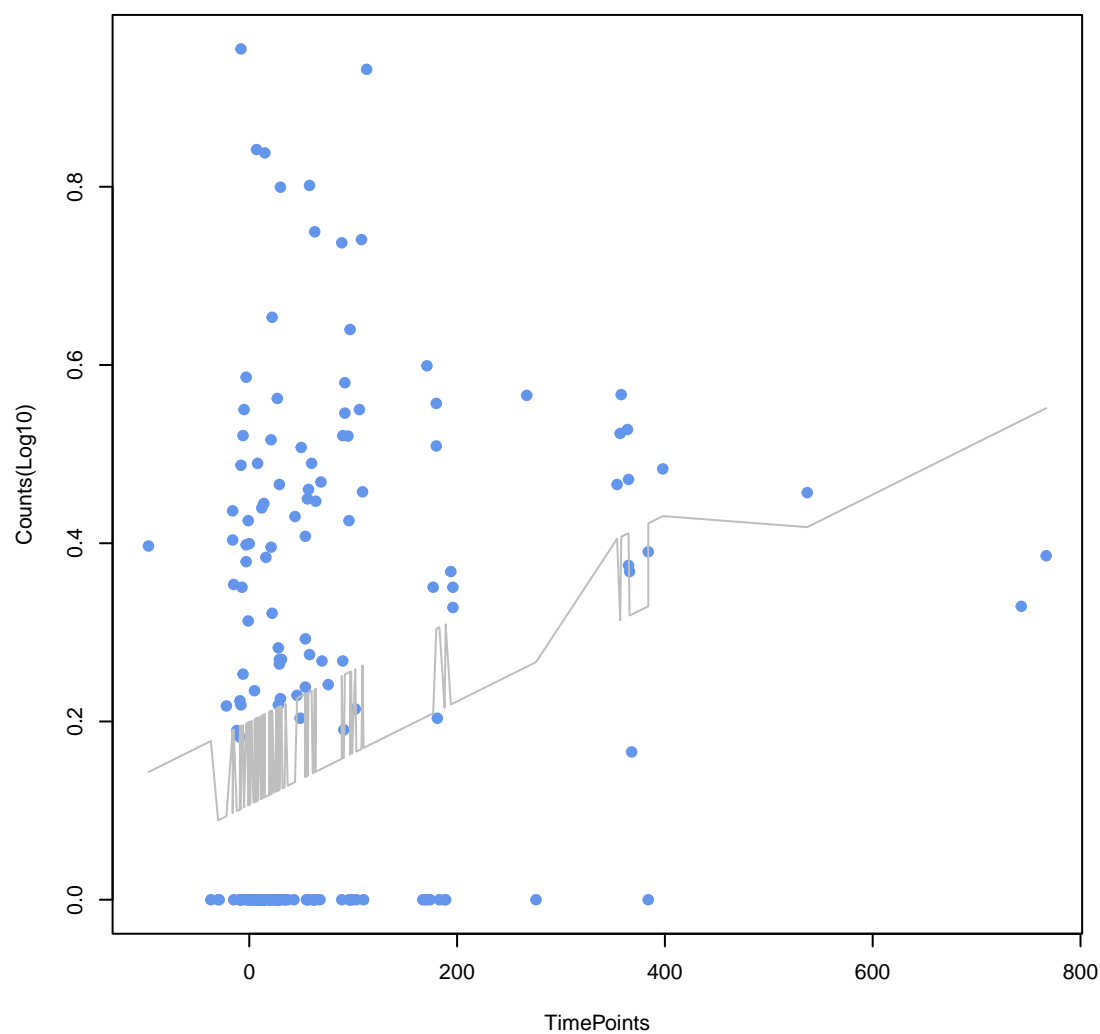
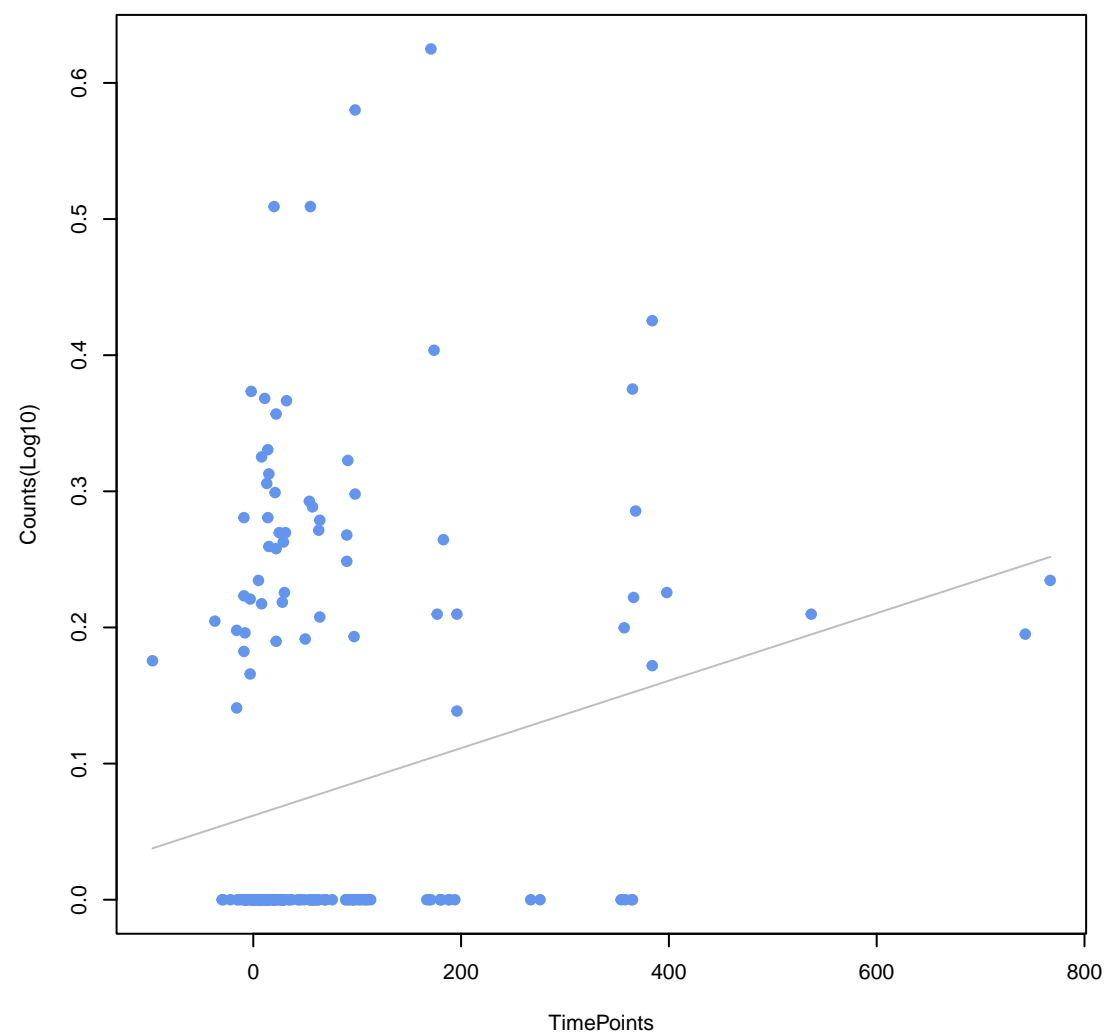


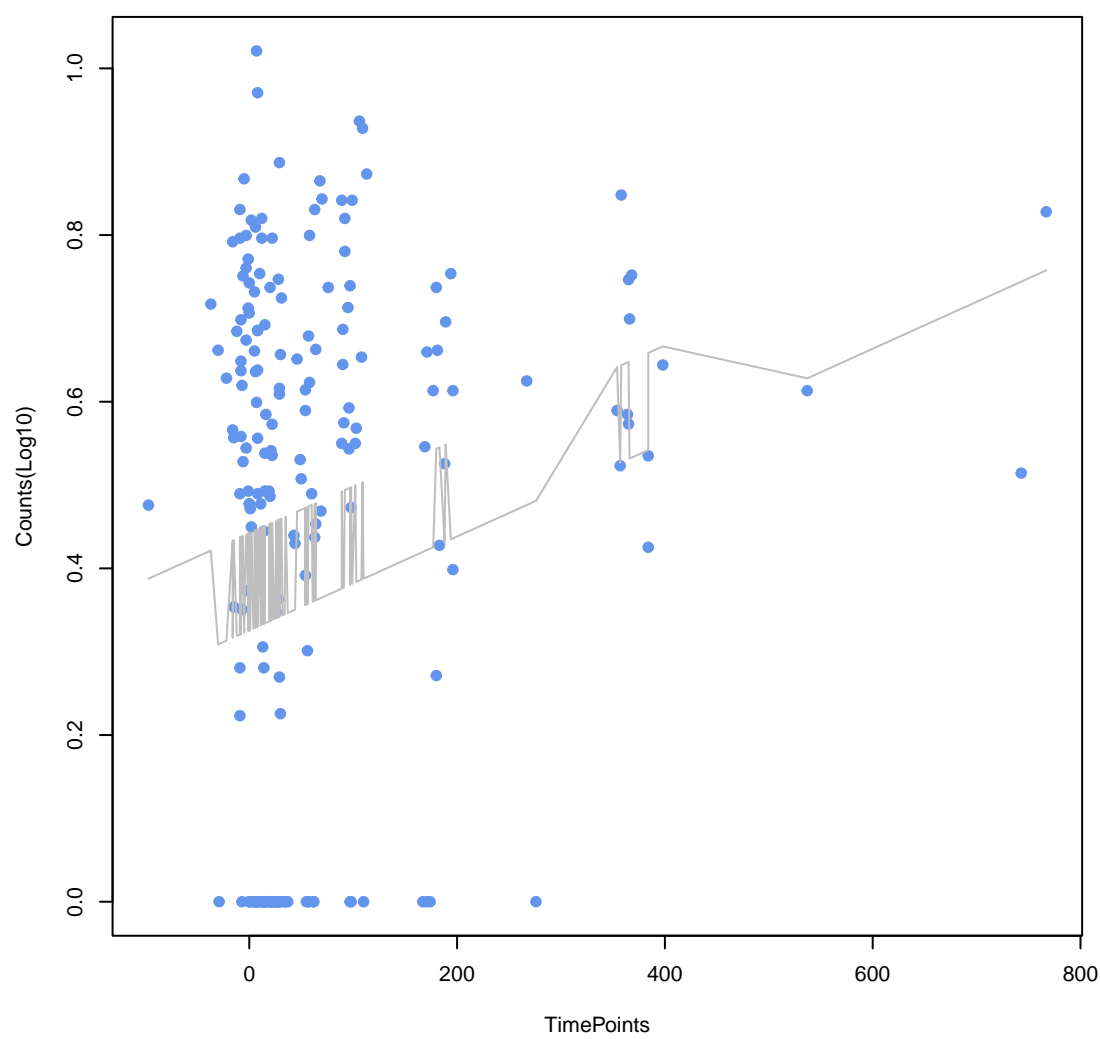
nimA
ANOVA $P=3.05e-05$, adj. ANOVA $P=0.00327$



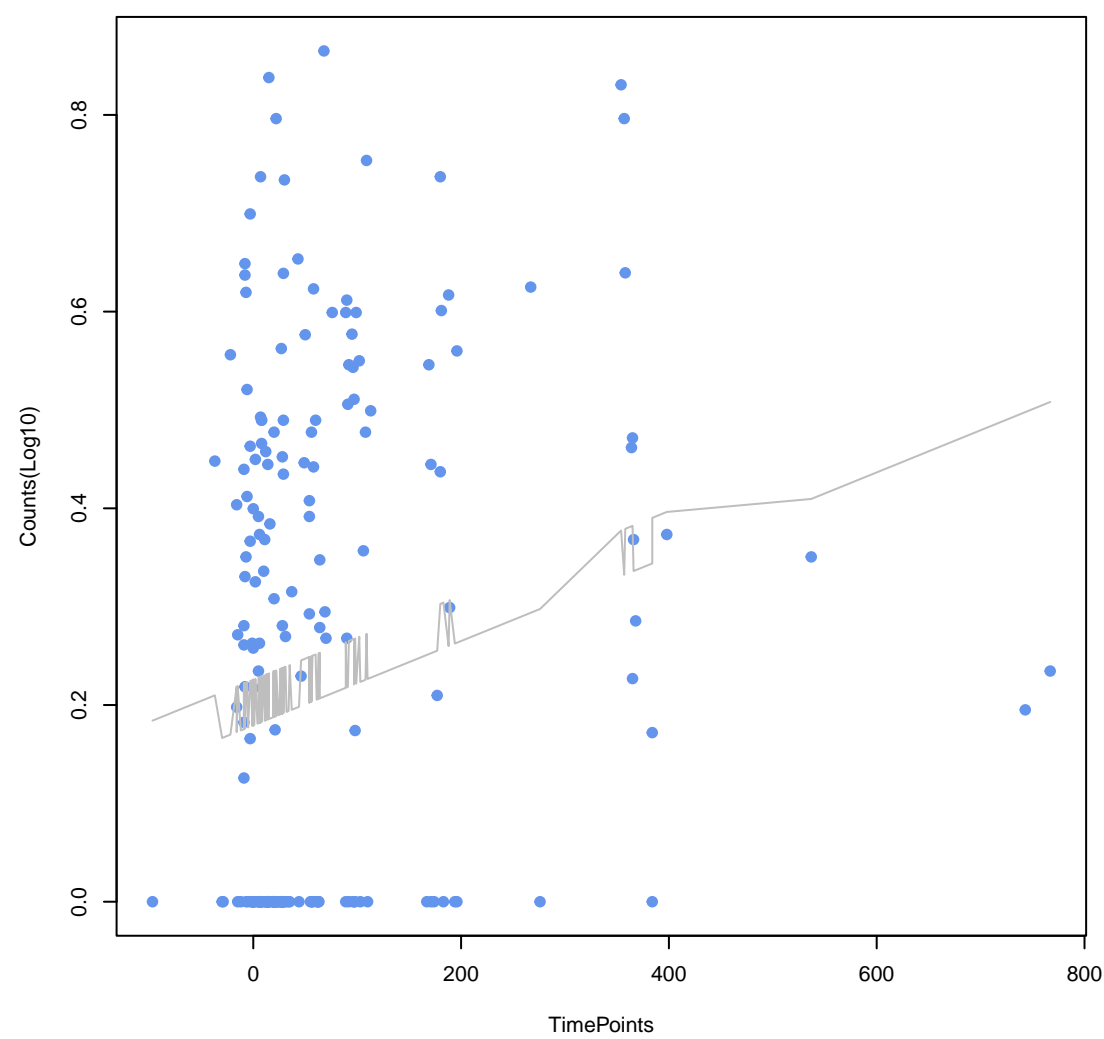
evgA
ANOVA $P=0.00151$, adj. ANOVA $P=0.0659$



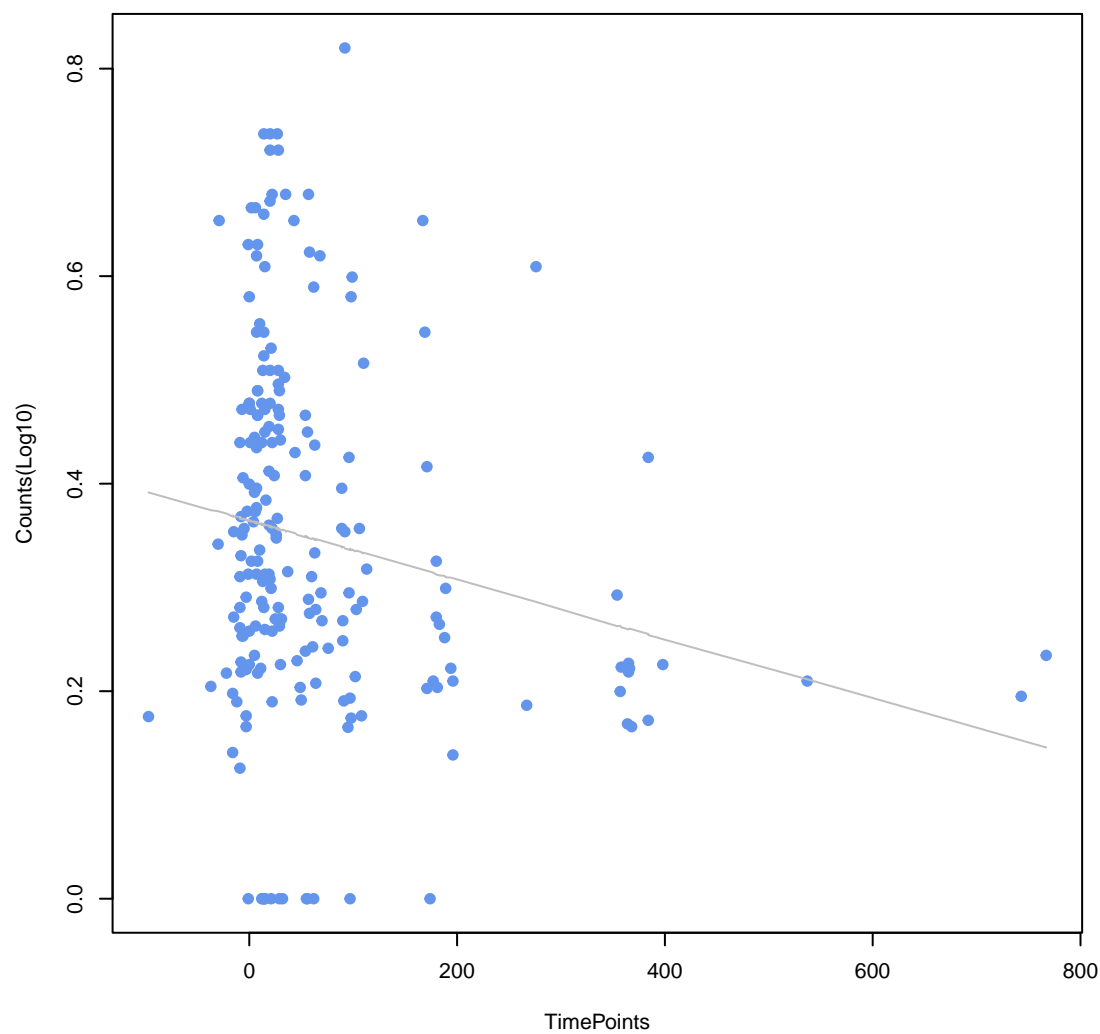
tet(T)
ANOVA $P=0.00185$, adj. ANOVA $P=0.0659$



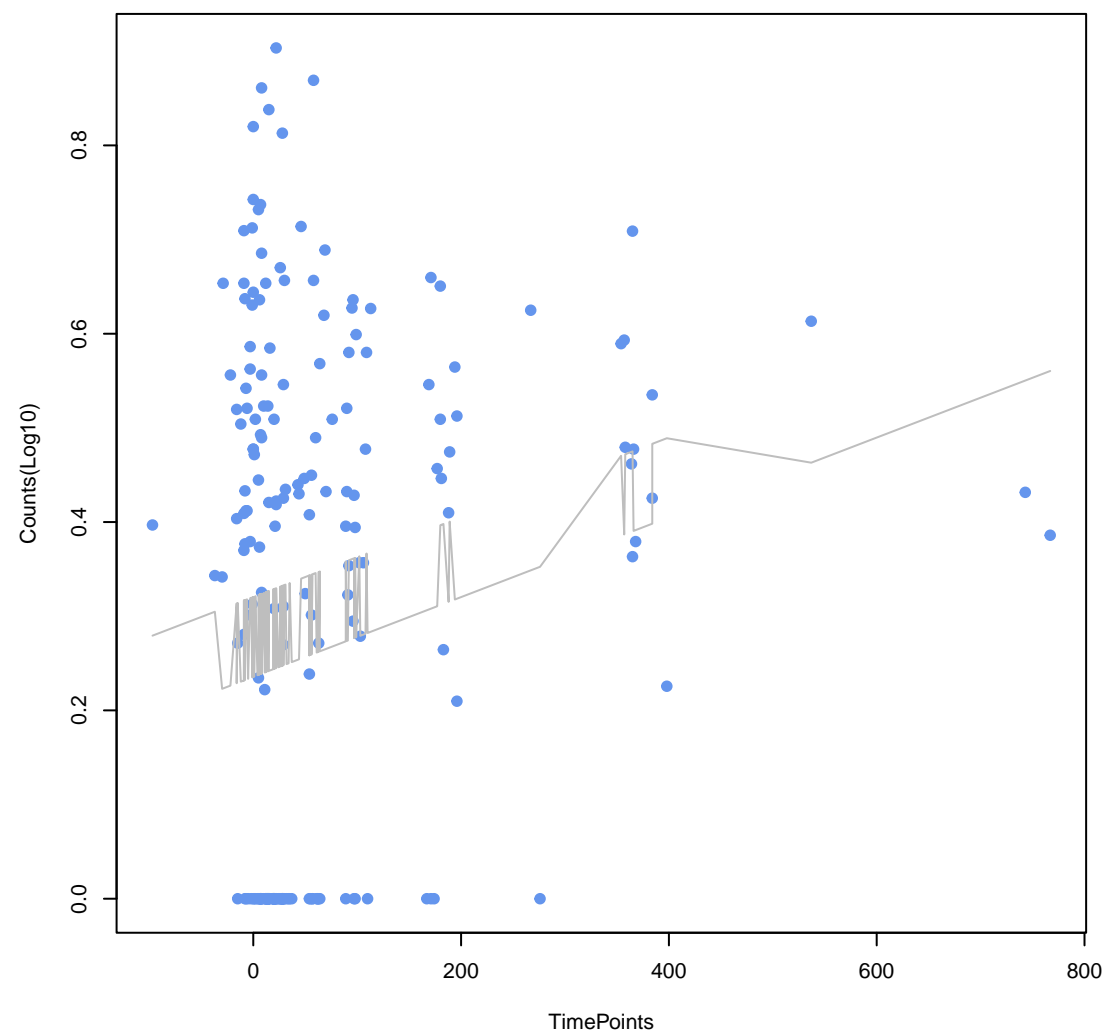
nimJ
ANOVA $P=0.00338$, adj. ANOVA $P=0.0905$

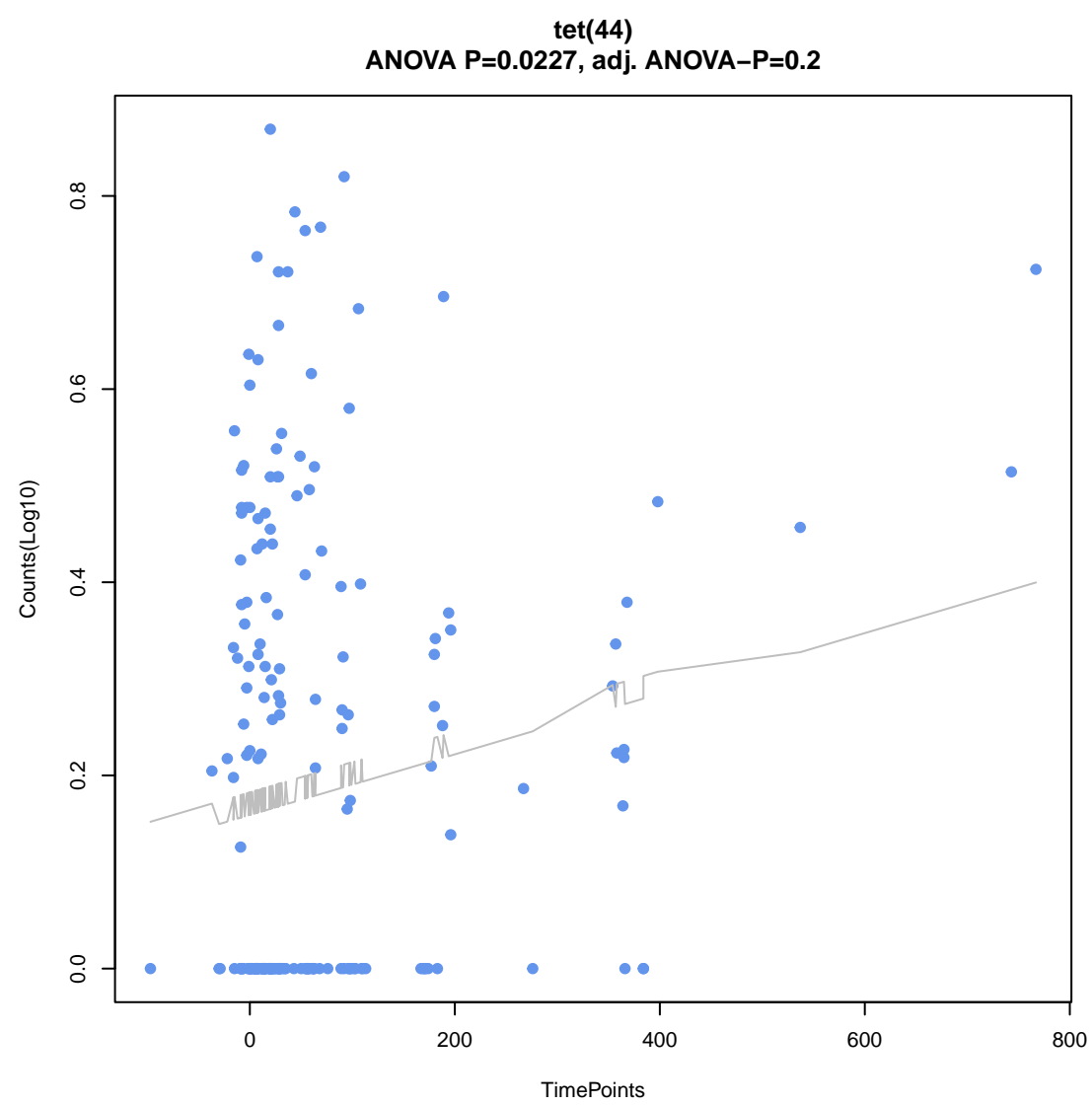
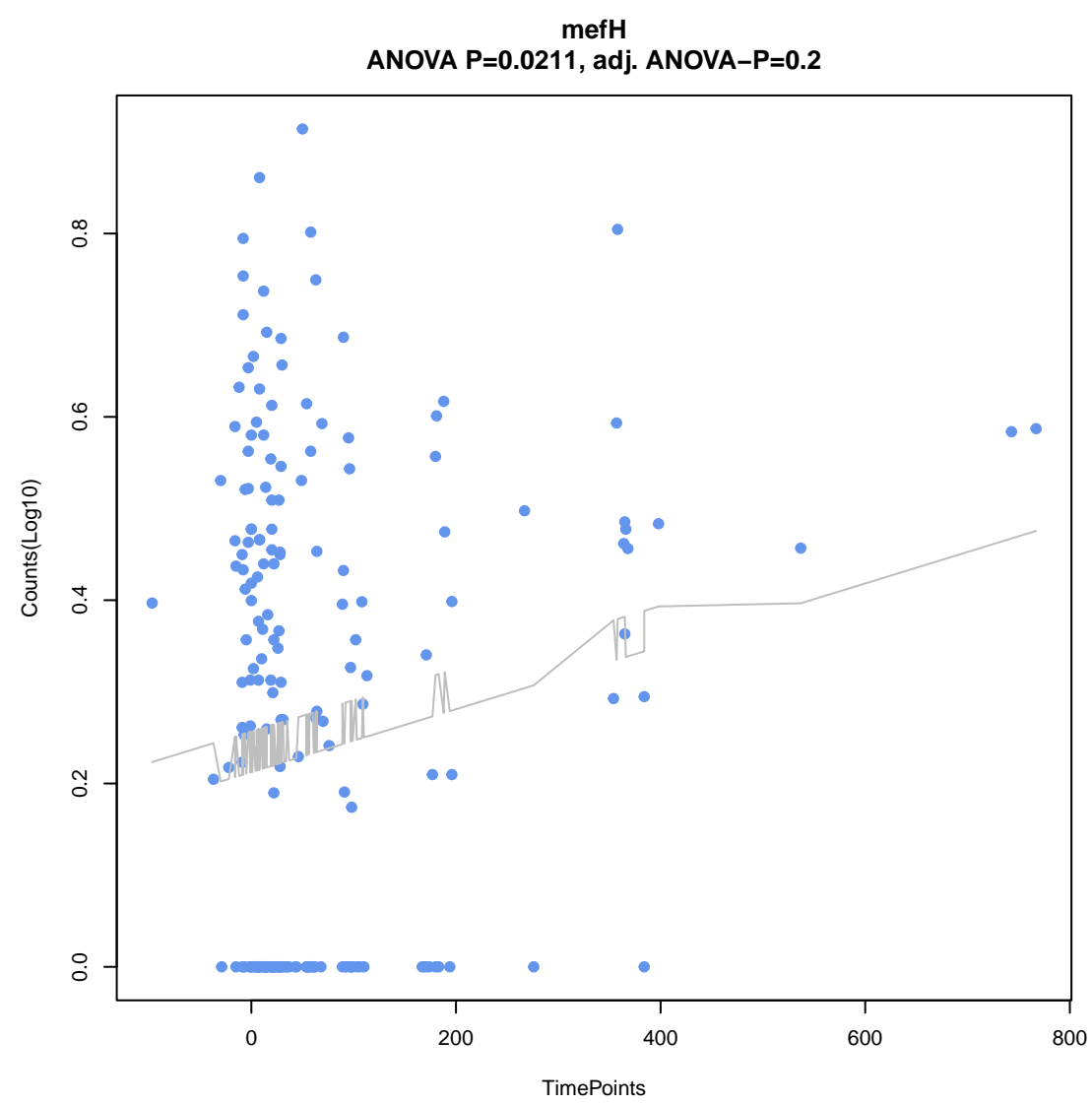
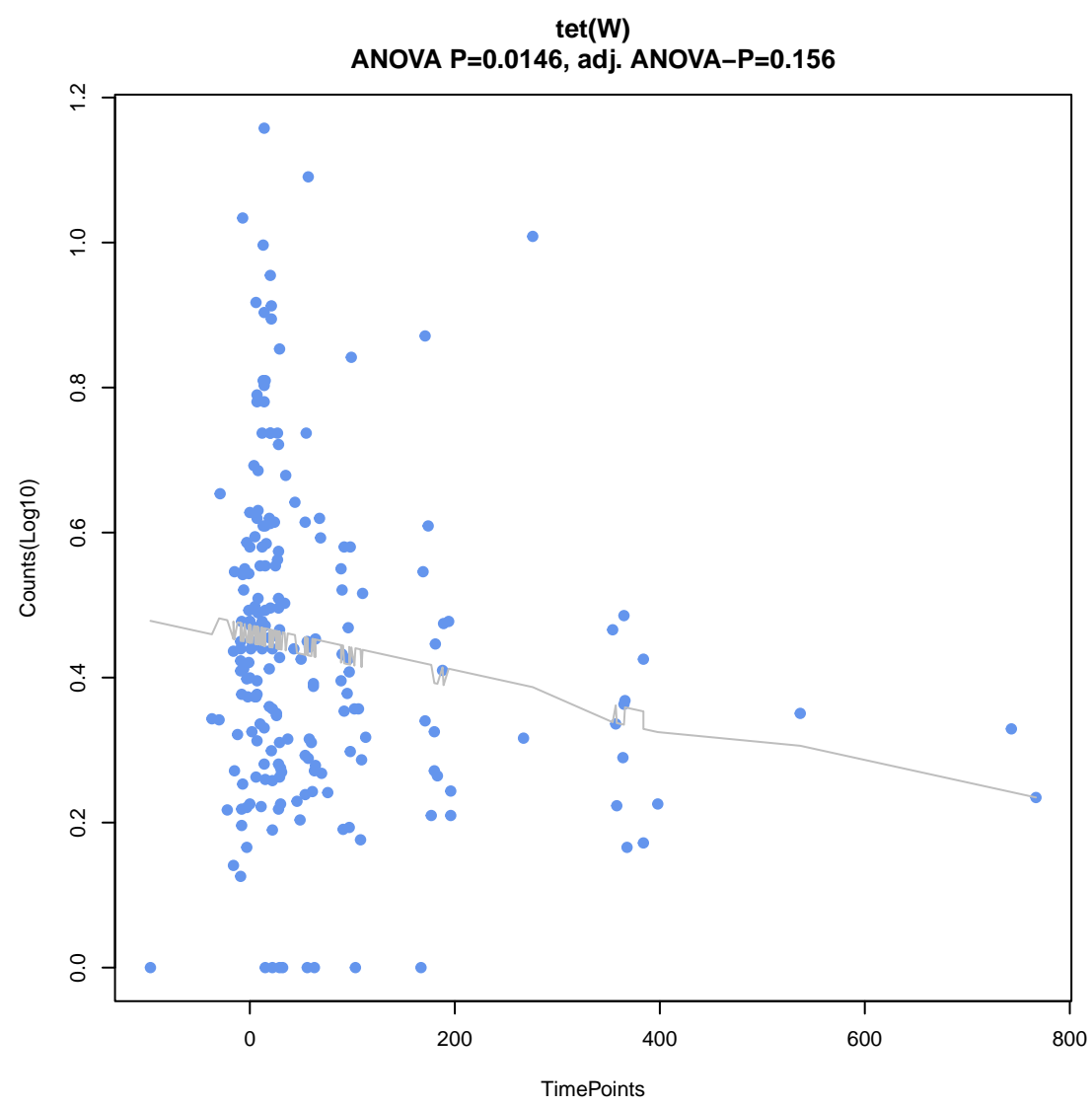
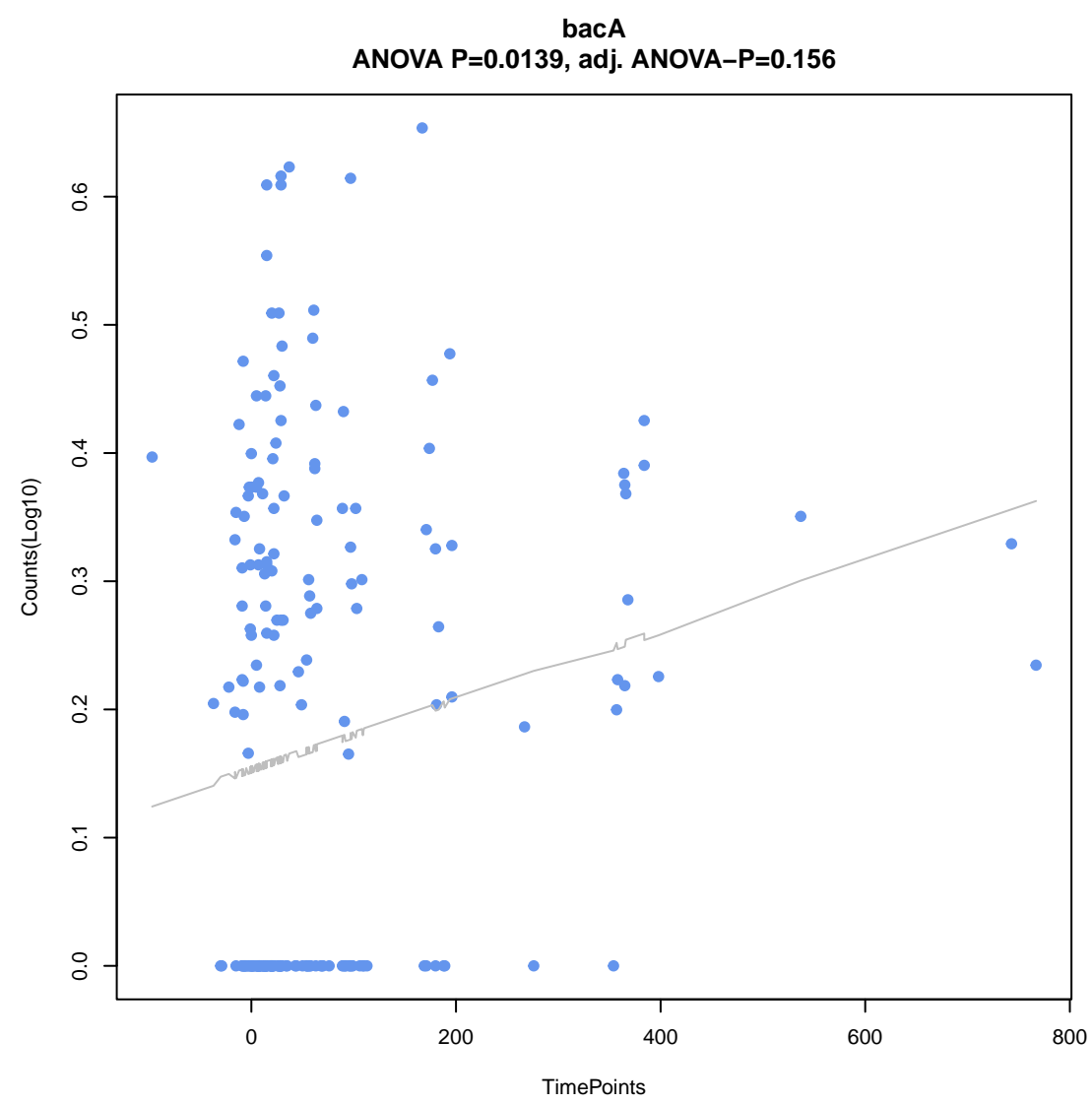
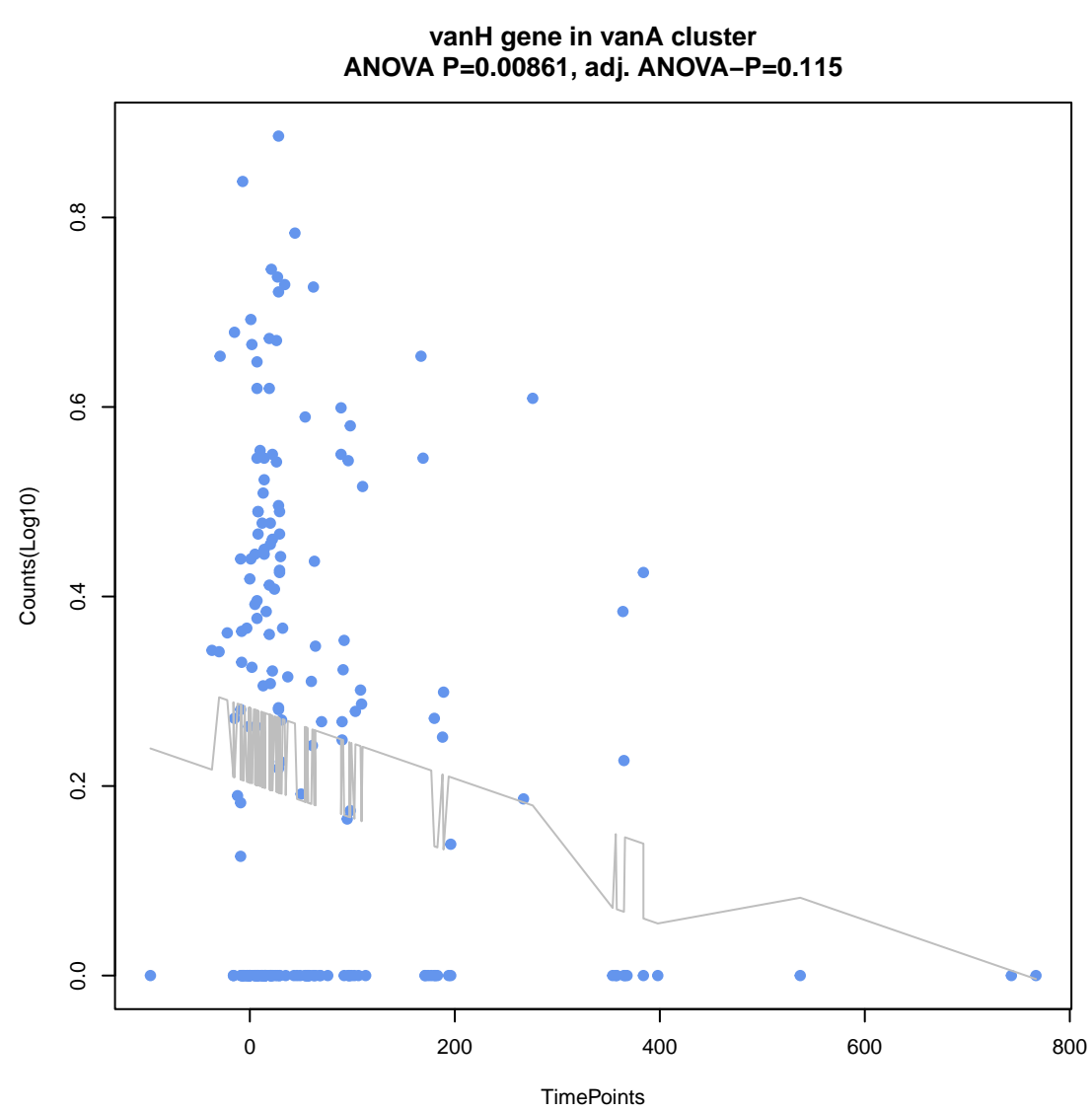
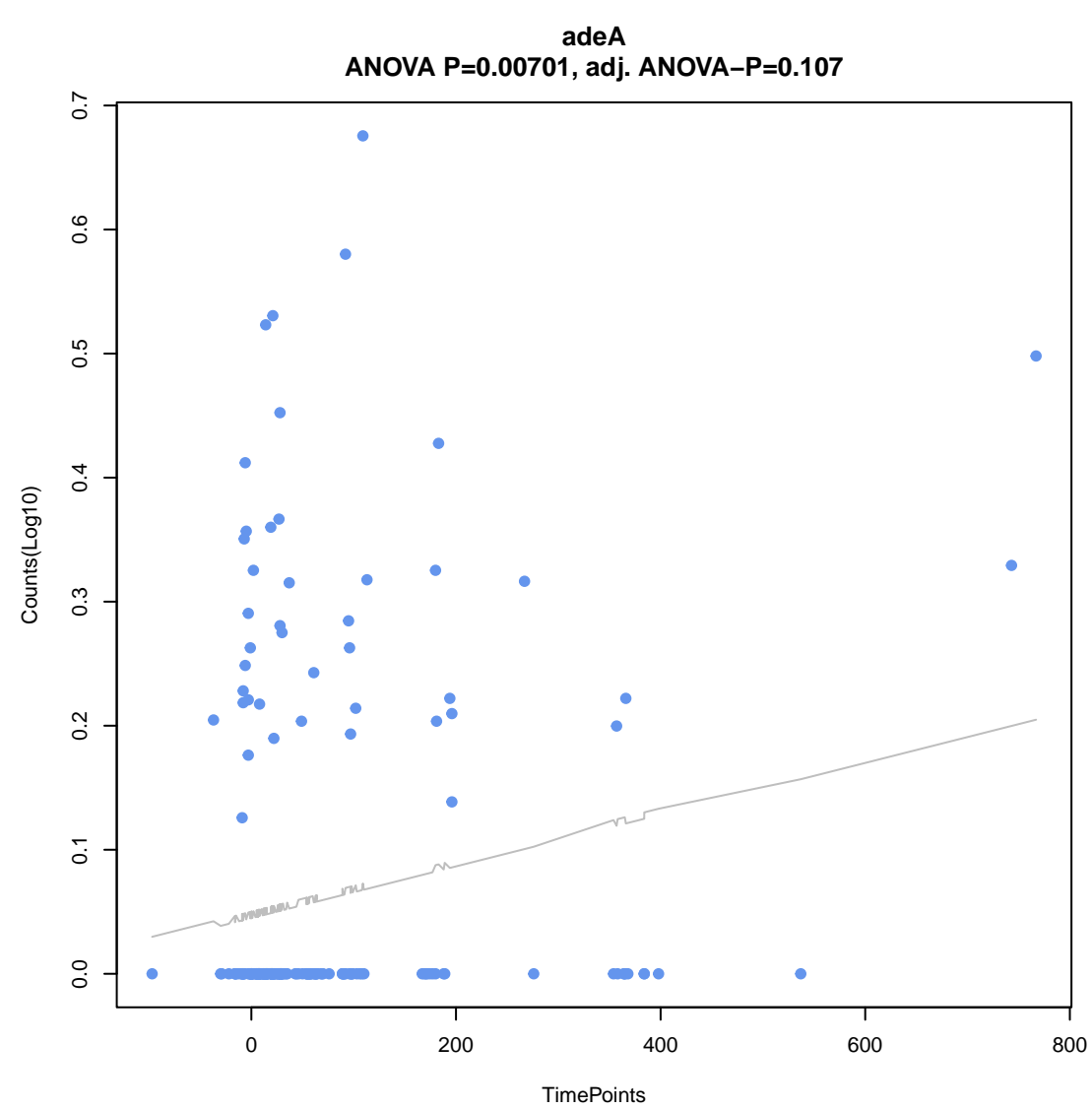


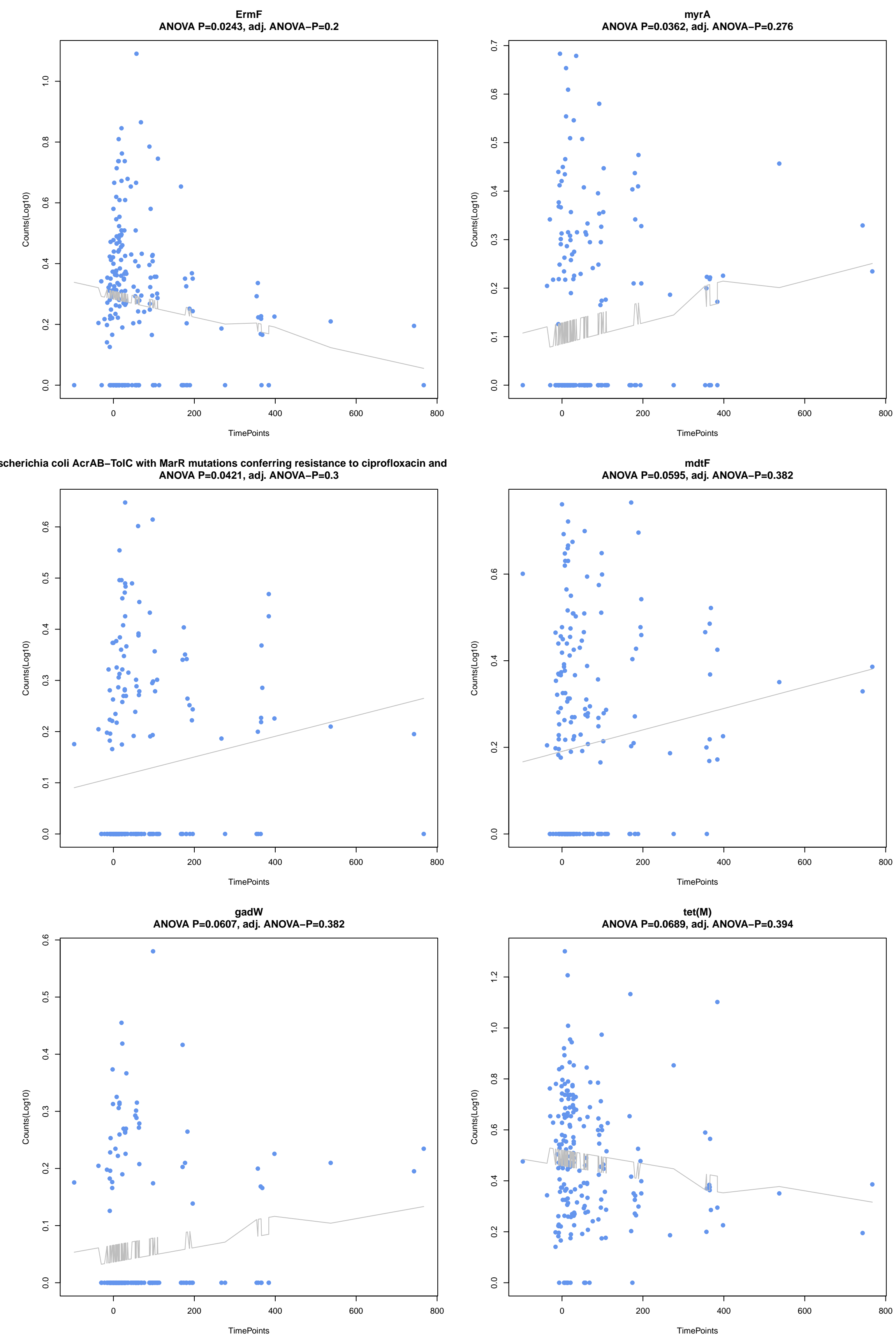
ErmB
ANOVA $P=0.00496$, adj. ANOVA $P=0.106$



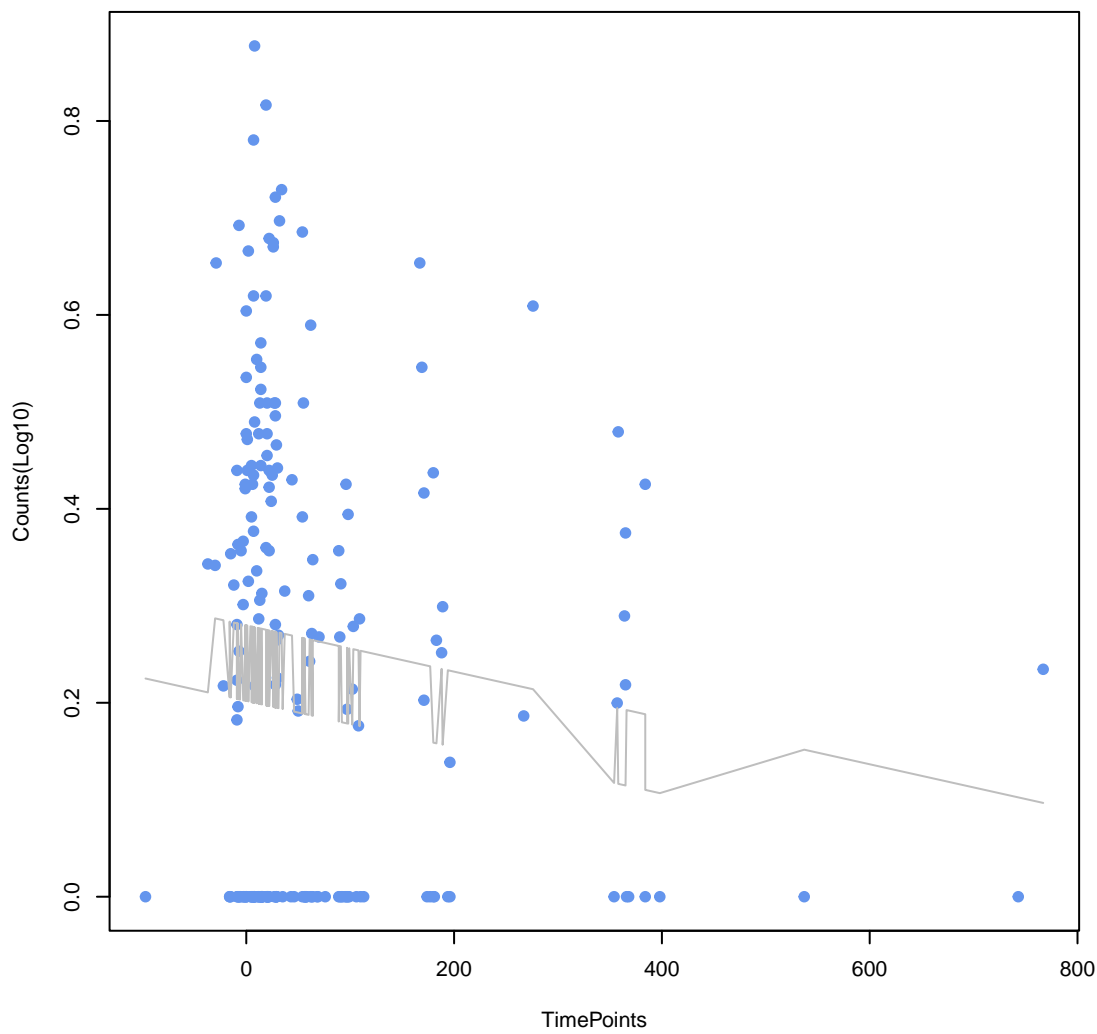
tet(36)
ANOVA $P=0.00614$, adj. ANOVA $P=0.107$



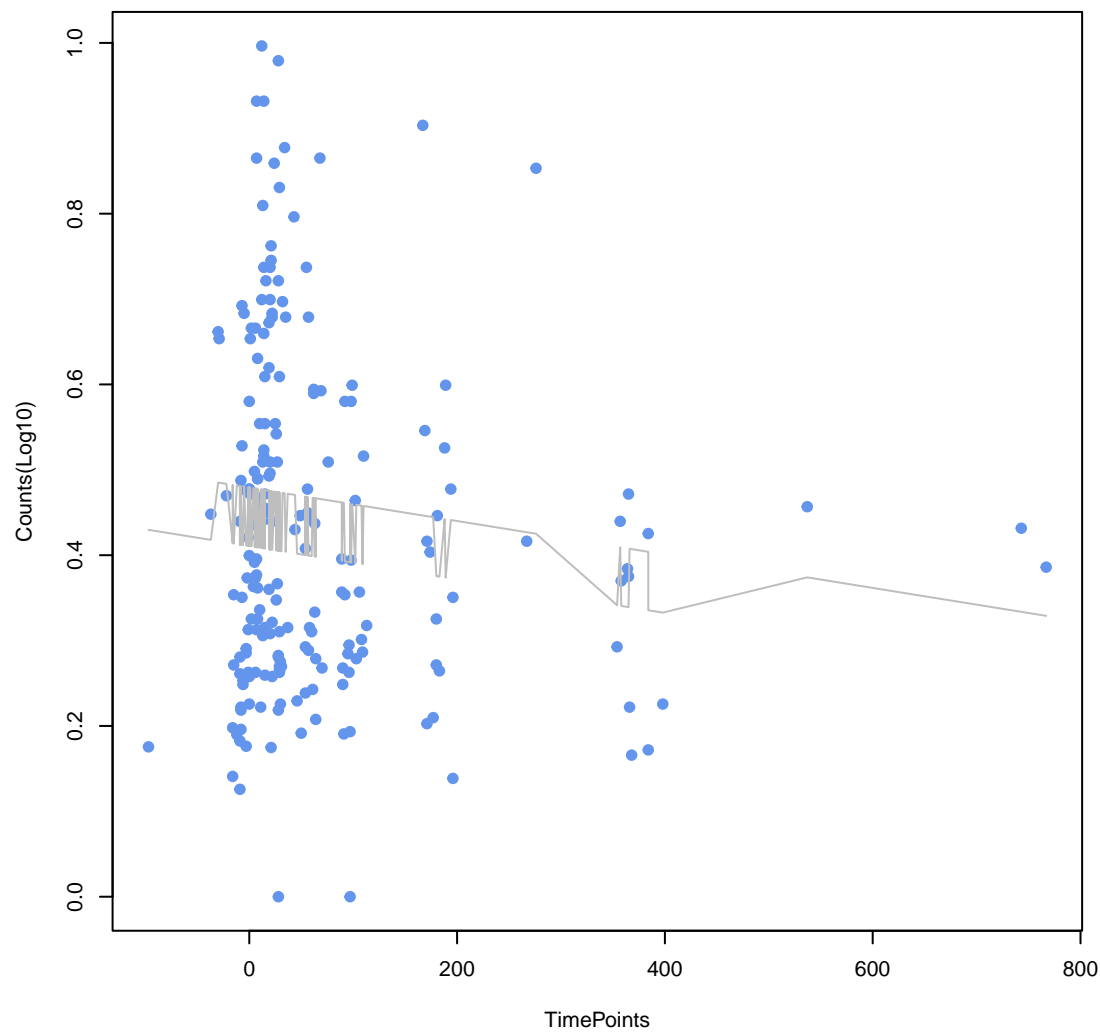




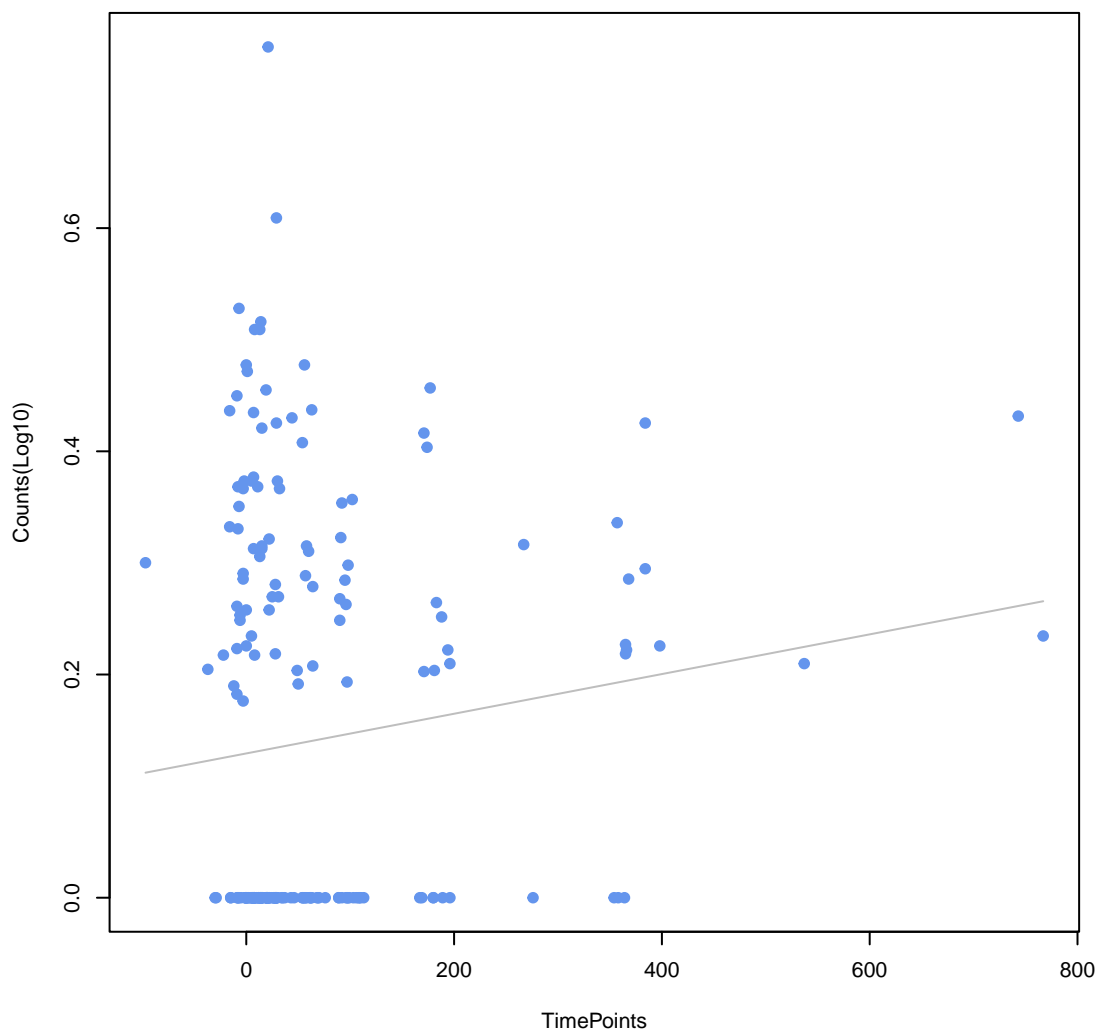
vanA
ANOVA P=0.0802, adj. ANOVA-P=0.394



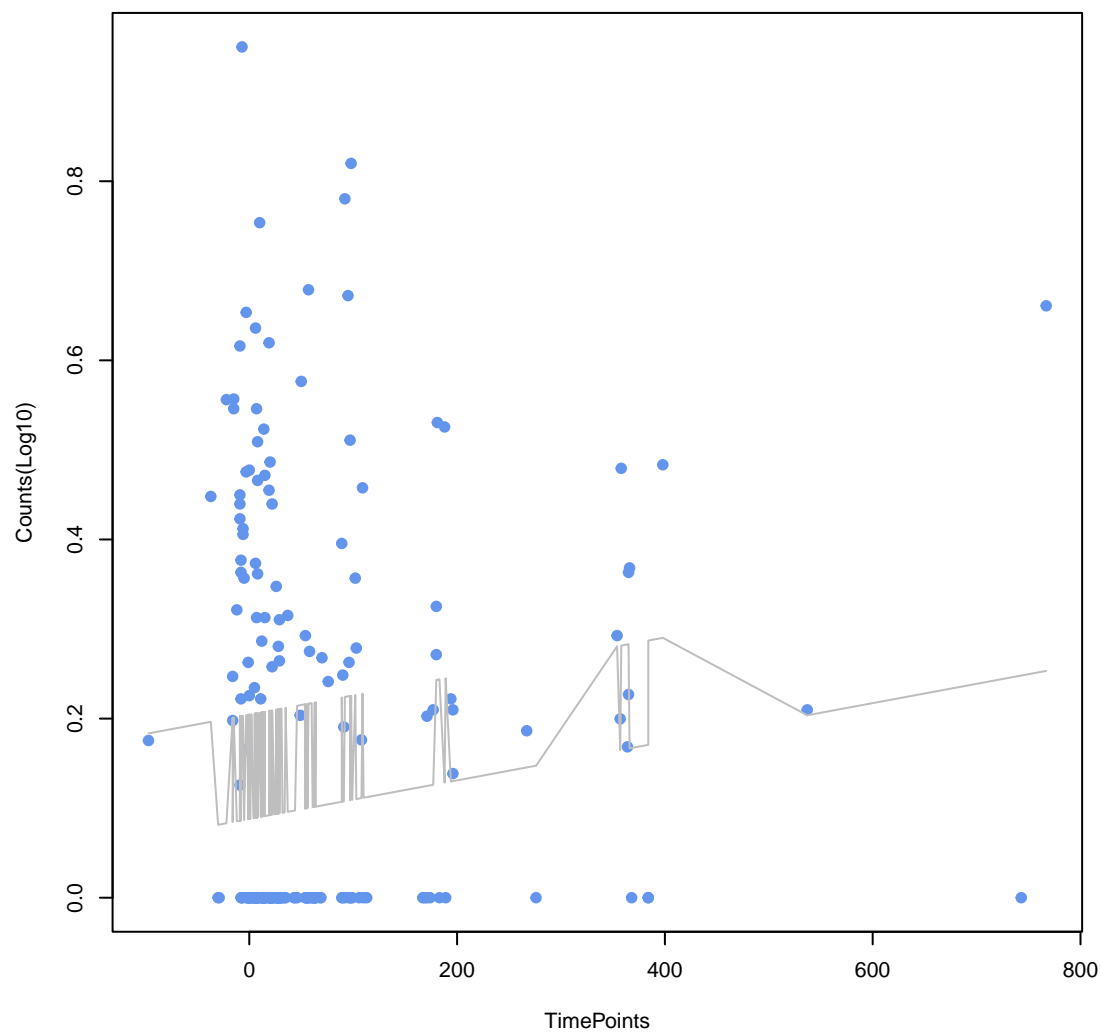
tet(O)
ANOVA P=0.0813, adj. ANOVA-P=0.394



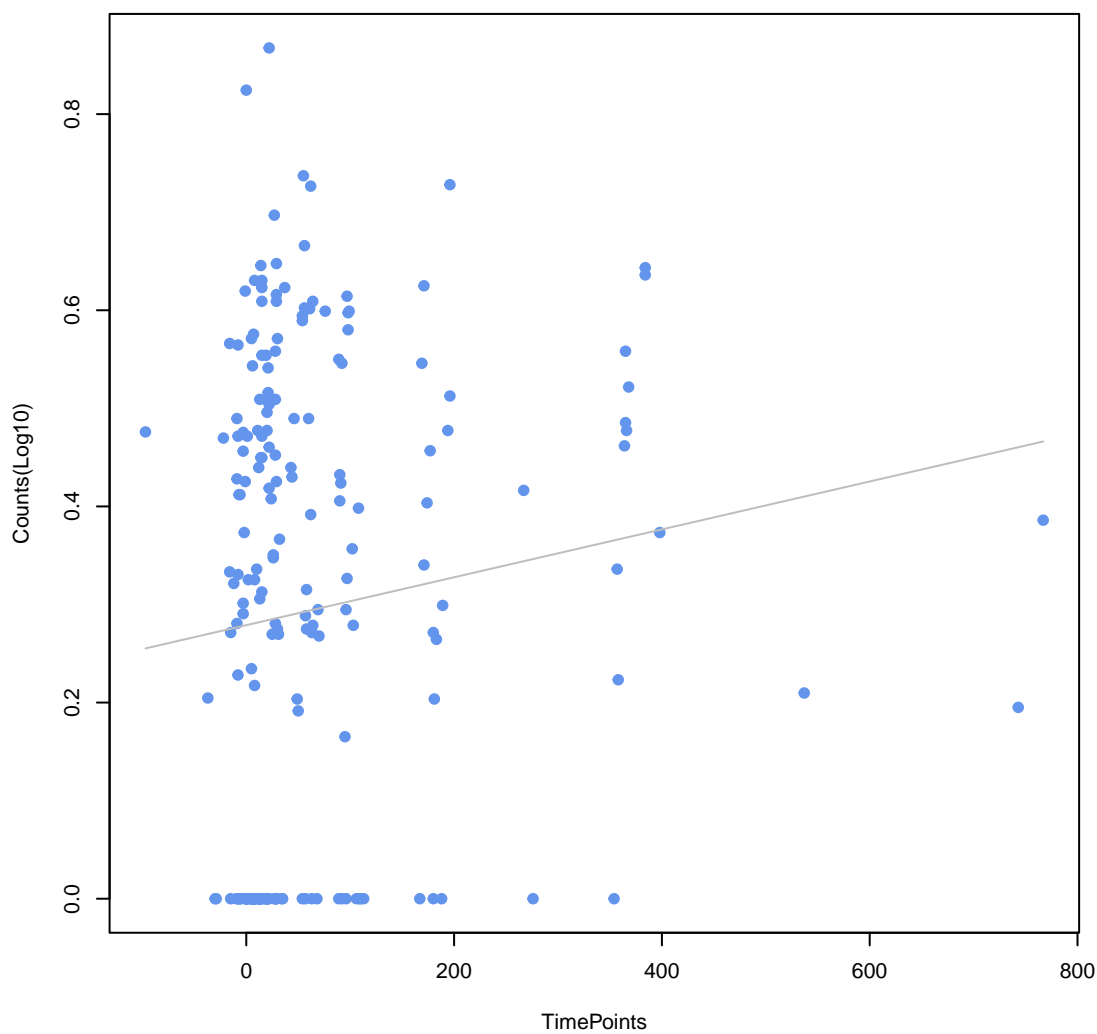
mdtH
ANOVA P=0.0817, adj. ANOVA-P=0.394



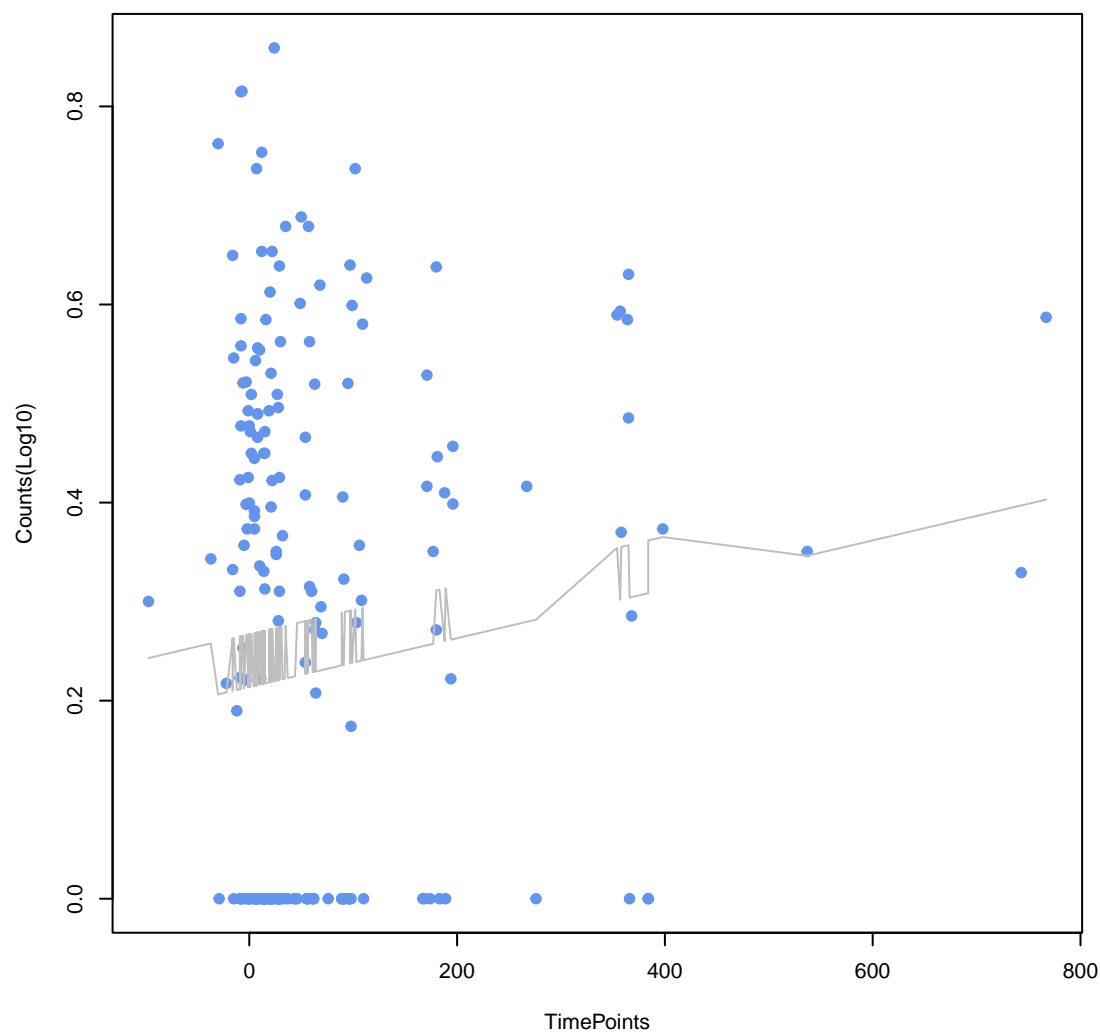
APH(6)-lc
ANOVA P=0.0833, adj. ANOVA-P=0.394



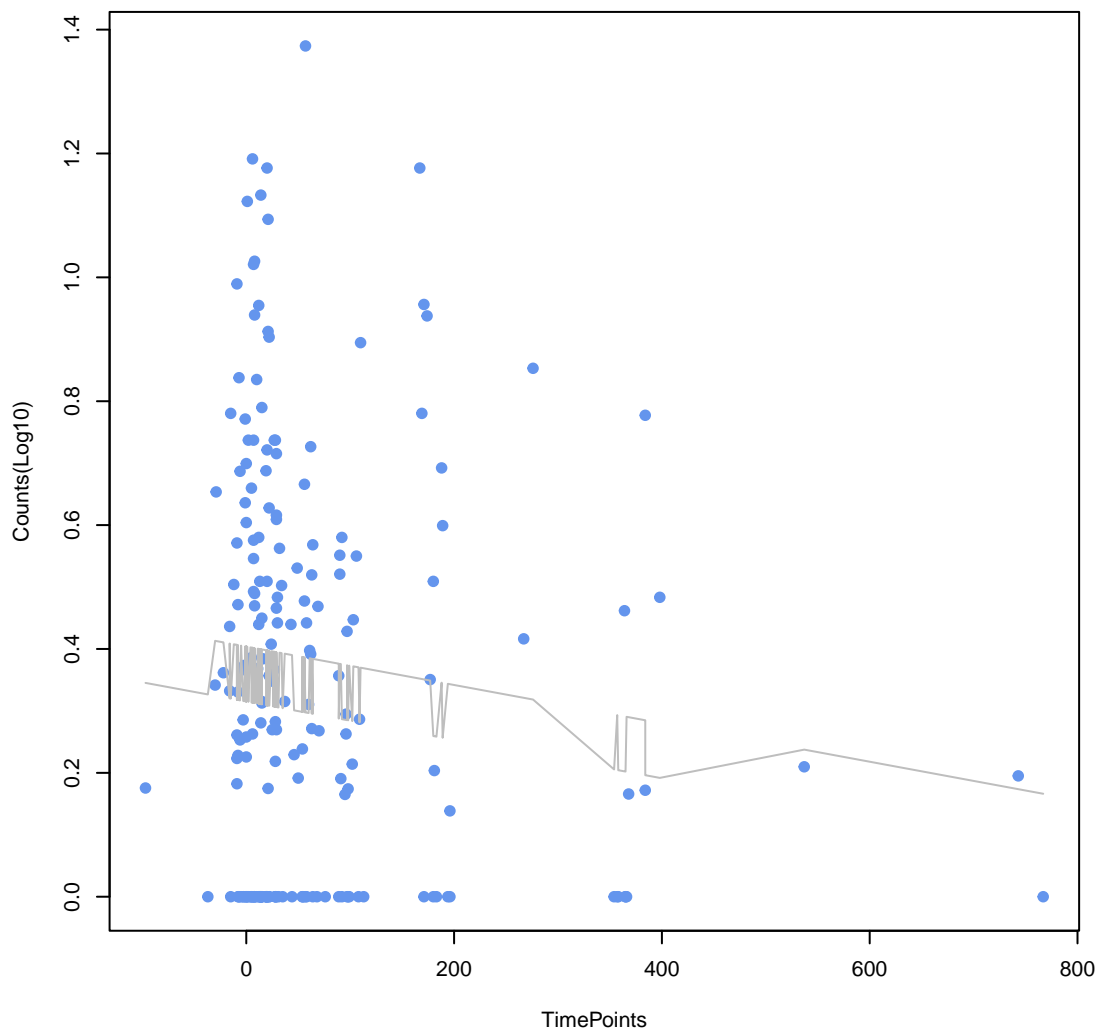
mdtB
ANOVA P=0.0848, adj. ANOVA-P=0.394



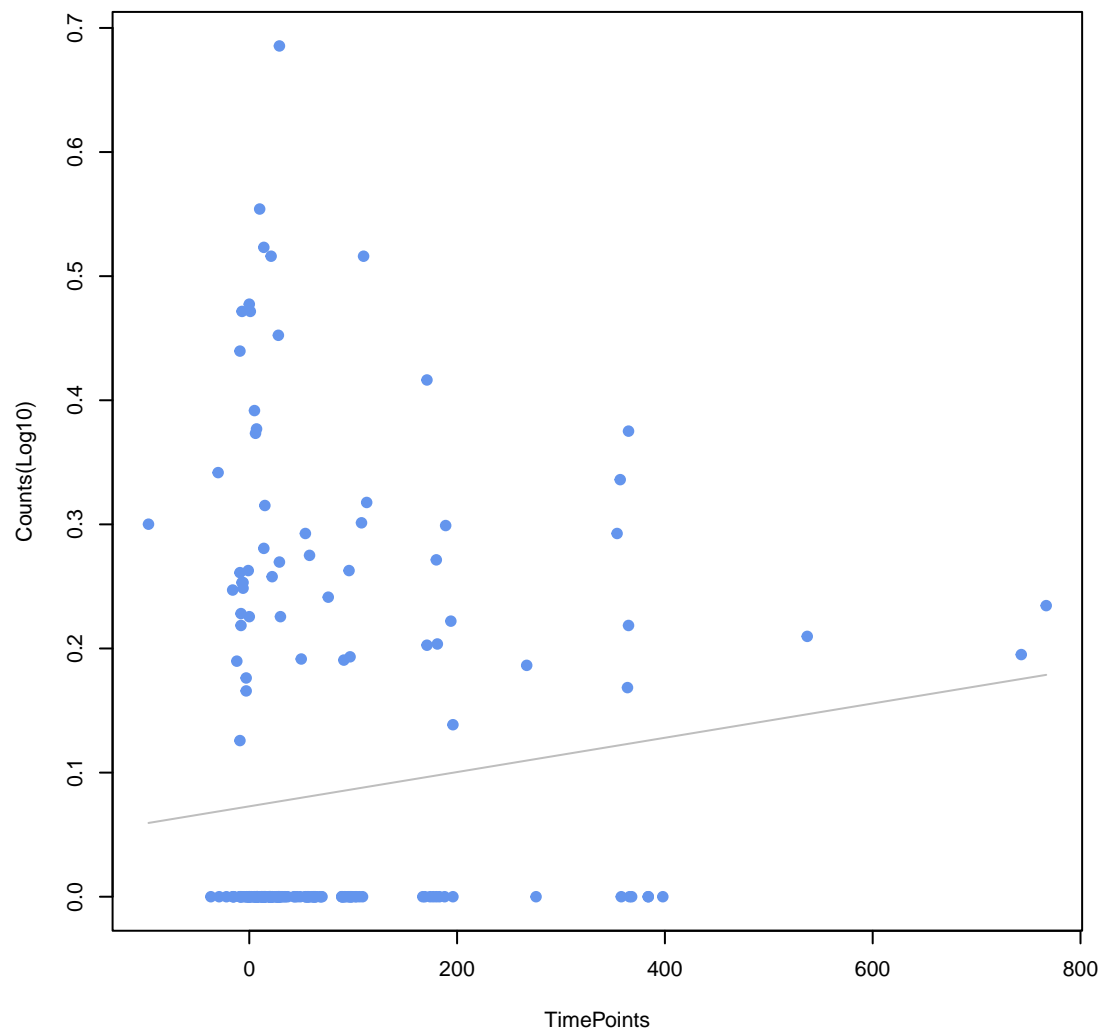
ANA-1
ANOVA P=0.0939, adj. ANOVA-P=0.419



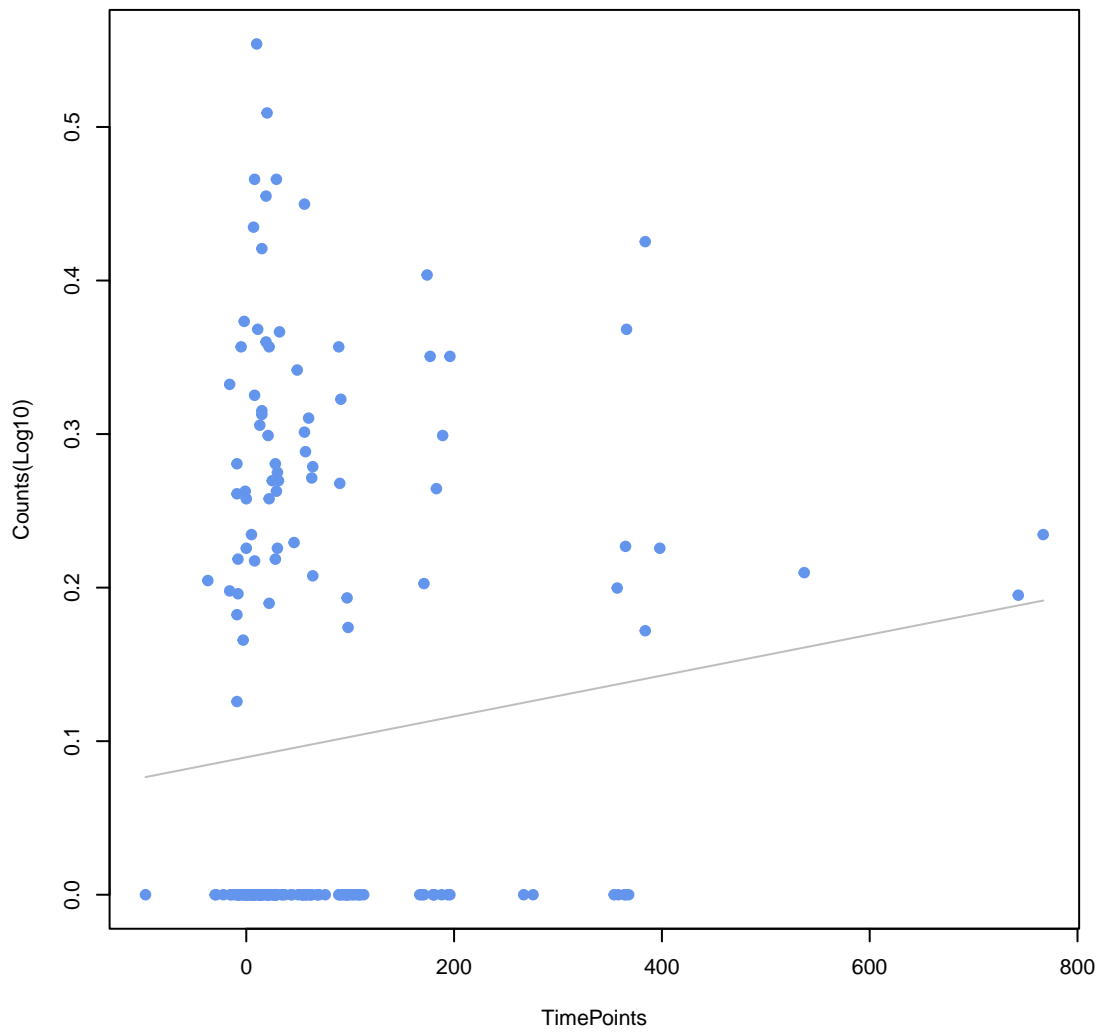
ImrD
ANOVA P=0.105, adj. ANOVA-P=0.438



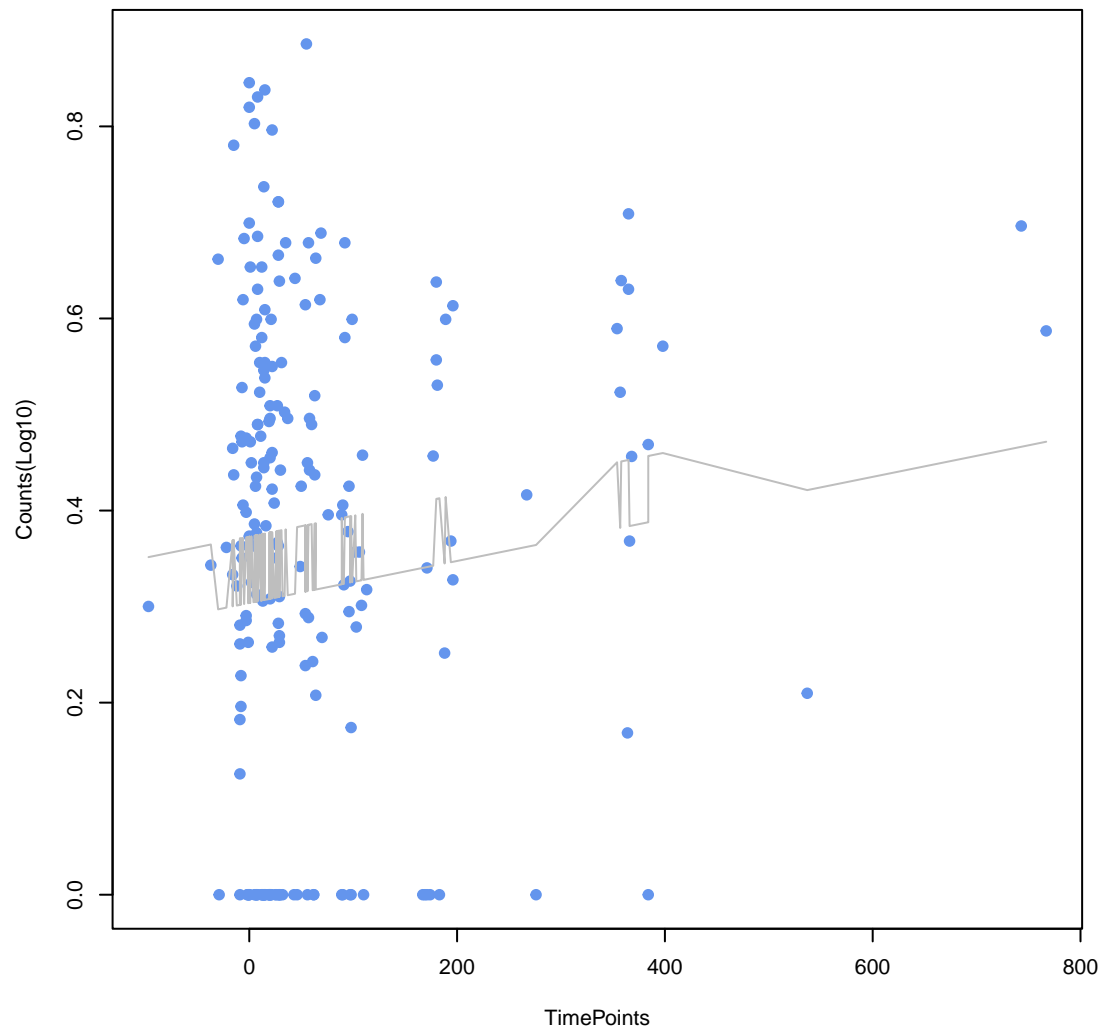
Streptomyces rimosus otr(A)
ANOVA P=0.106, adj. ANOVA-P=0.438



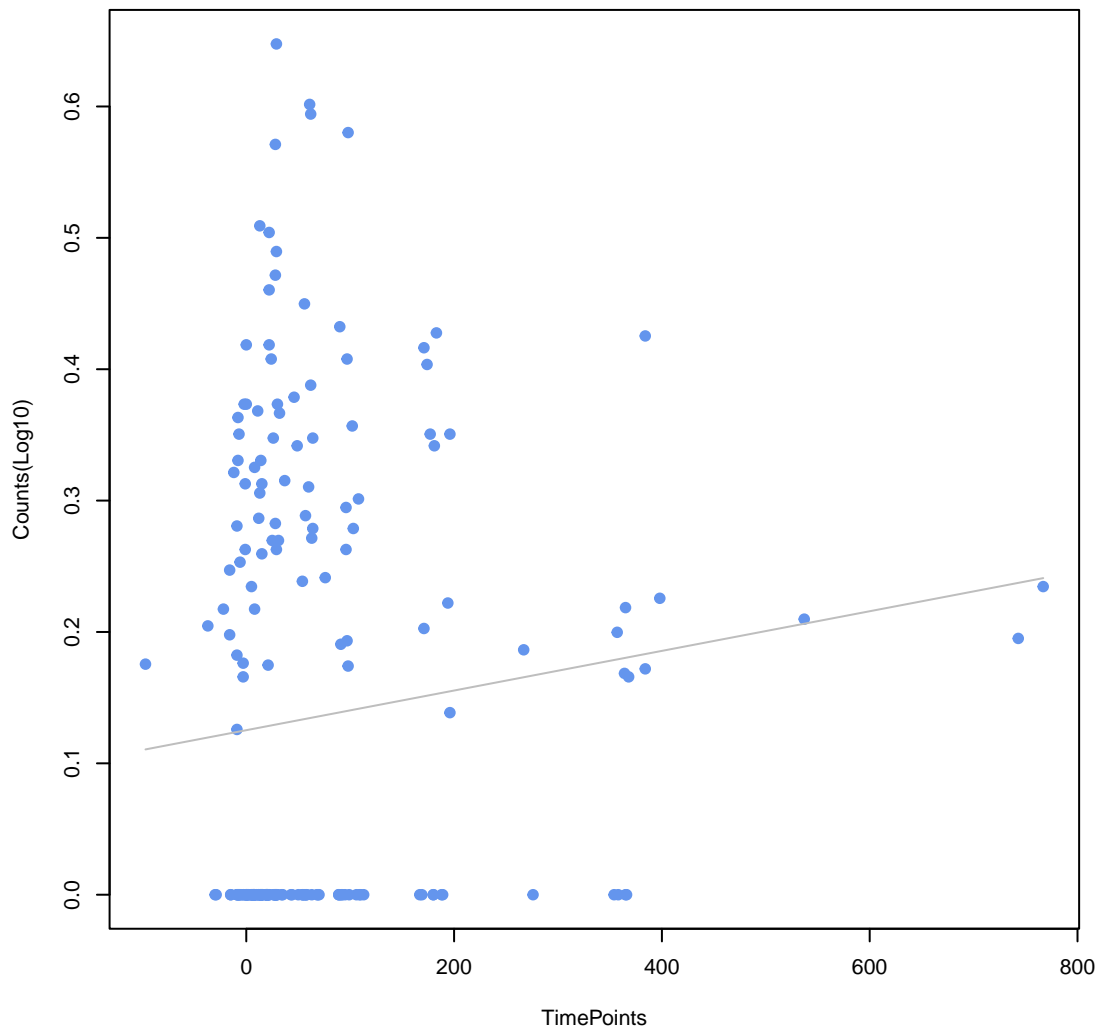
gadX
ANOVA P=0.122, adj. ANOVA-P=0.464



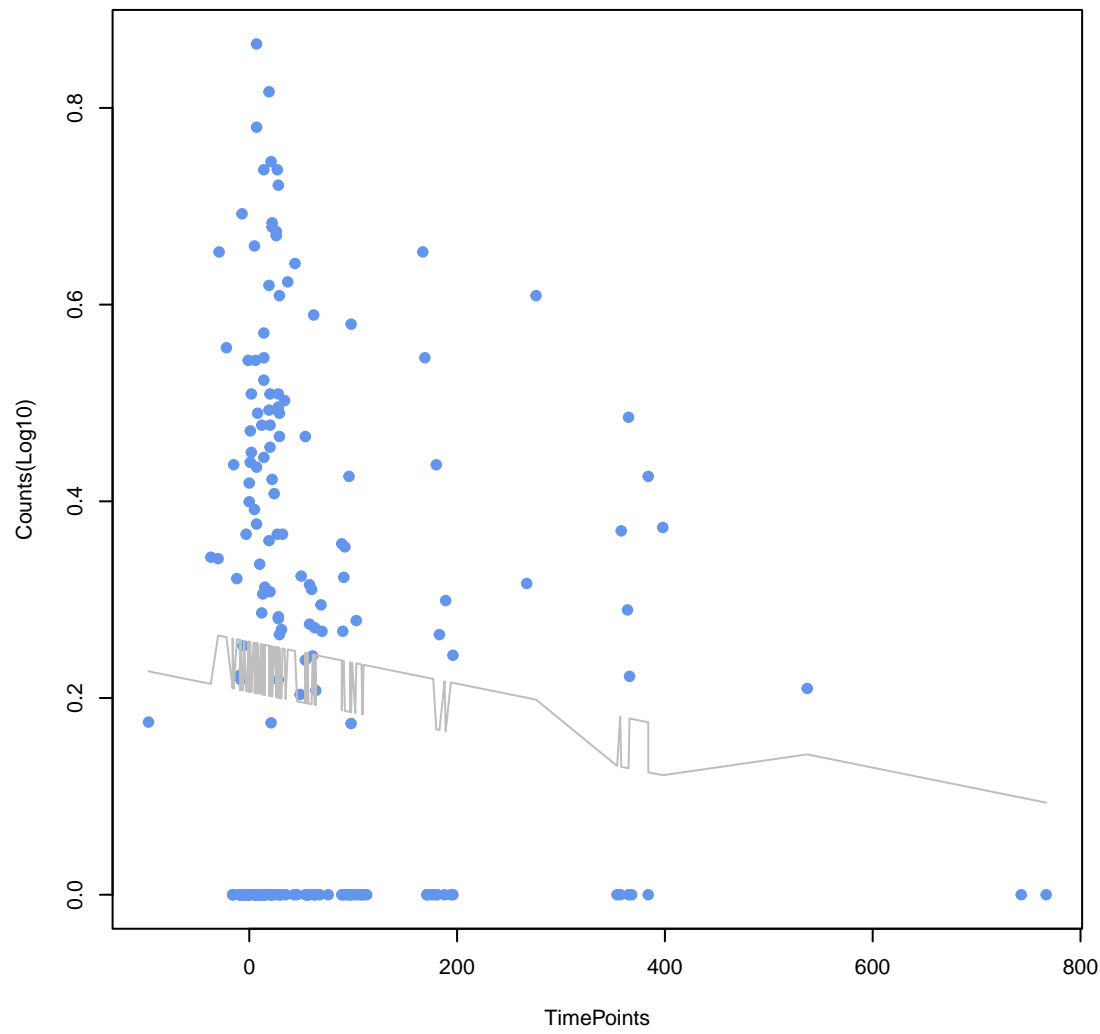
tet(32)
ANOVA P=0.126, adj. ANOVA-P=0.464

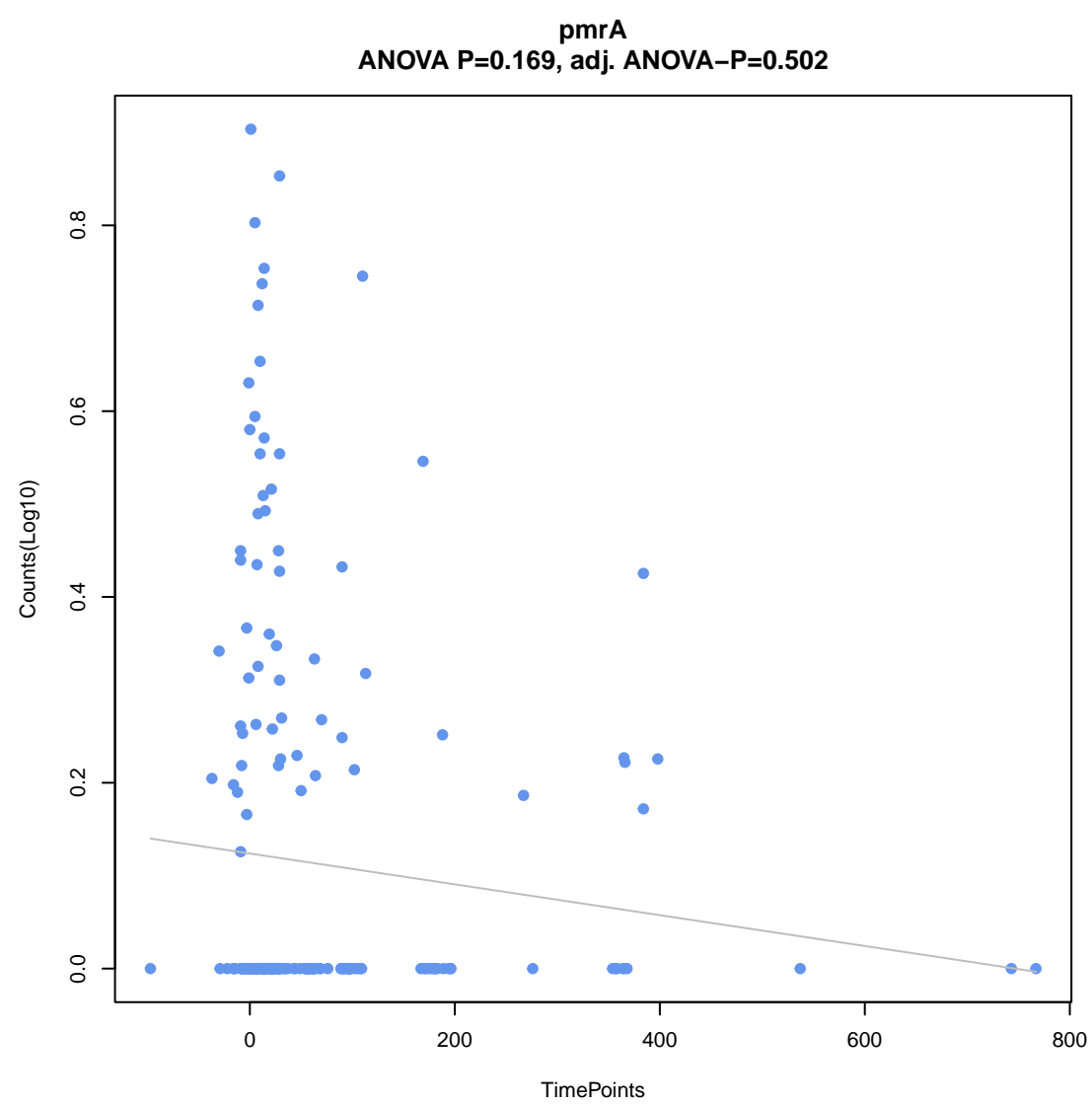
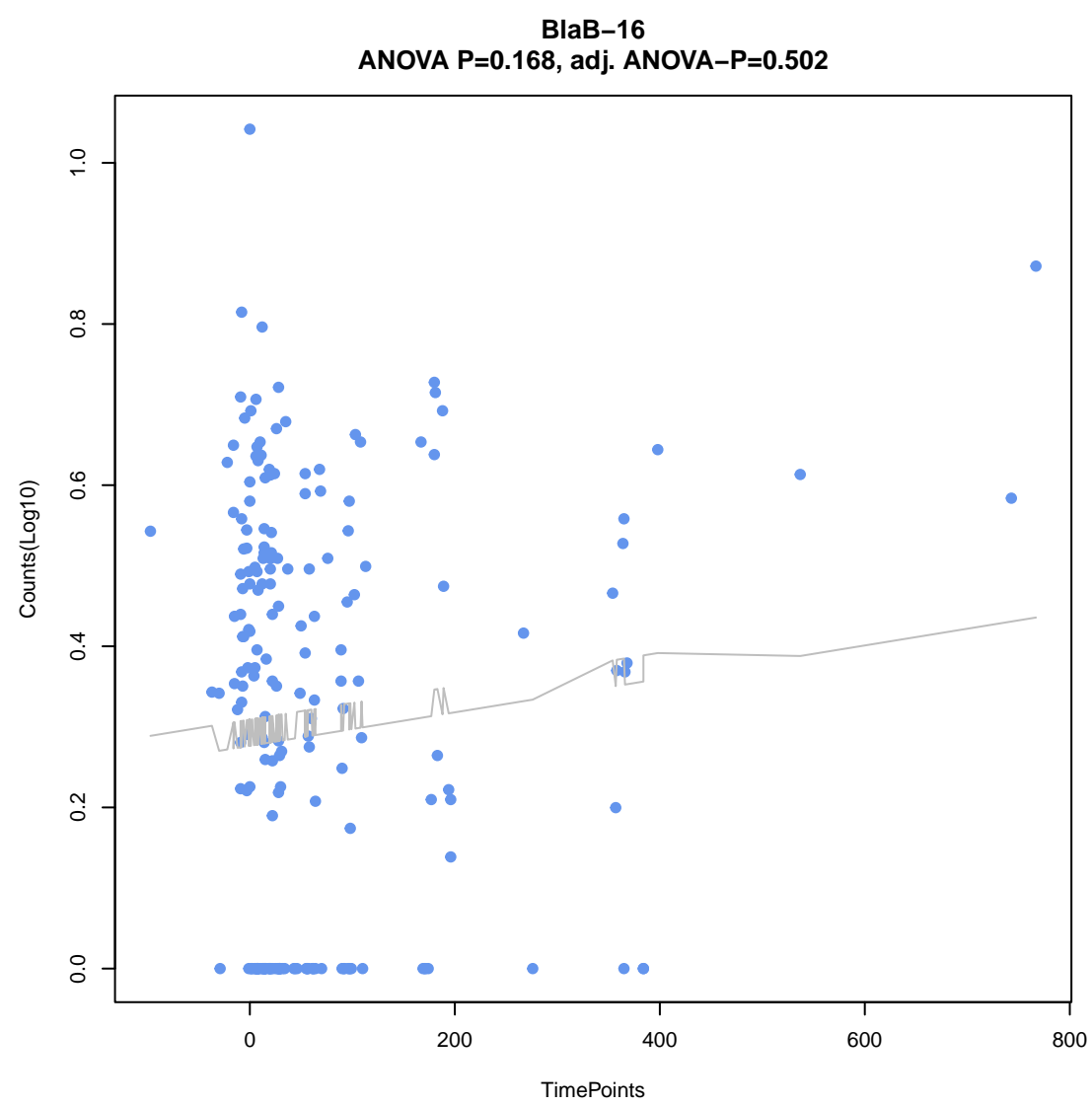
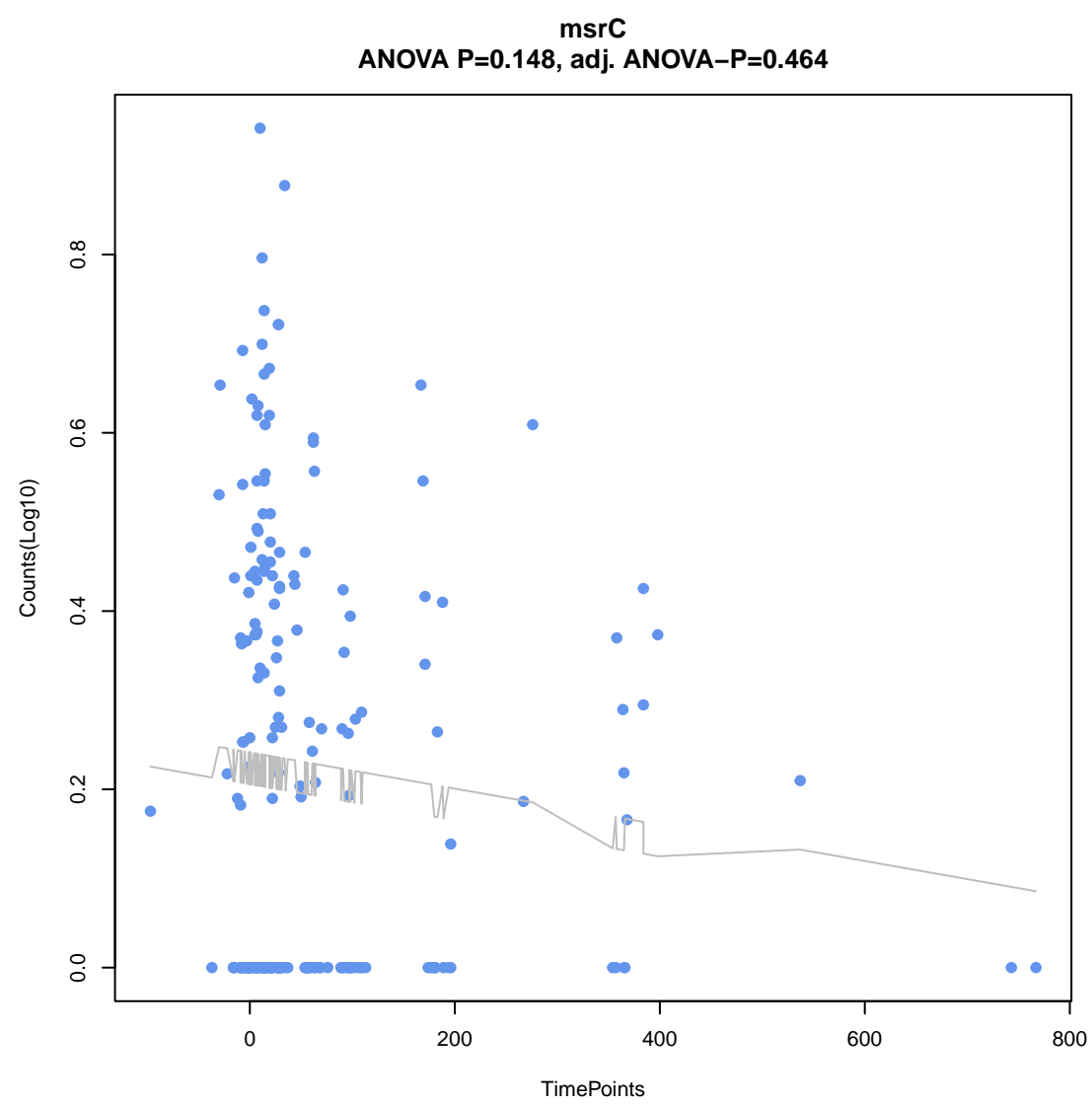
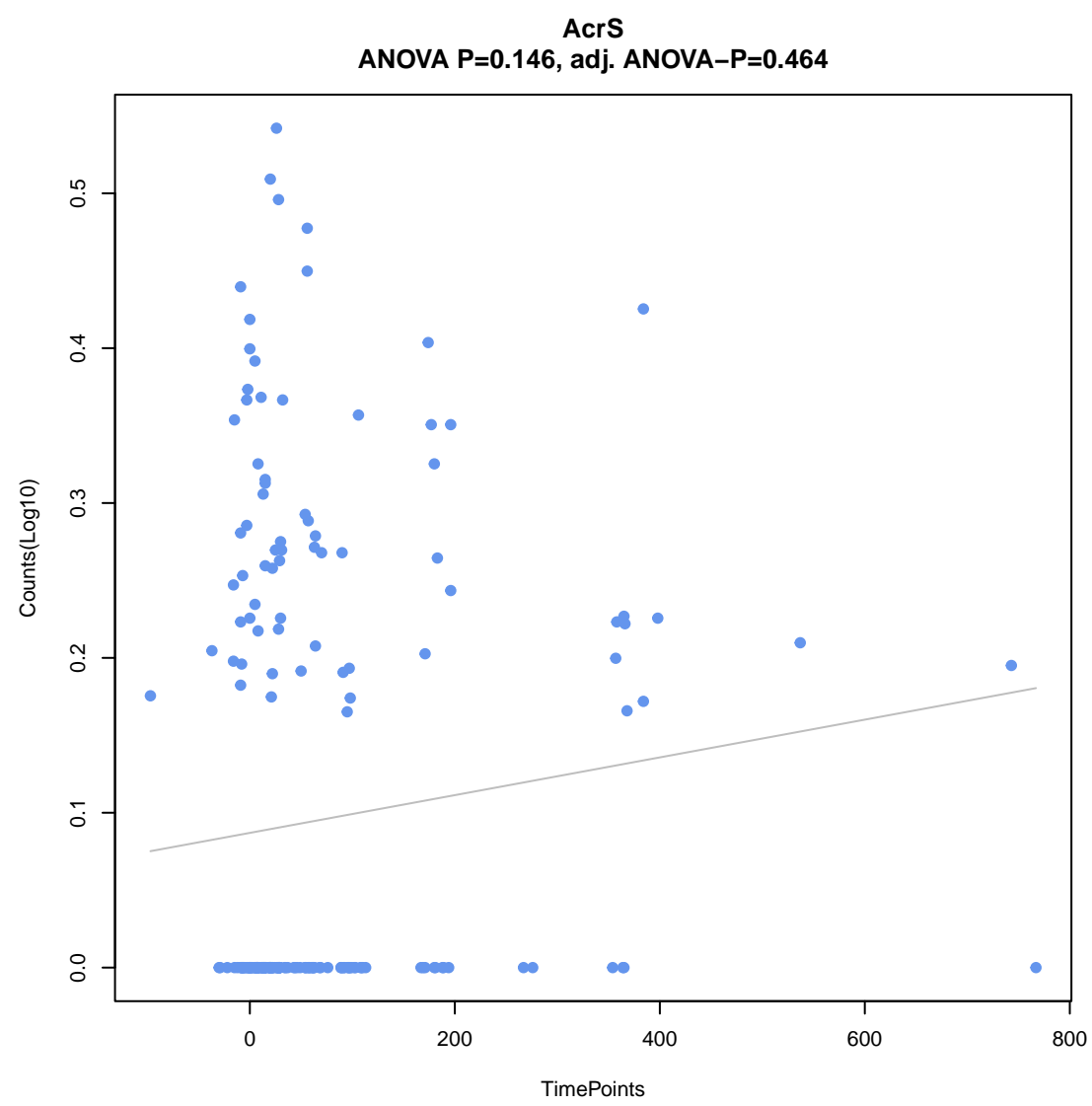
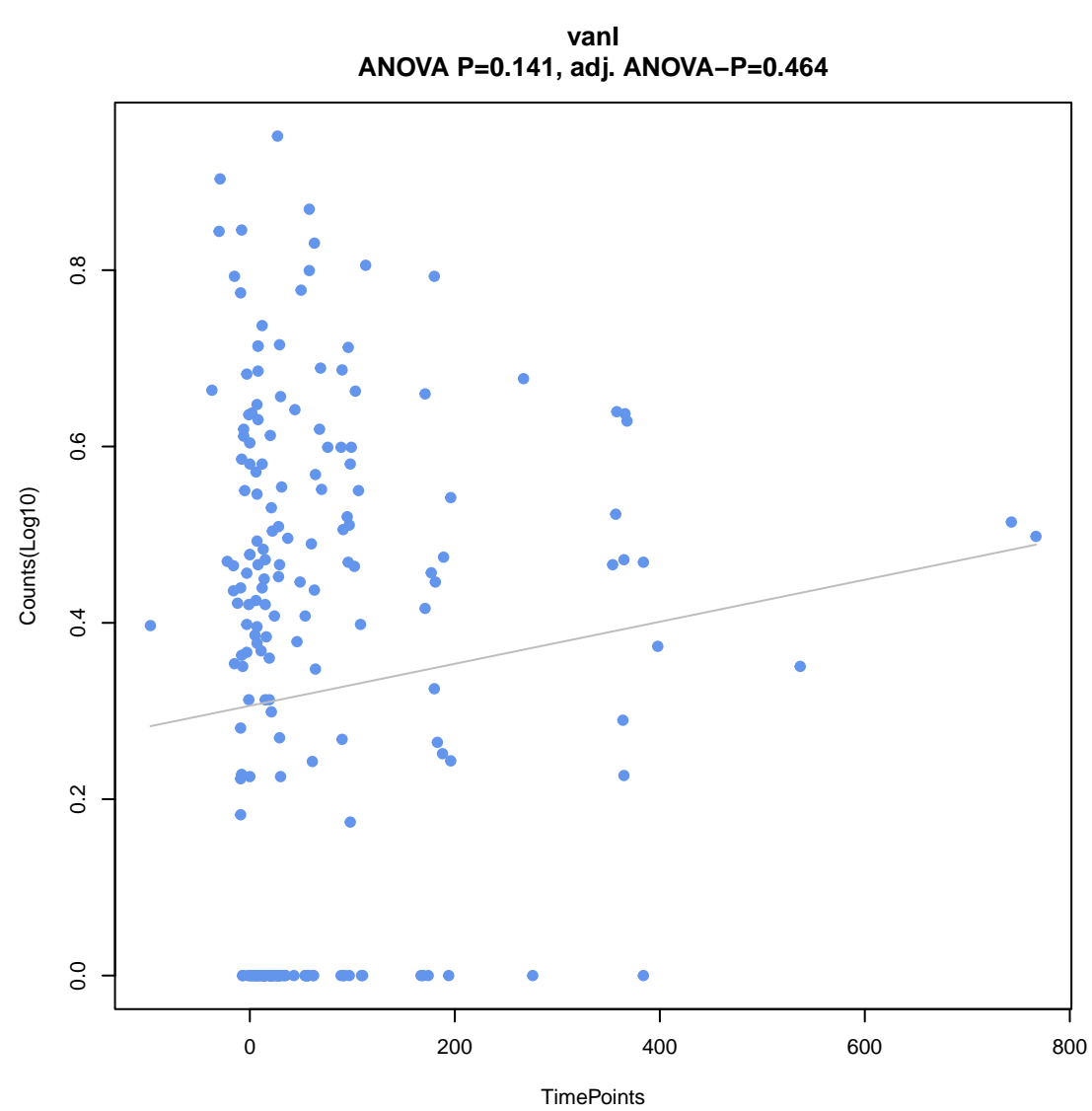
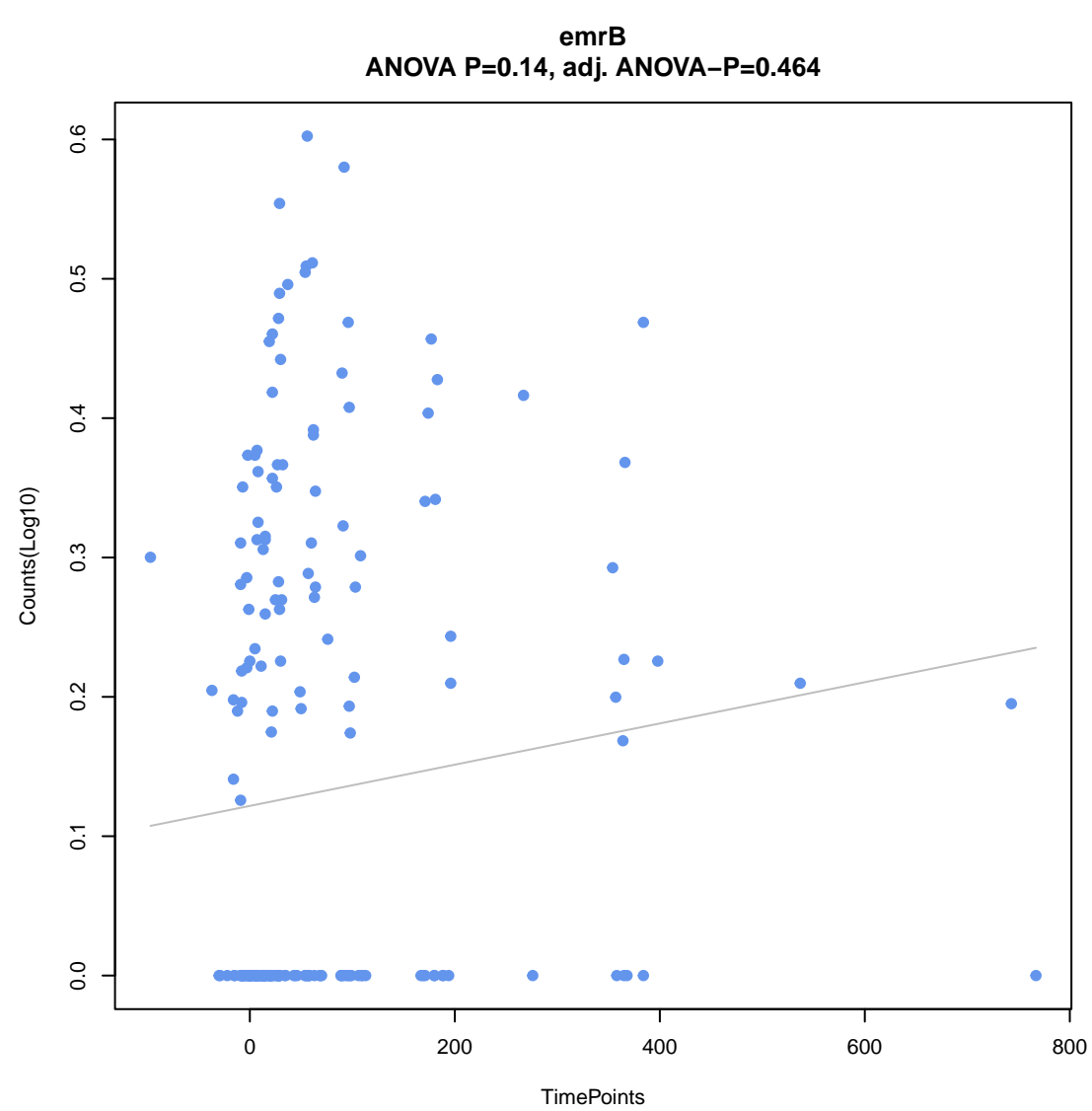


emrR
ANOVA P=0.133, adj. ANOVA-P=0.464

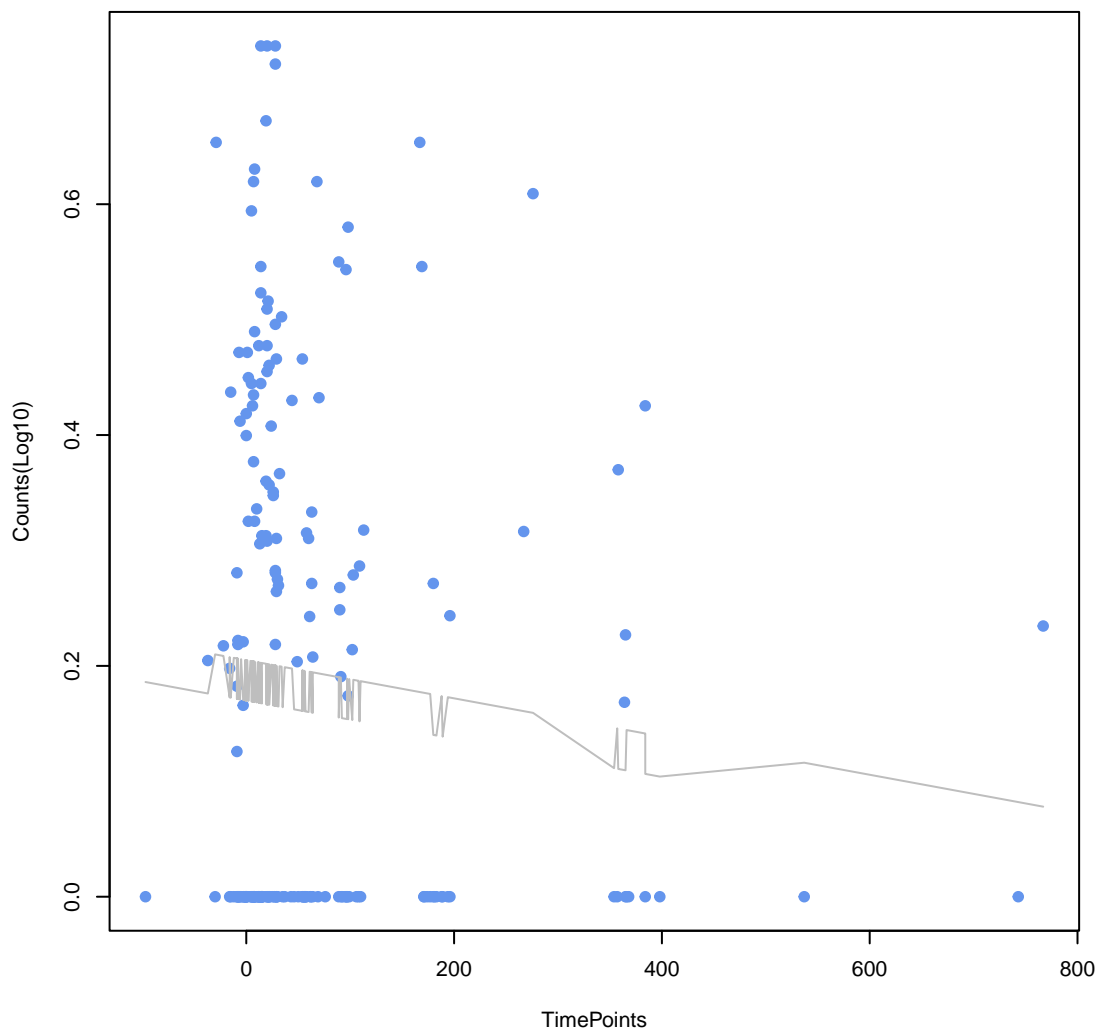


vanS gene in vanA cluster
ANOVA P=0.135, adj. ANOVA-P=0.464

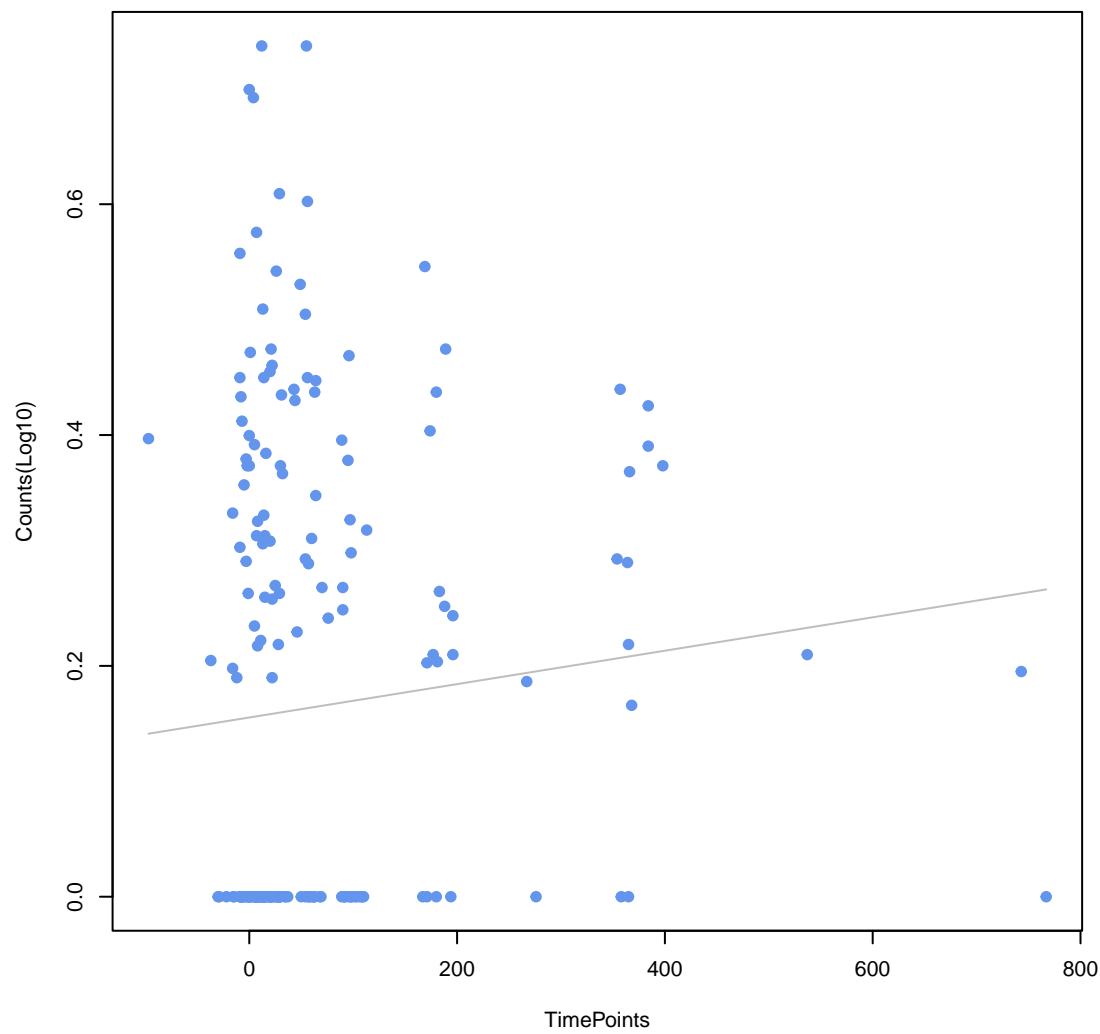




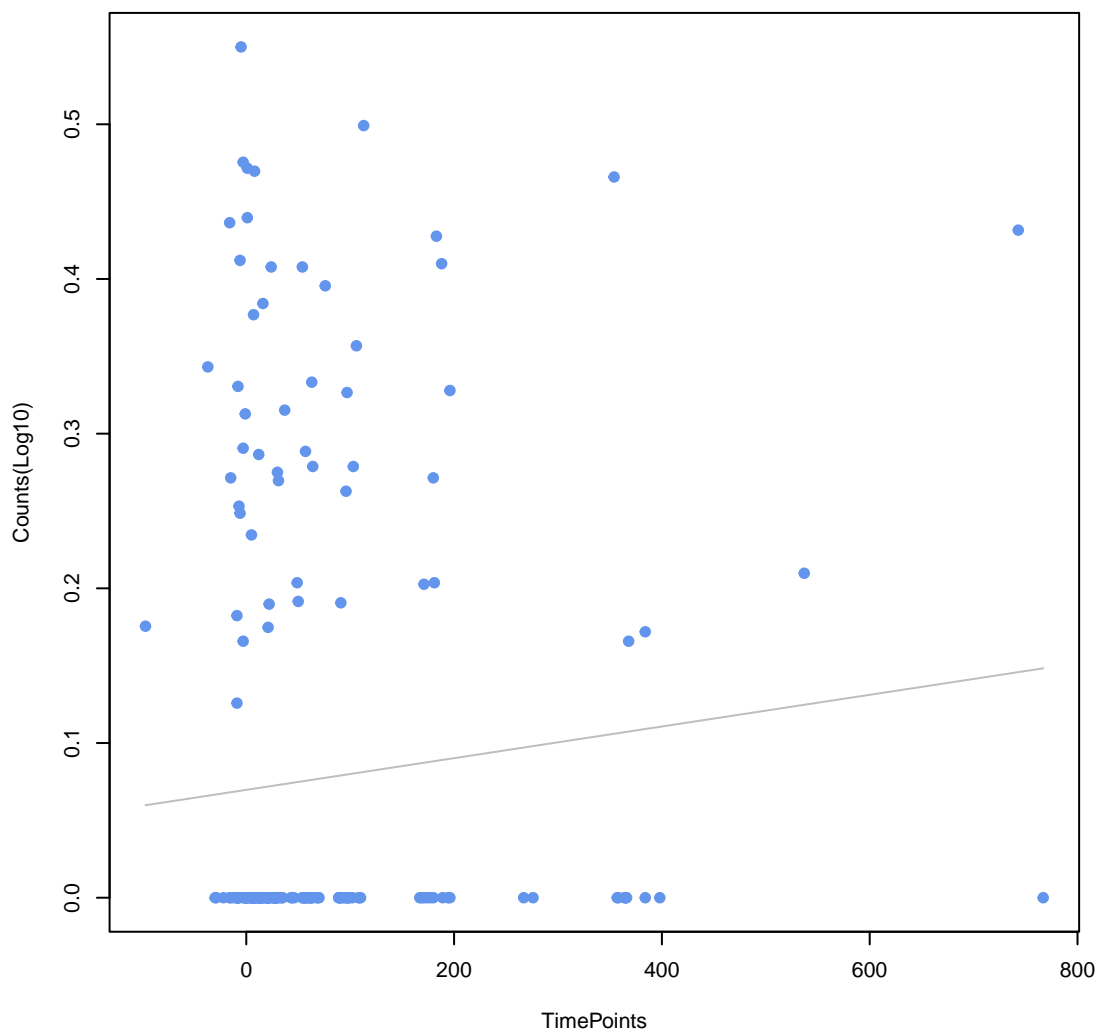
vanX gene in vanA cluster
ANOVA P=0.192, adj. ANOVA-P=0.556



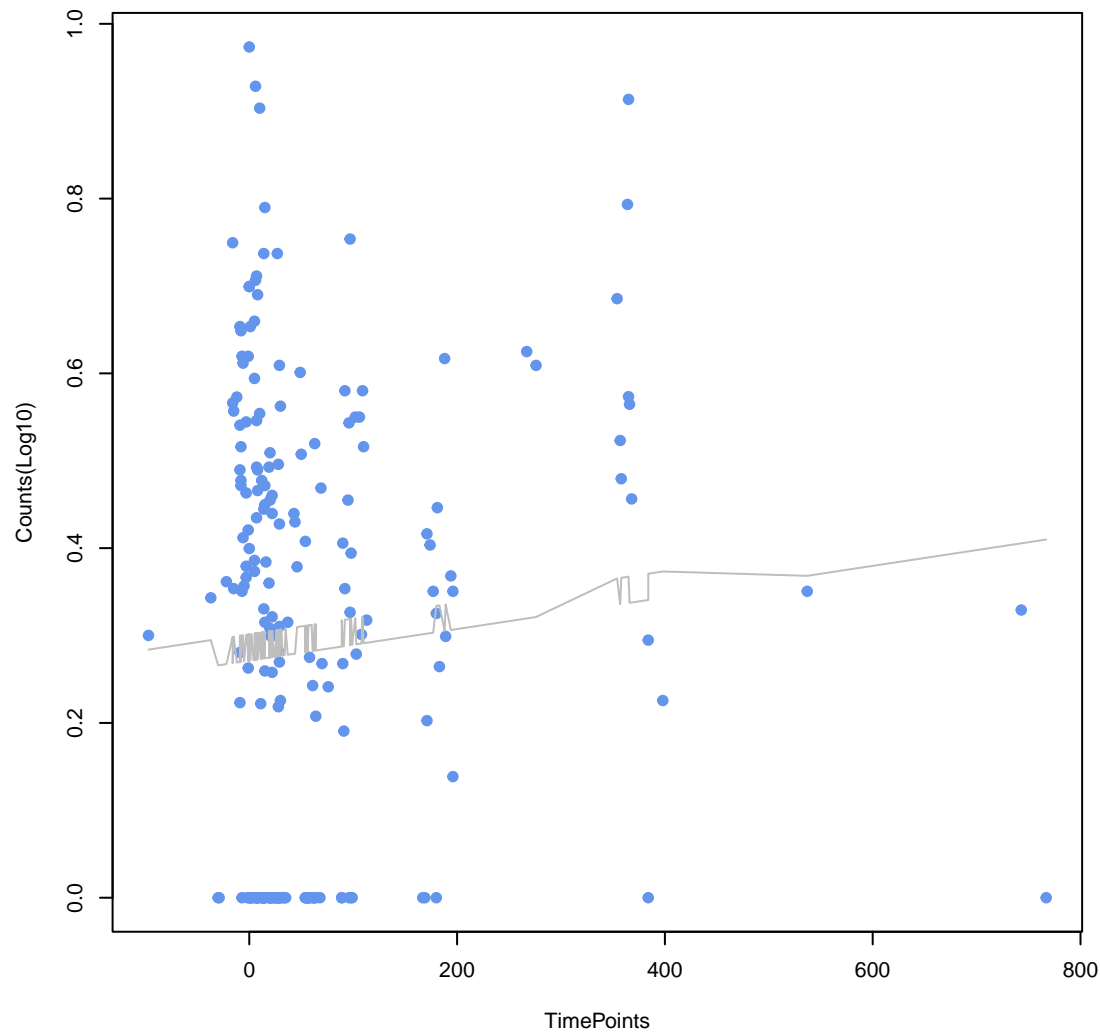
baeS
ANOVA P=0.217, adj. ANOVA-P=0.585



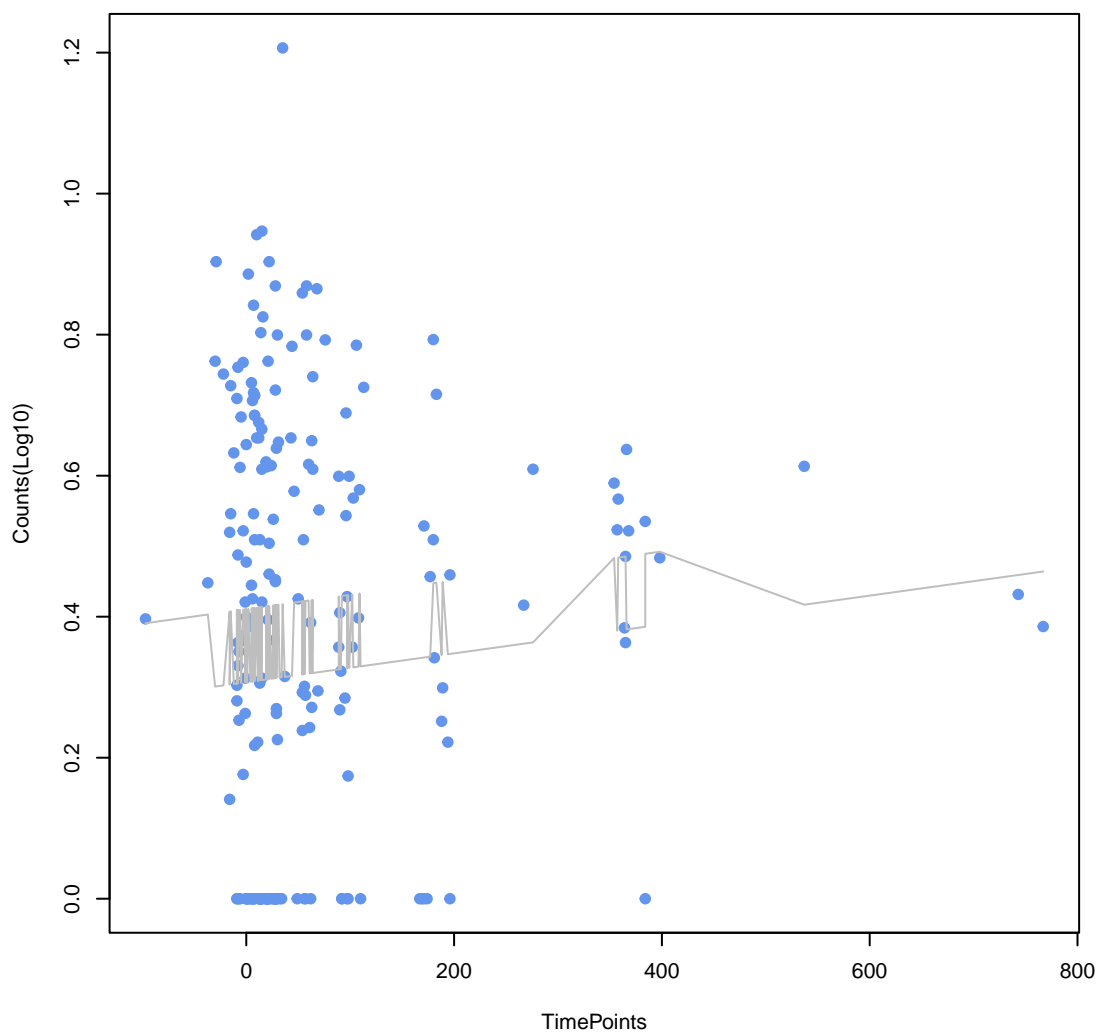
SHV-43
ANOVA P=0.222, adj. ANOVA-P=0.585



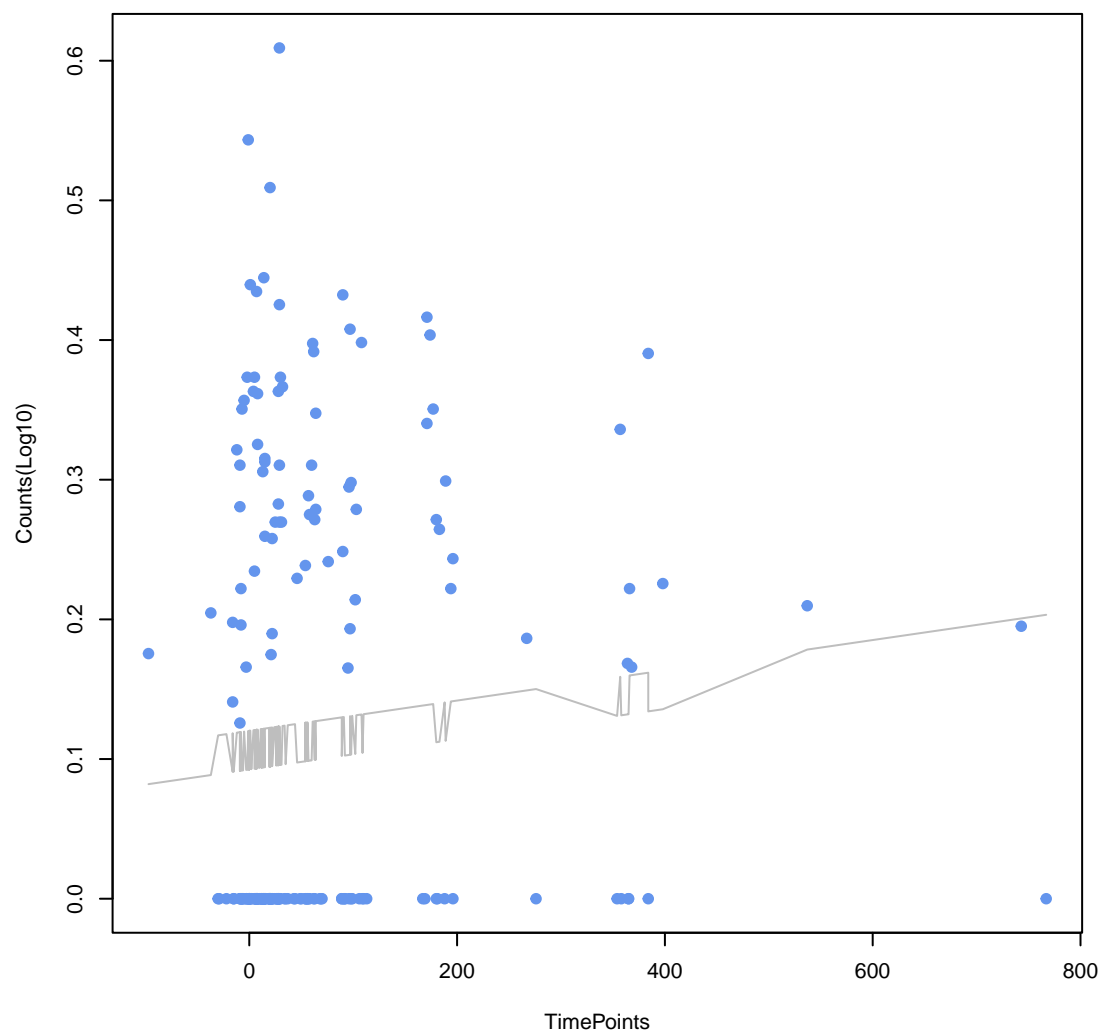
BlaB-38
ANOVA P=0.231, adj. ANOVA-P=0.585



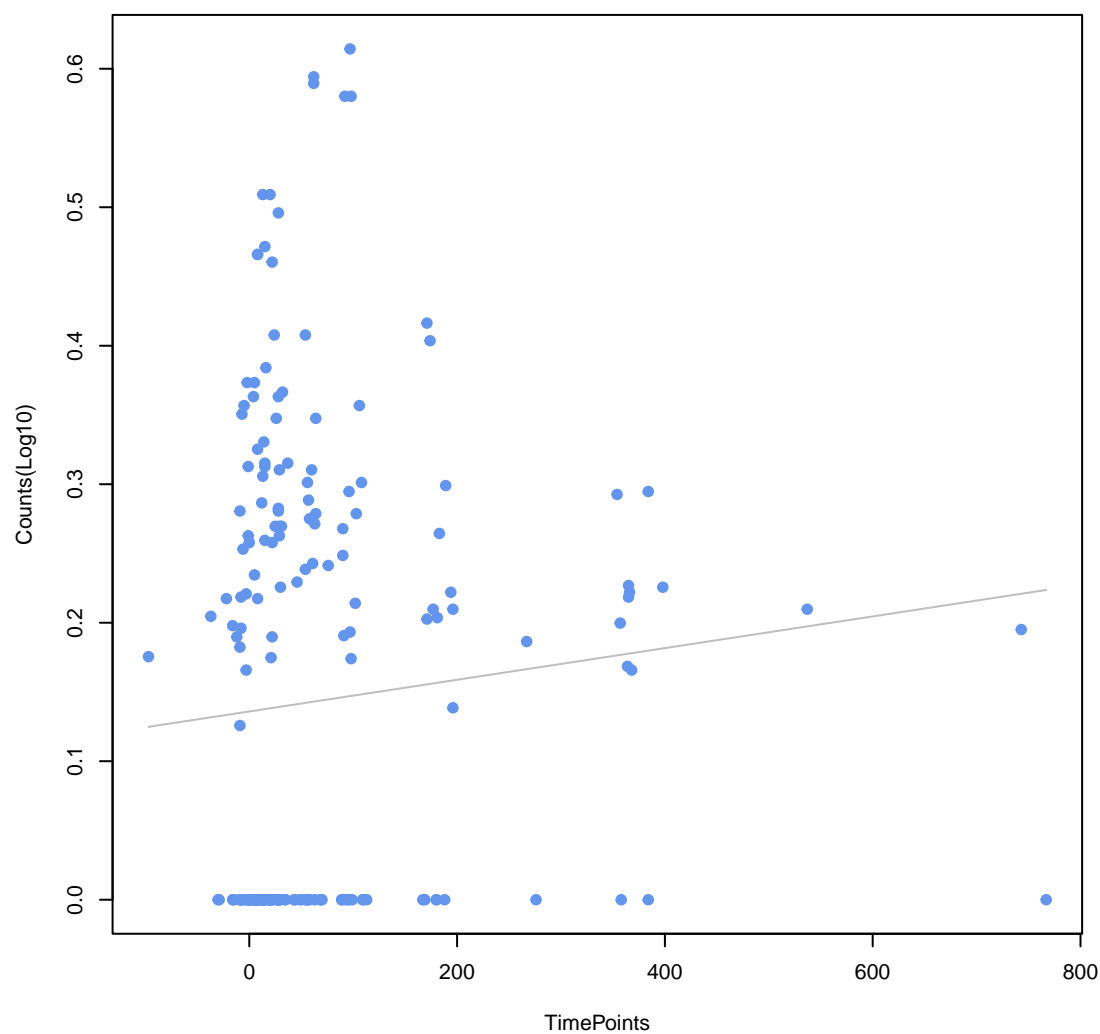
poxA
ANOVA P=0.233, adj. ANOVA-P=0.585



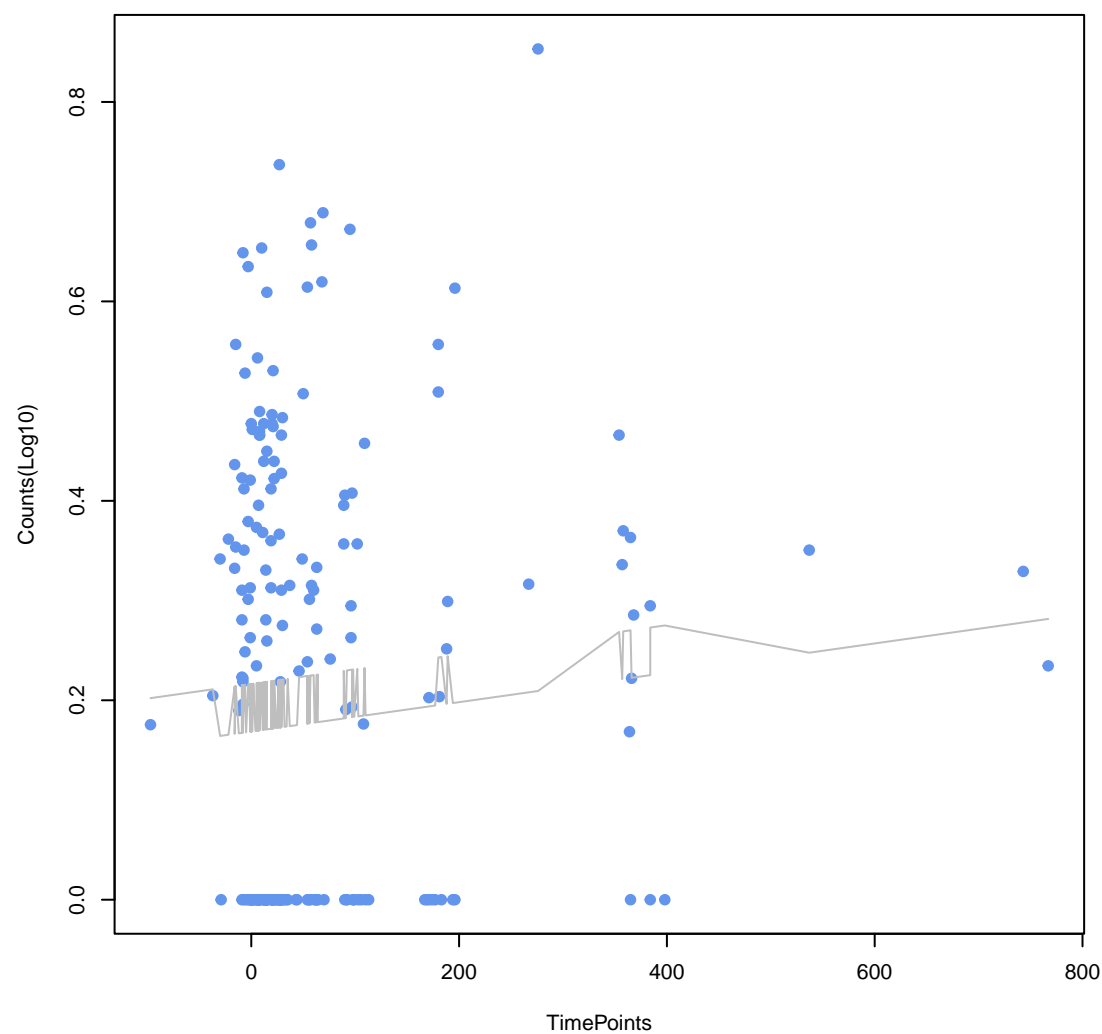
Escherichia coli soxS with mutation conferring antibiotic resistance
ANOVA P=0.234, adj. ANOVA-P=0.585



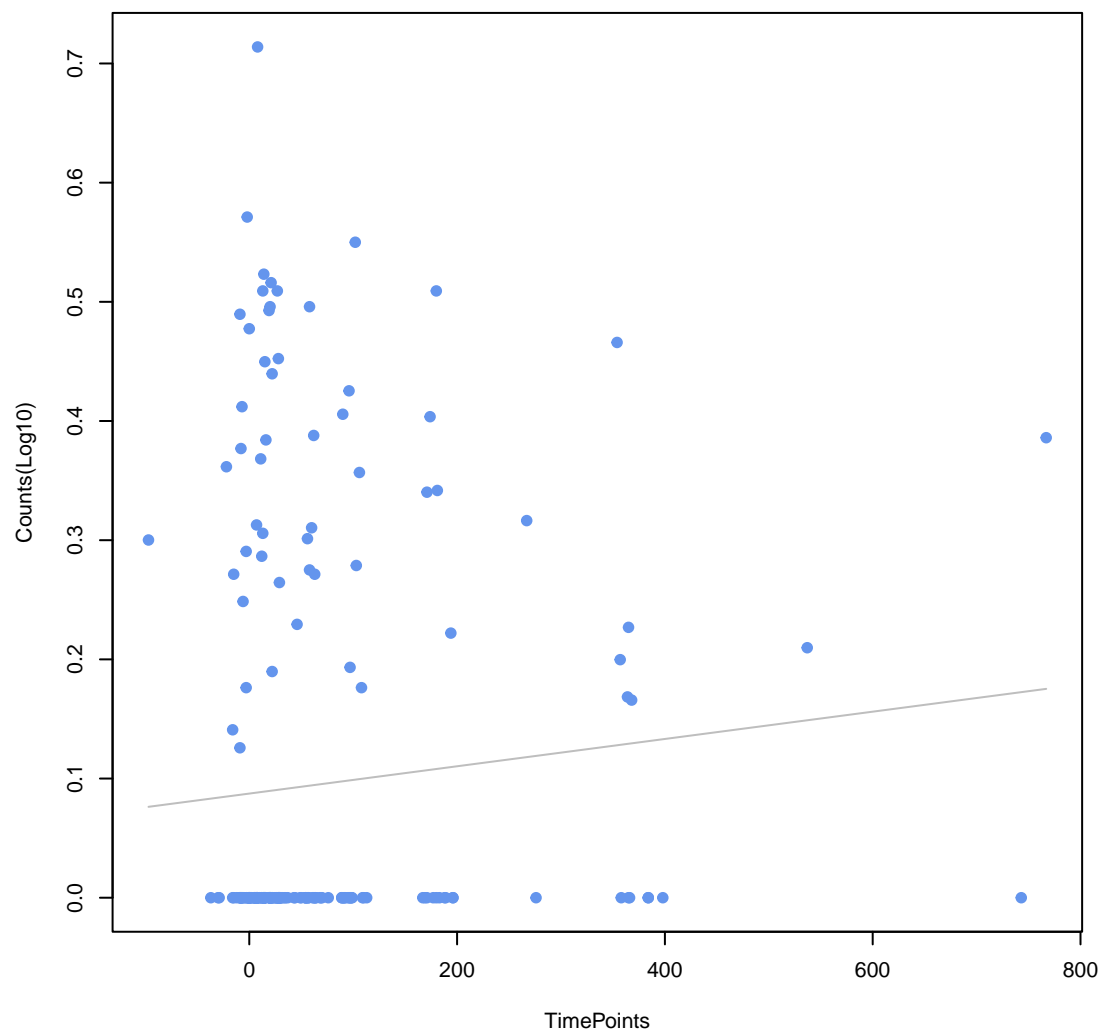
Escherichia coli EF-Tu mutants conferring resistance to Pulvomycin
ANOVA P=0.235, adj. ANOVA-P=0.585



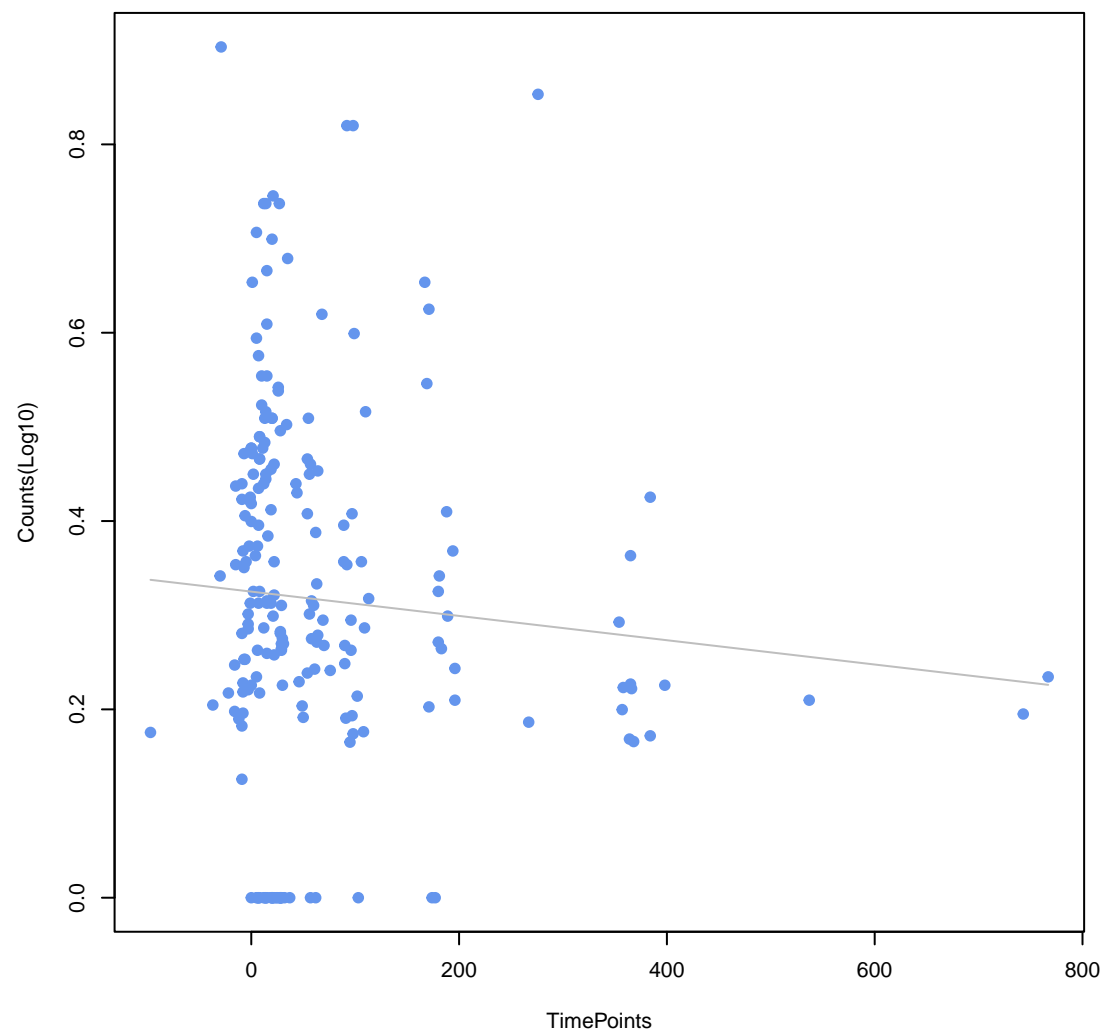
chrB
ANOVA P=0.247, adj. ANOVA-P=0.589



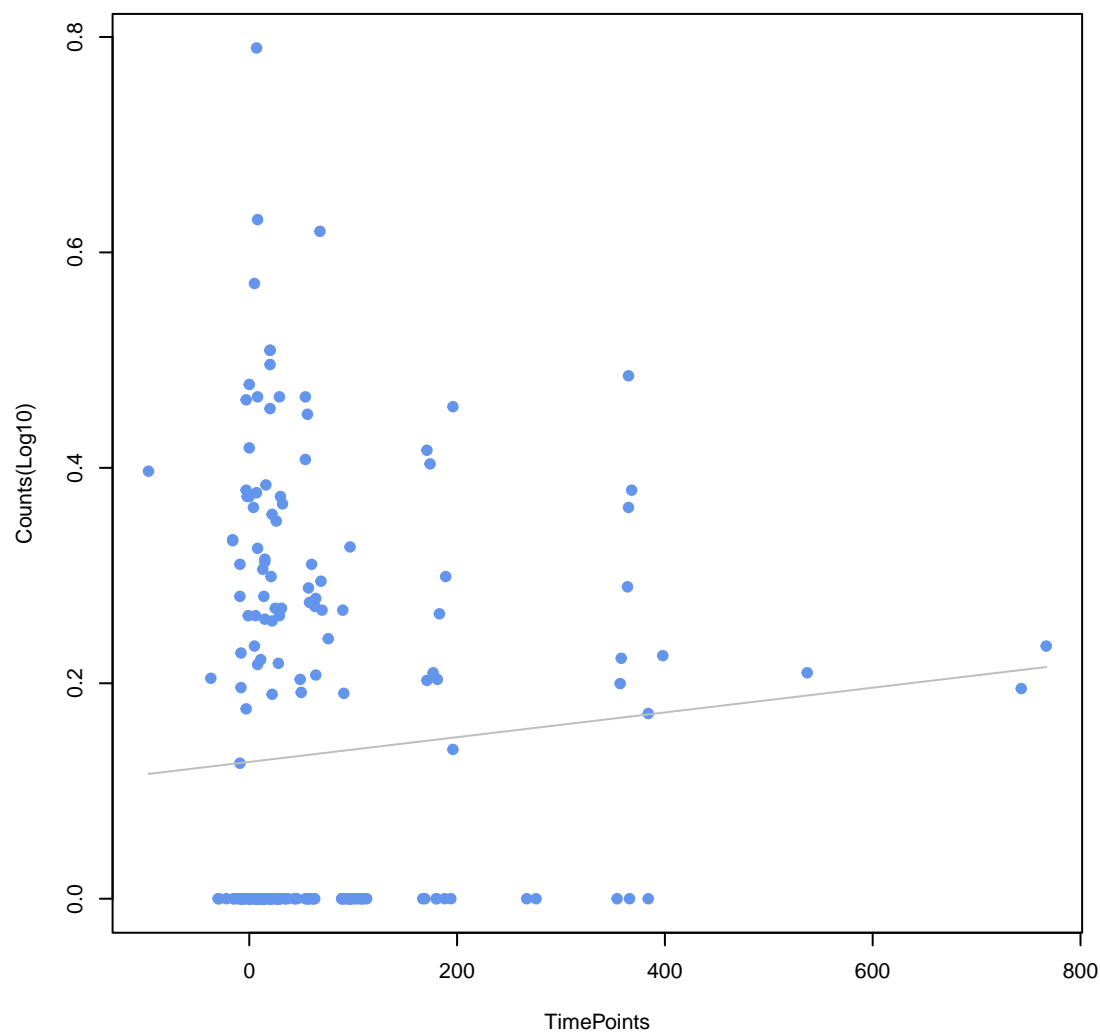
tet(W/N/W)
ANOVA P=0.248, adj. ANOVA-P=0.589



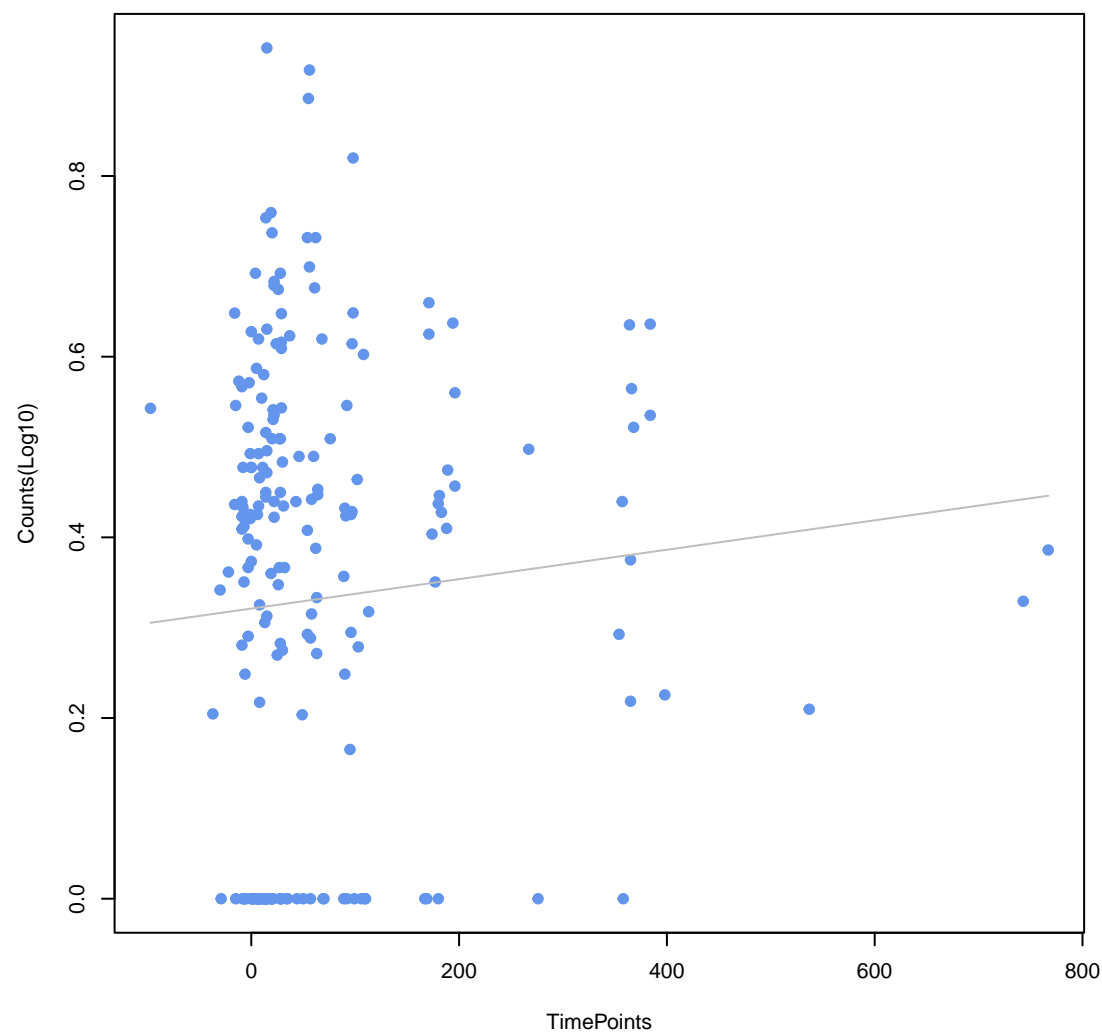
tet(40)
ANOVA P=0.262, adj. ANOVA-P=0.601



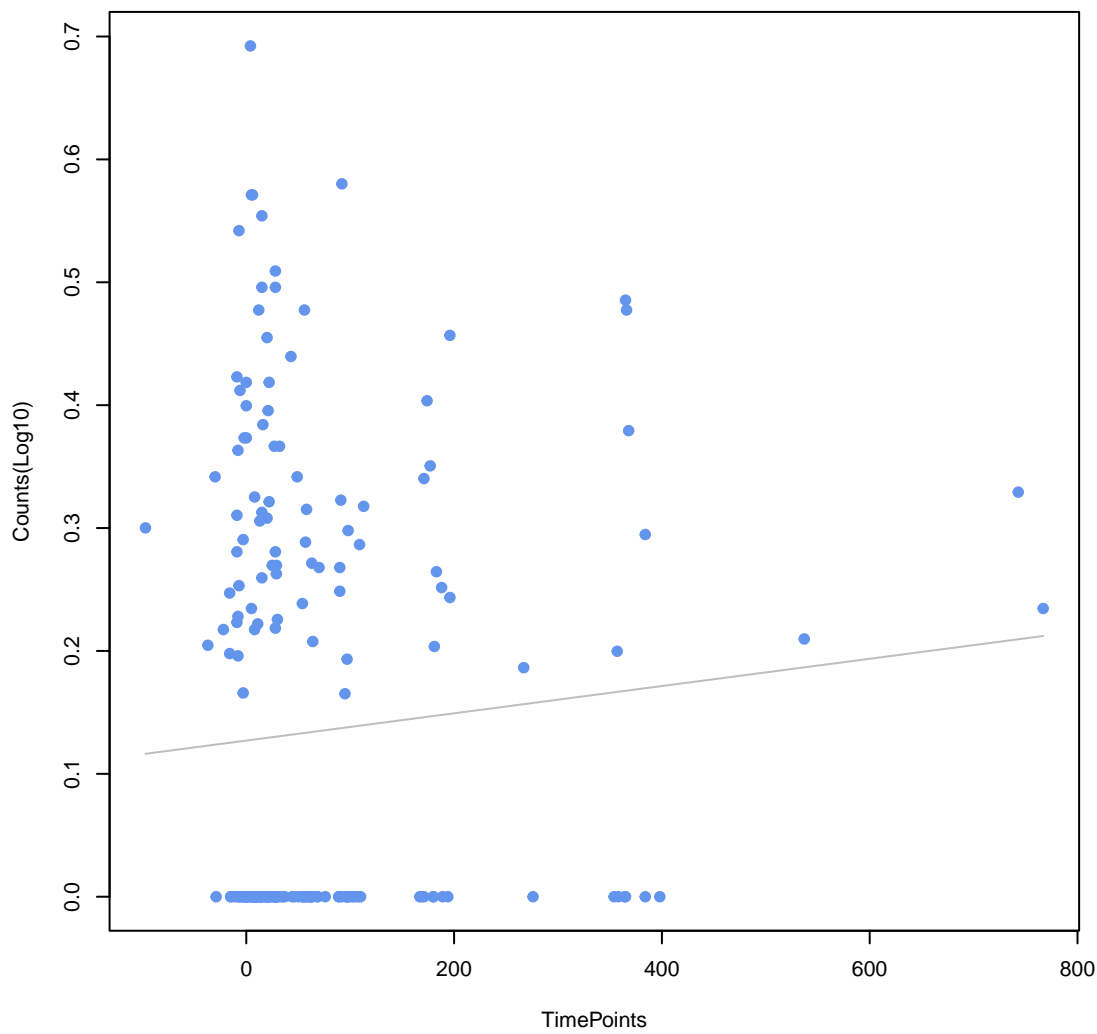
mdtN
ANOVA P=0.266, adj. ANOVA-P=0.601



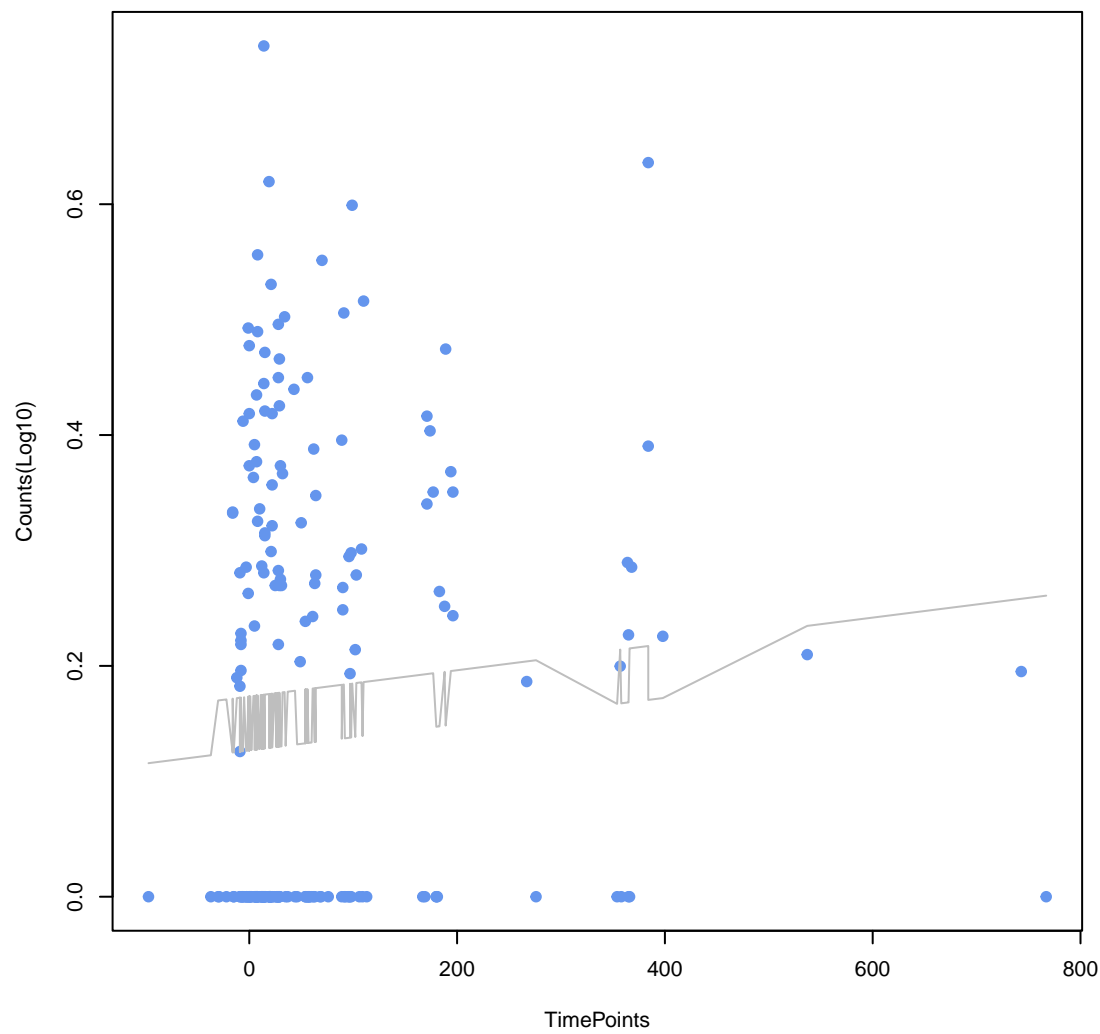
acrD
ANOVA P=0.27, adj. ANOVA-P=0.601



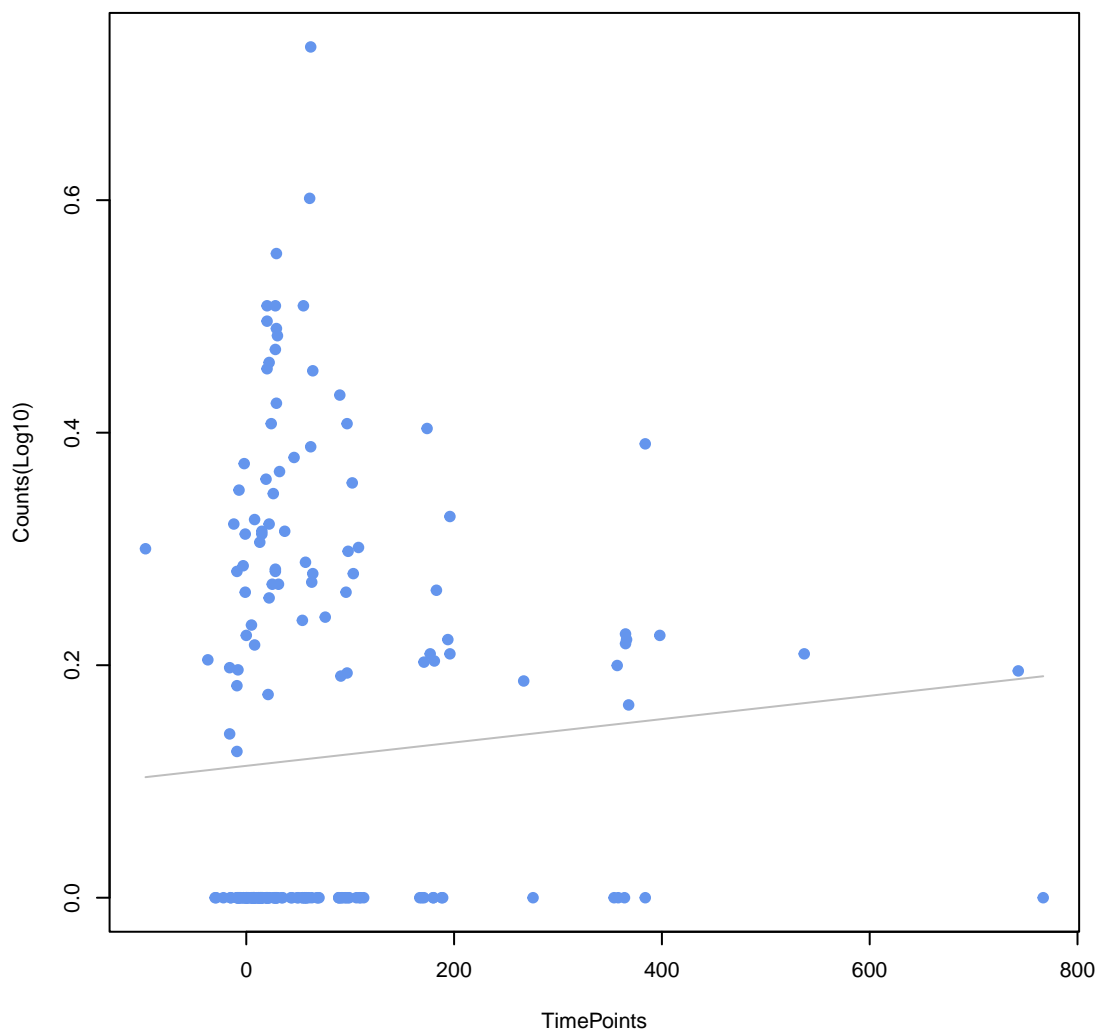
eptA
ANOVA P=0.283, adj. ANOVA-P=0.619



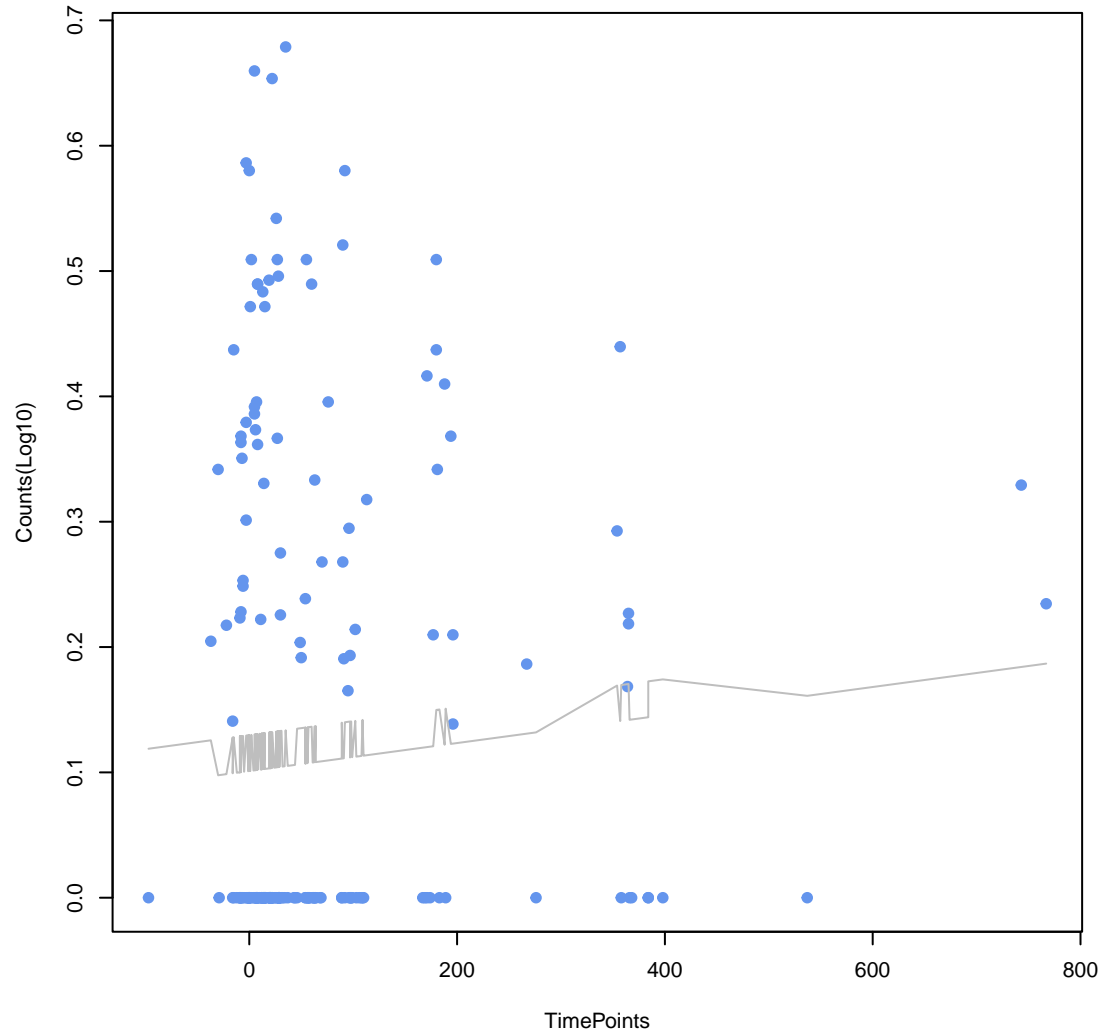
mdtM
ANOVA P=0.3, adj. ANOVA-P=0.632



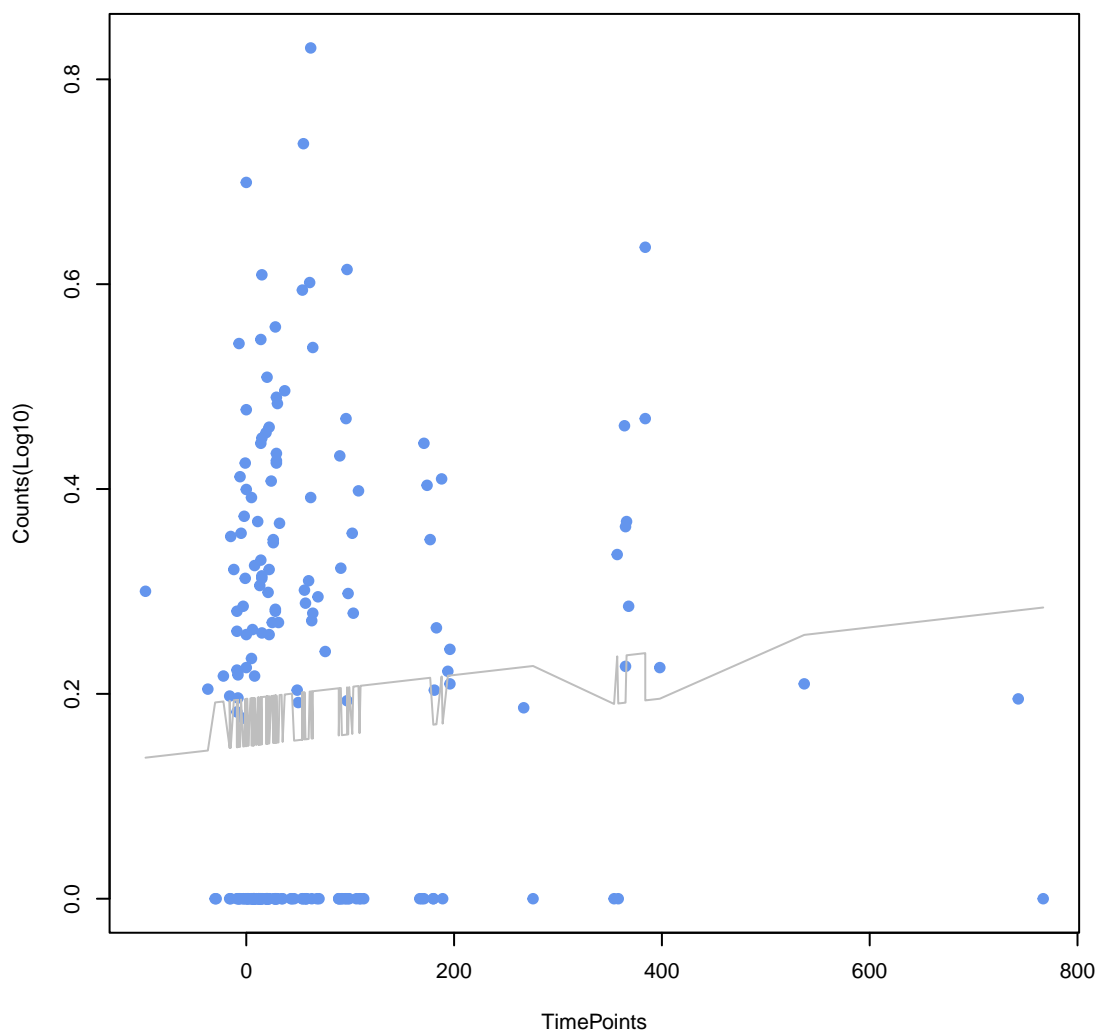
marA
ANOVA P=0.306, adj. ANOVA-P=0.632



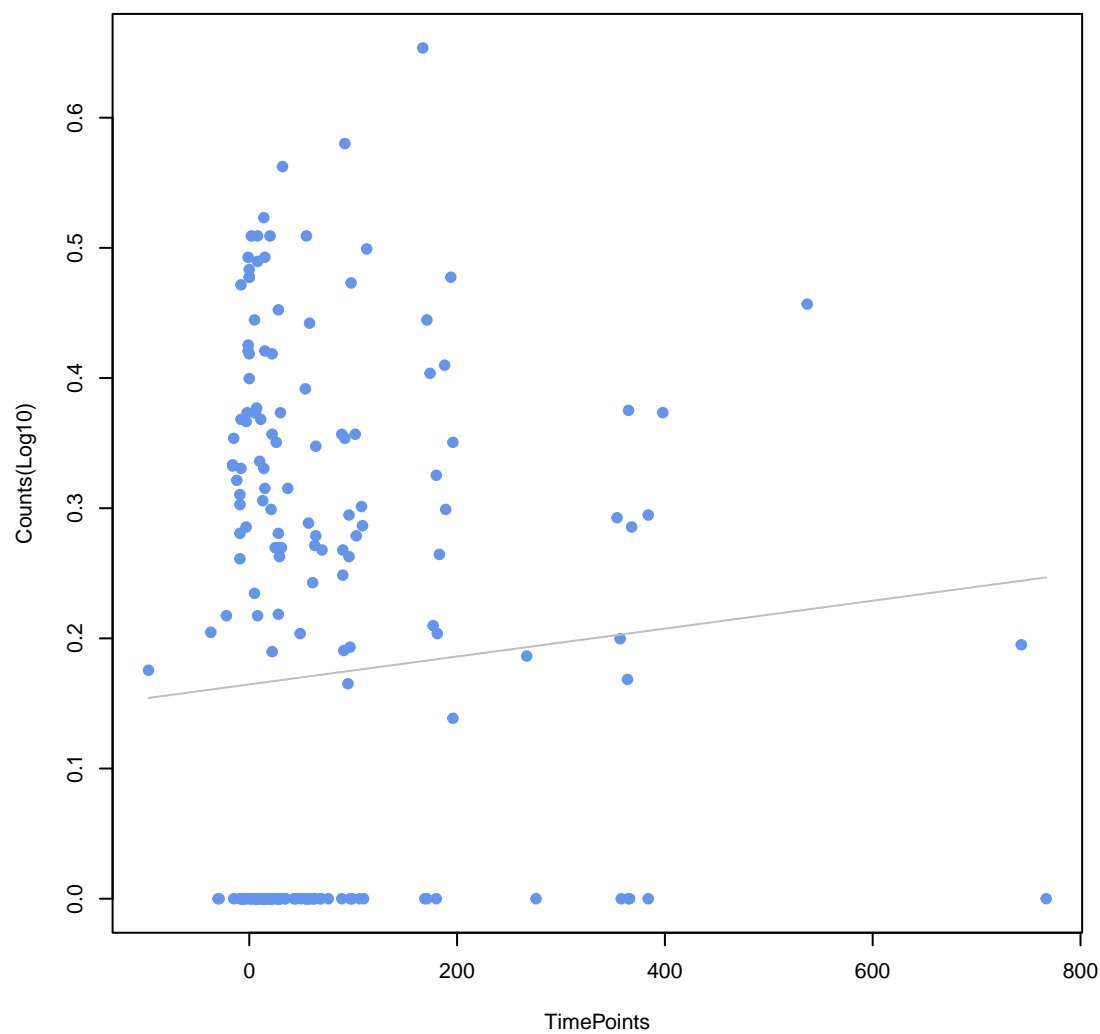
tet(W/32/O)
ANOVA P=0.307, adj. ANOVA-P=0.632



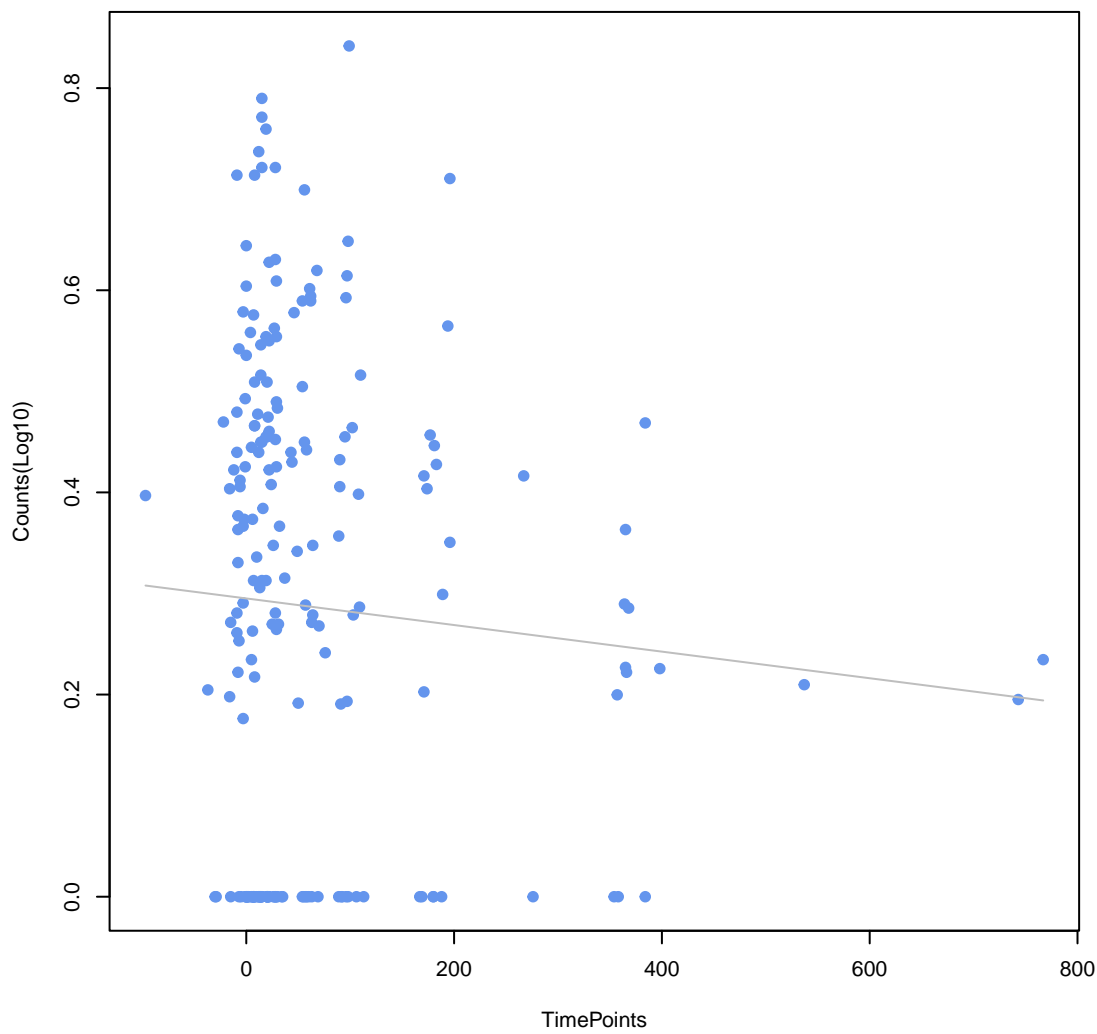
baeR
ANOVA P=0.318, adj. ANOVA-P=0.641



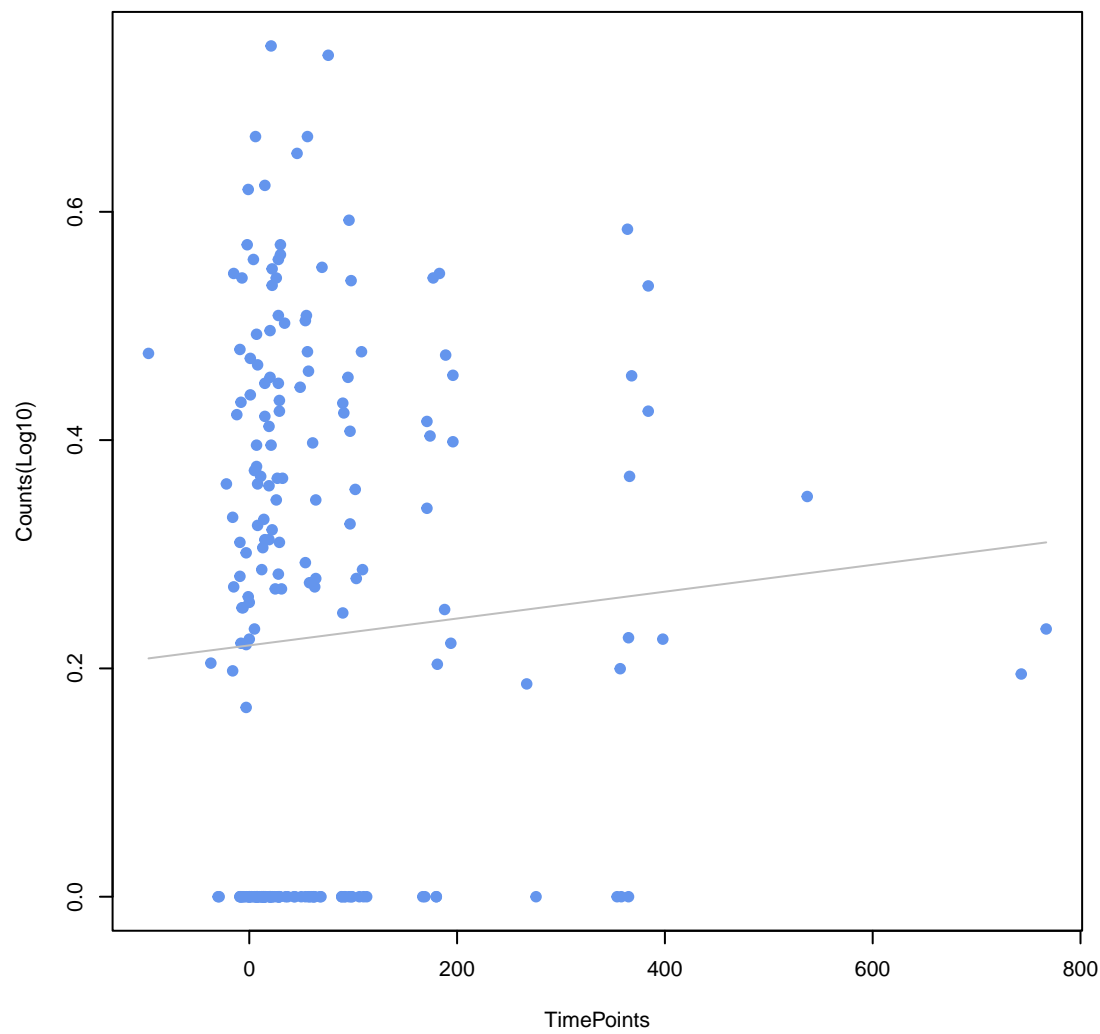
mdtG
ANOVA P=0.325, adj. ANOVA-P=0.645



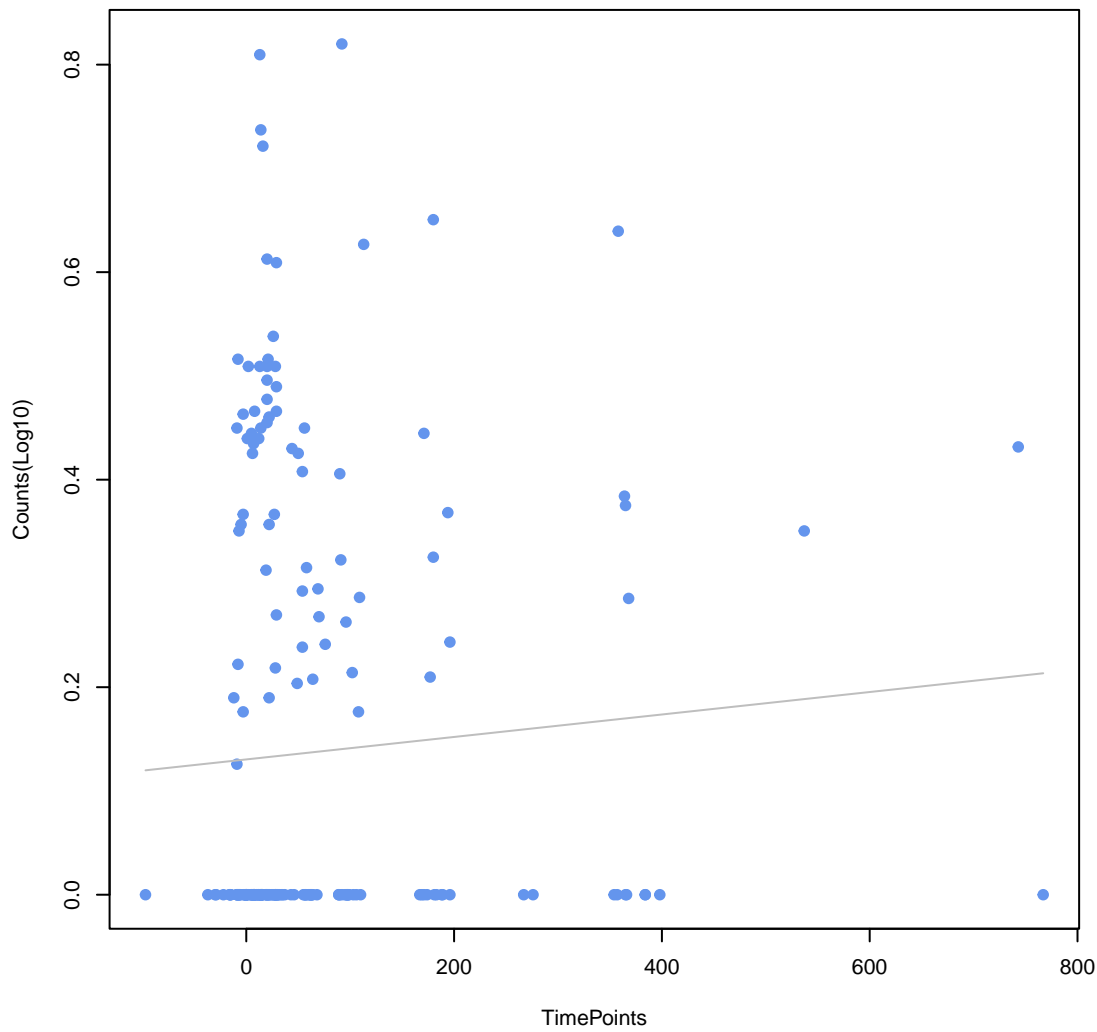
mdtC
ANOVA P=0.342, adj. ANOVA-P=0.665



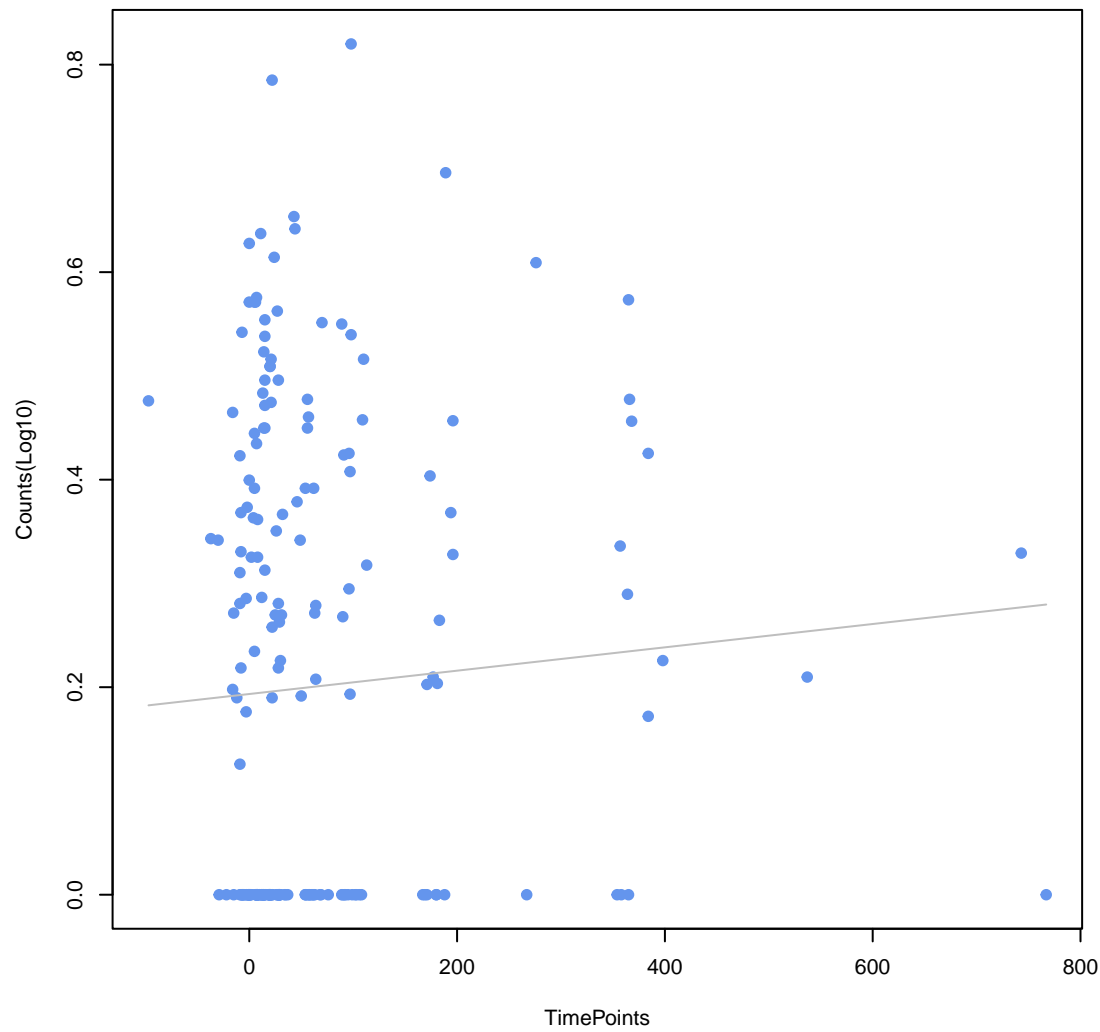
cpxA
ANOVA P=0.359, adj. ANOVA-P=0.686



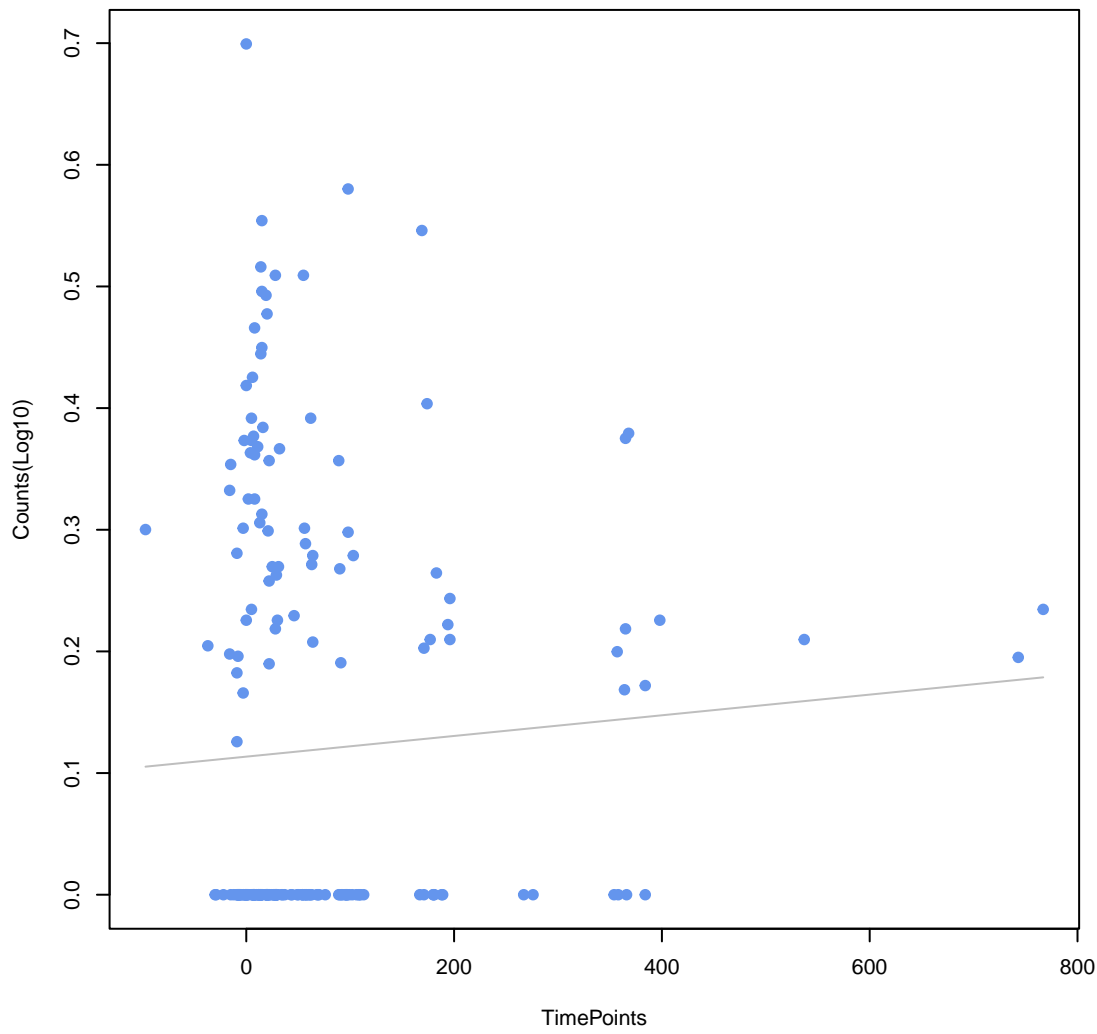
mdeA
ANOVA P=0.379, adj. ANOVA-P=0.708



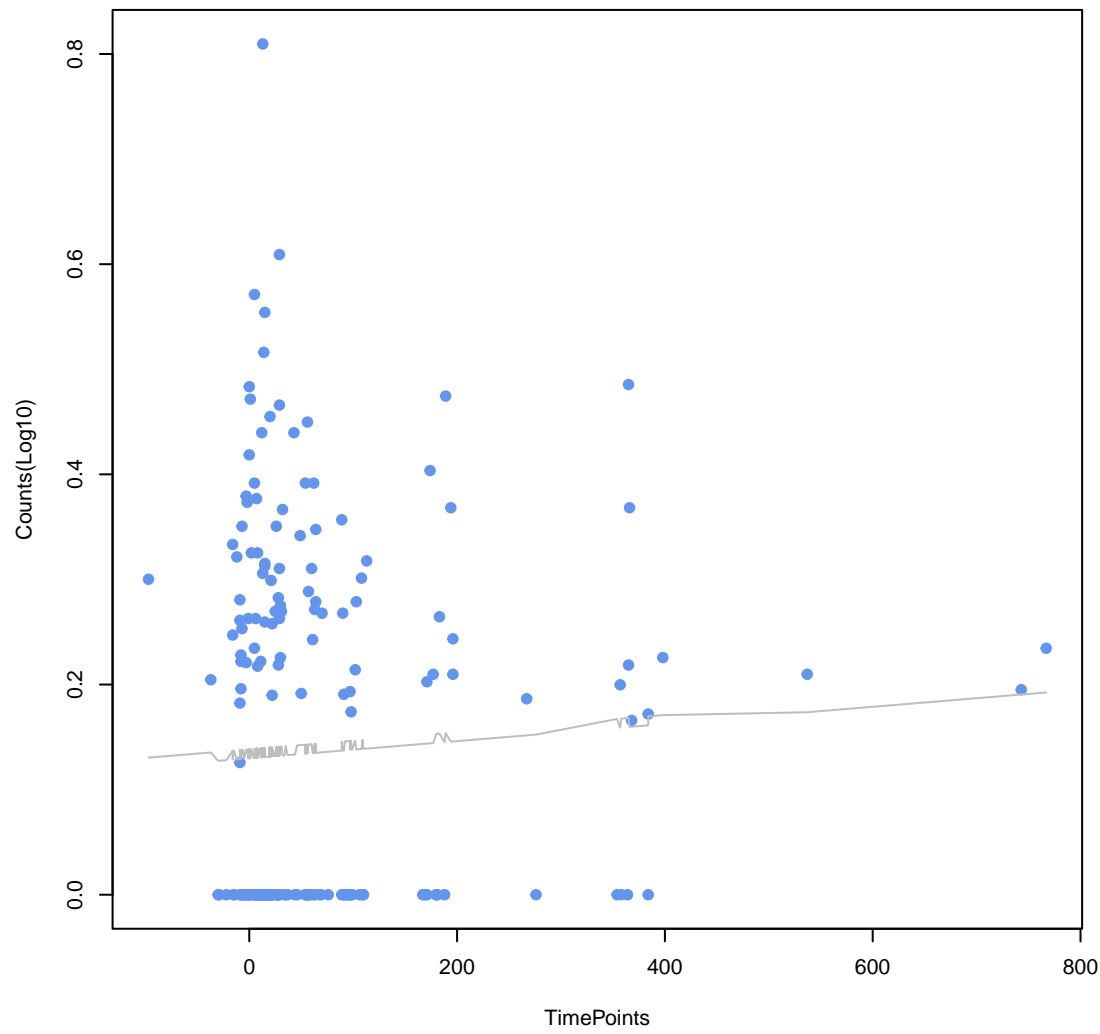
mdtO
ANOVA P=0.388, adj. ANOVA-P=0.708



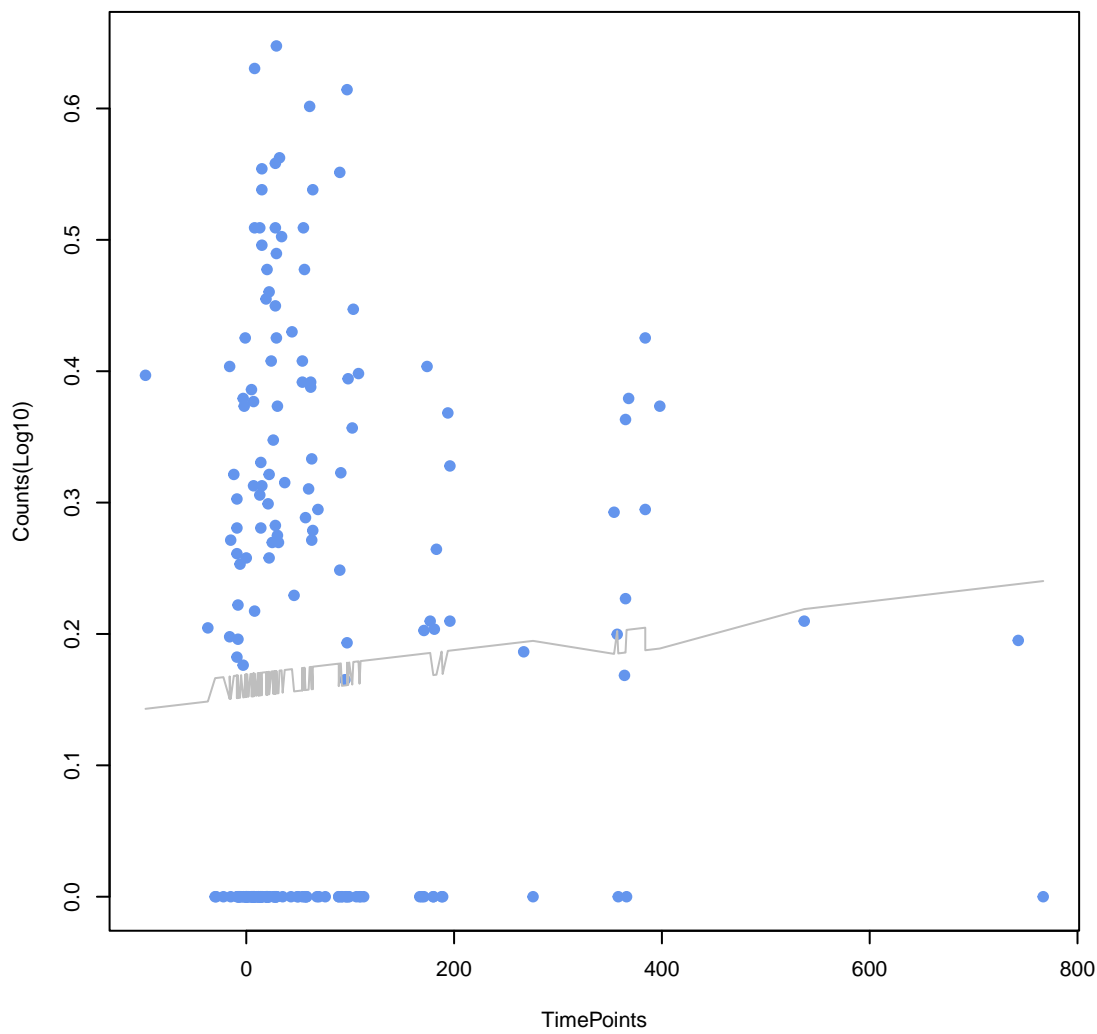
mdtE
ANOVA P=0.39, adj. ANOVA-P=0.708



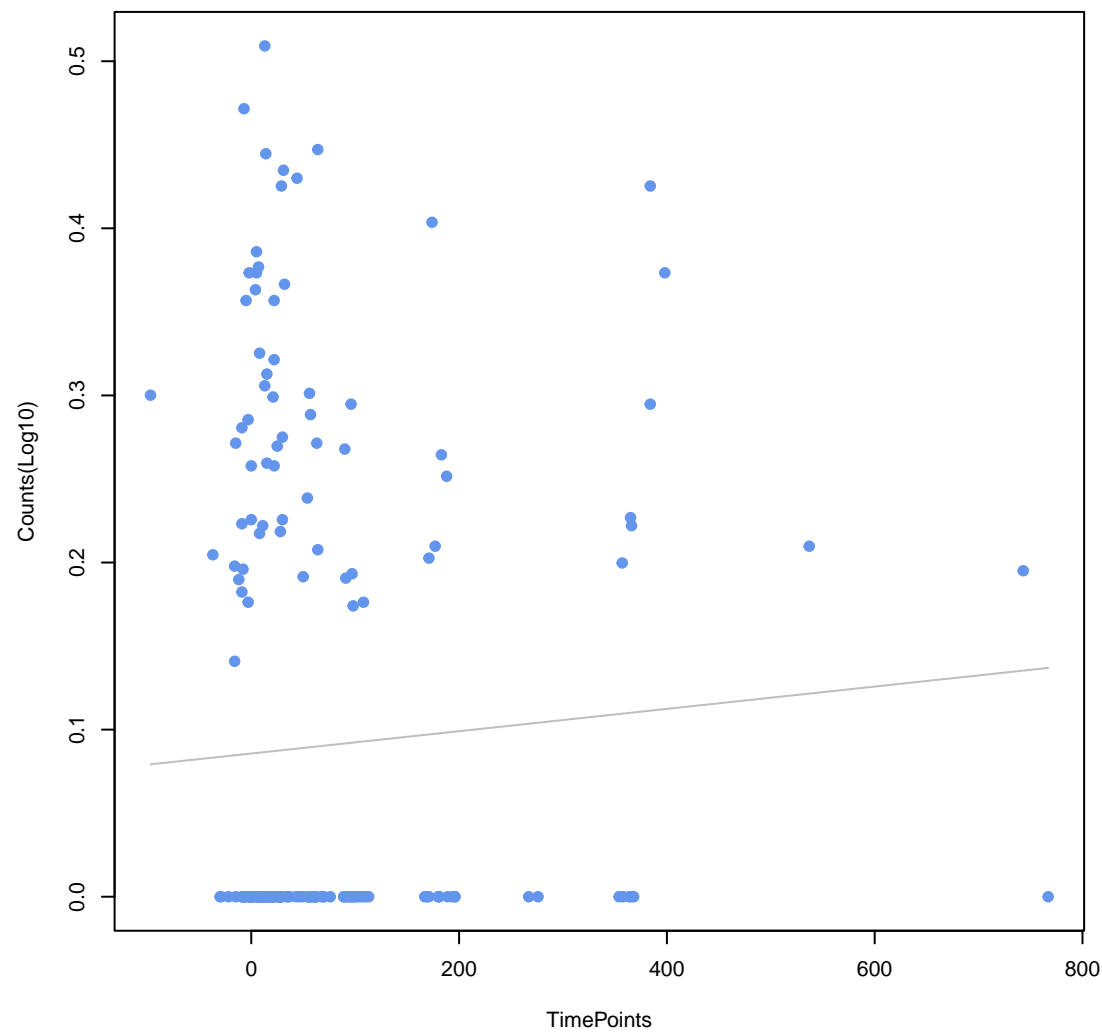
Escherichia coli acrA
ANOVA P=0.413, adj. ANOVA-P=0.712



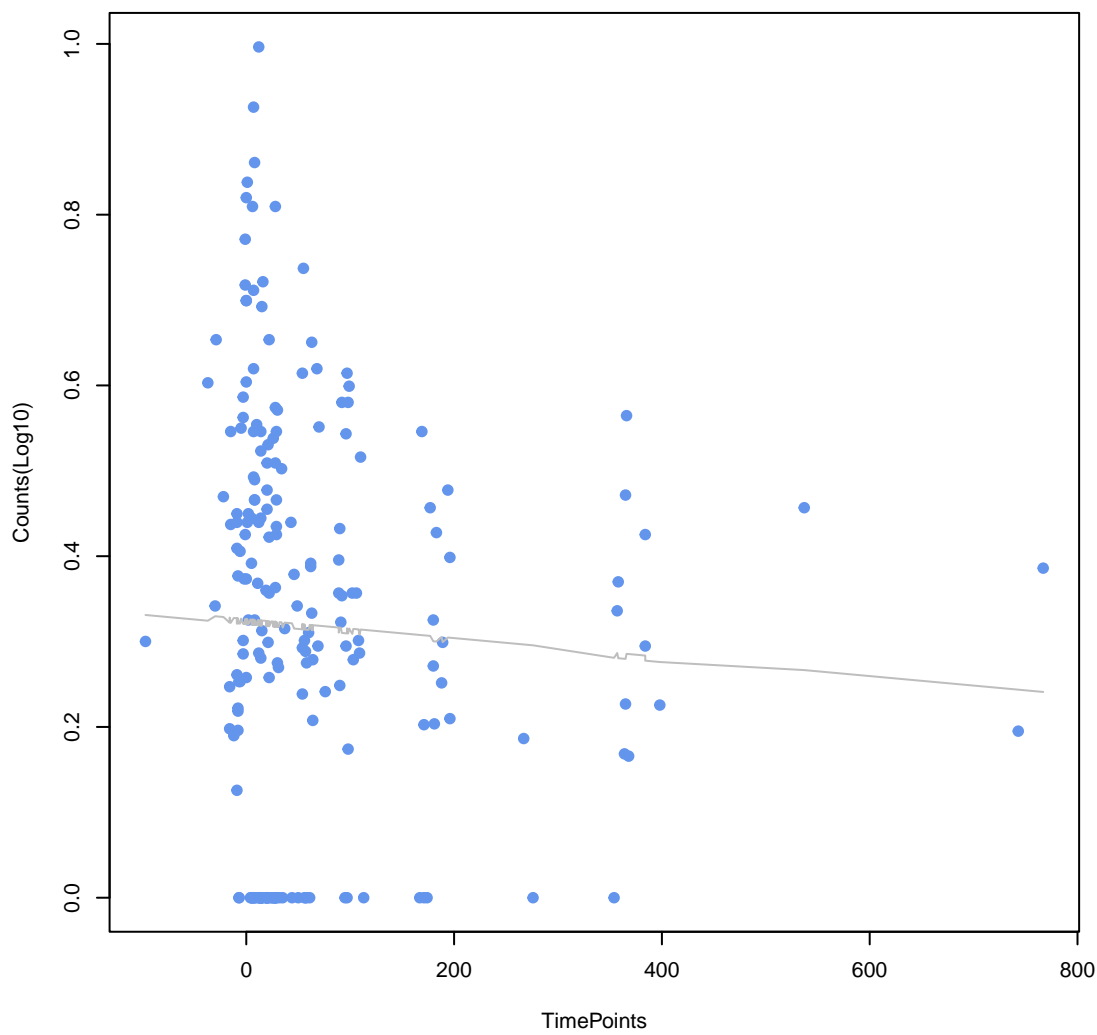
PmrF
ANOVA P=0.413, adj. ANOVA-P=0.712



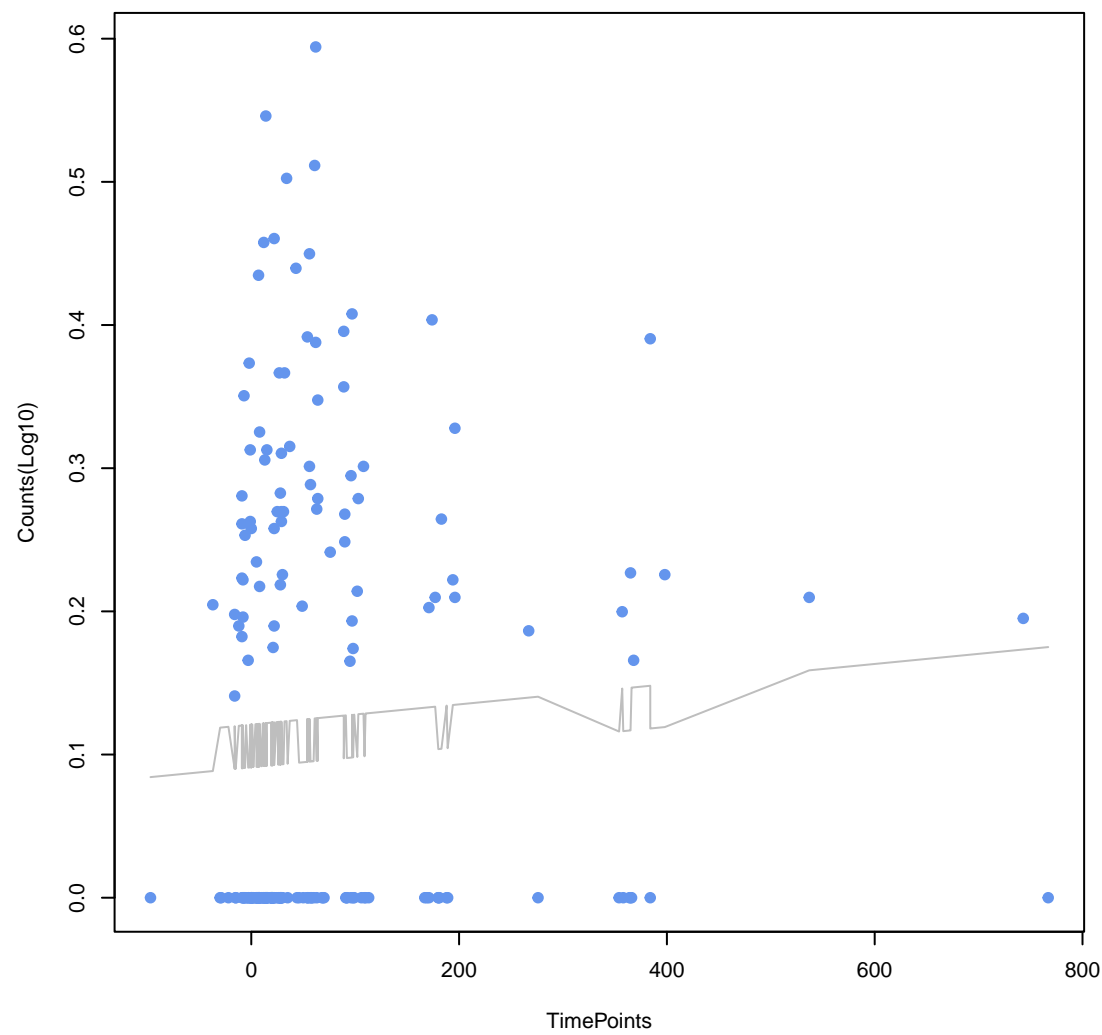
chia coli AcrAB-TolC with AcrR mutation conferring resistance to ciprofloxacin, tetracycline
ANOVA P=0.417, adj. ANOVA-P=0.712



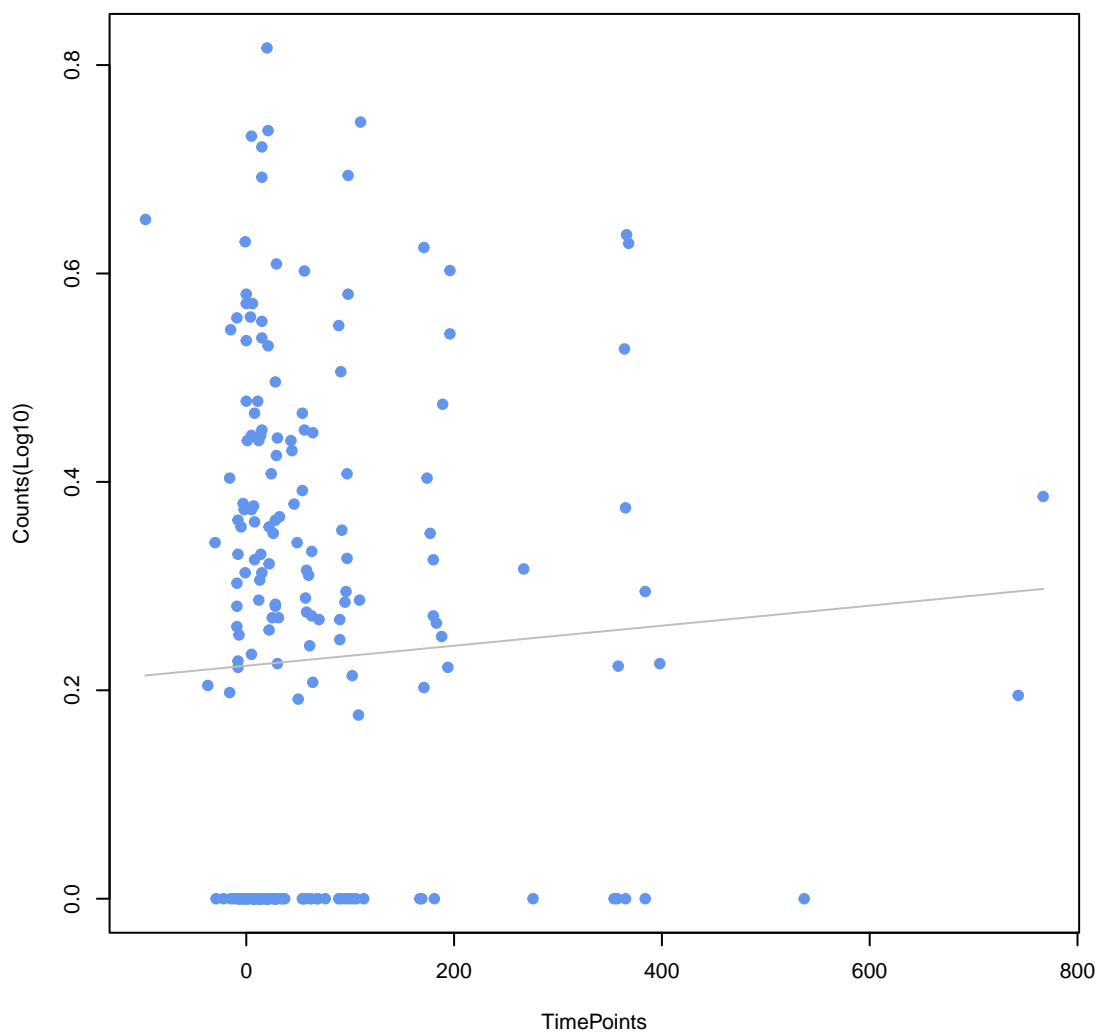
tetB(46)
ANOVA P=0.425, adj. ANOVA-P=0.712



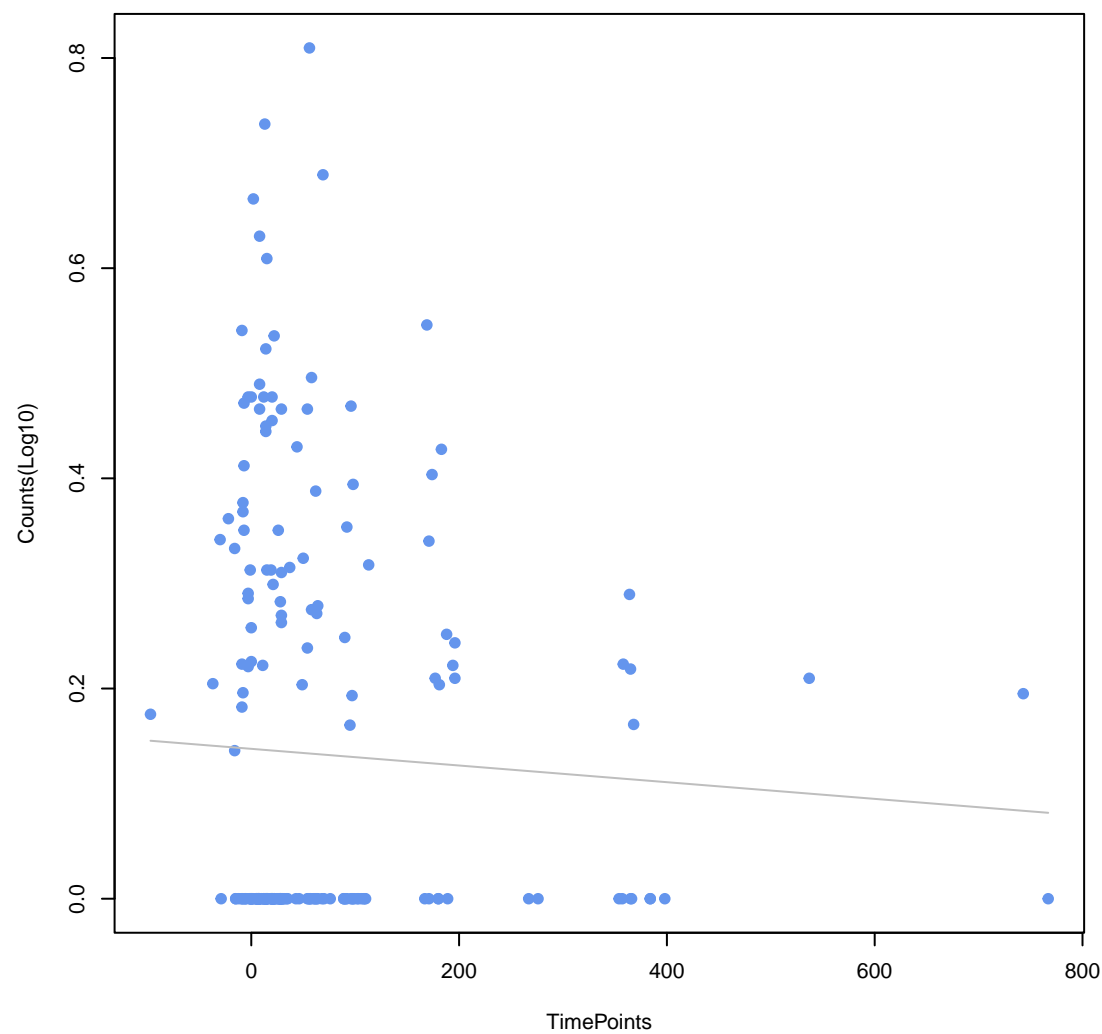
H-NS
ANOVA P=0.426, adj. ANOVA-P=0.712



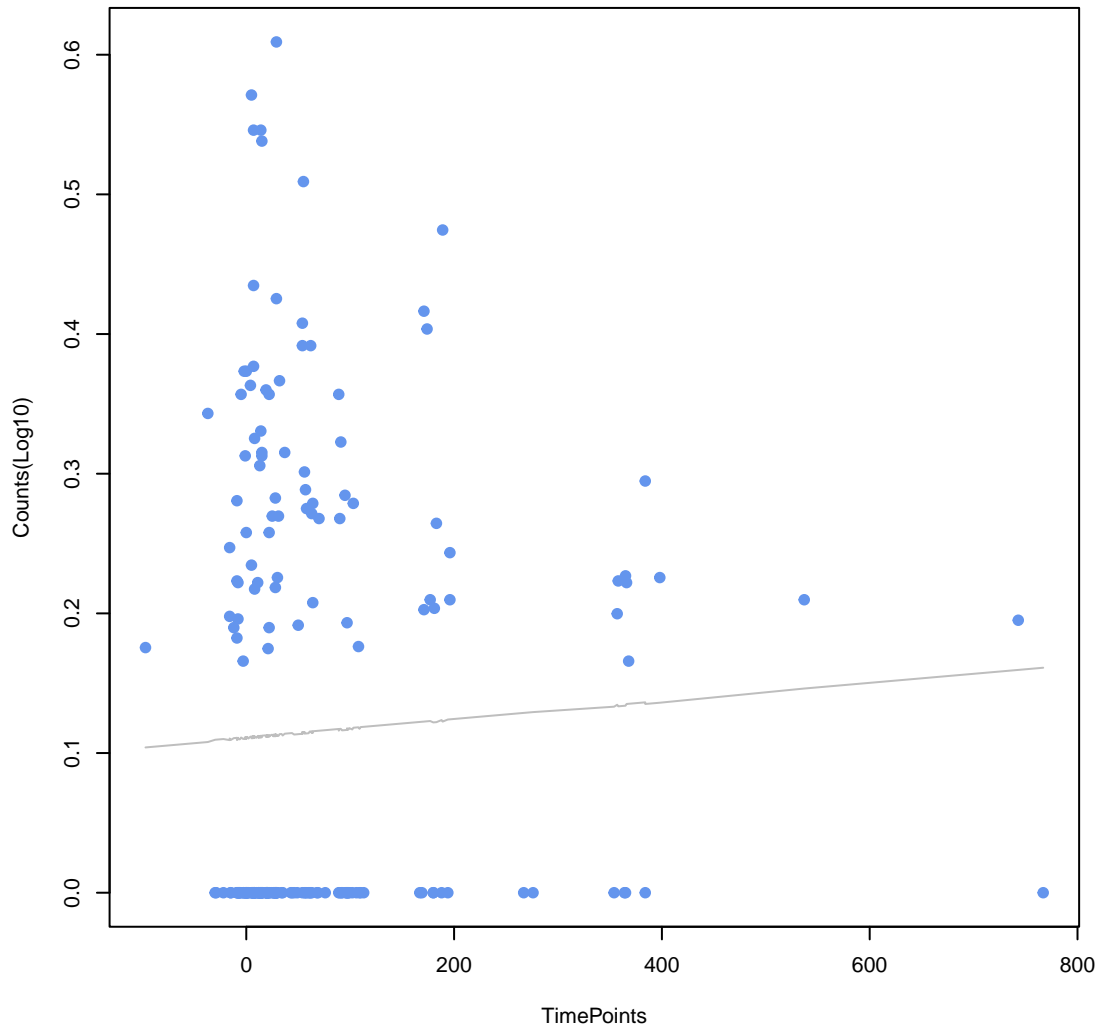
AcrF
ANOVA P=0.466, adj. ANOVA-P=0.768



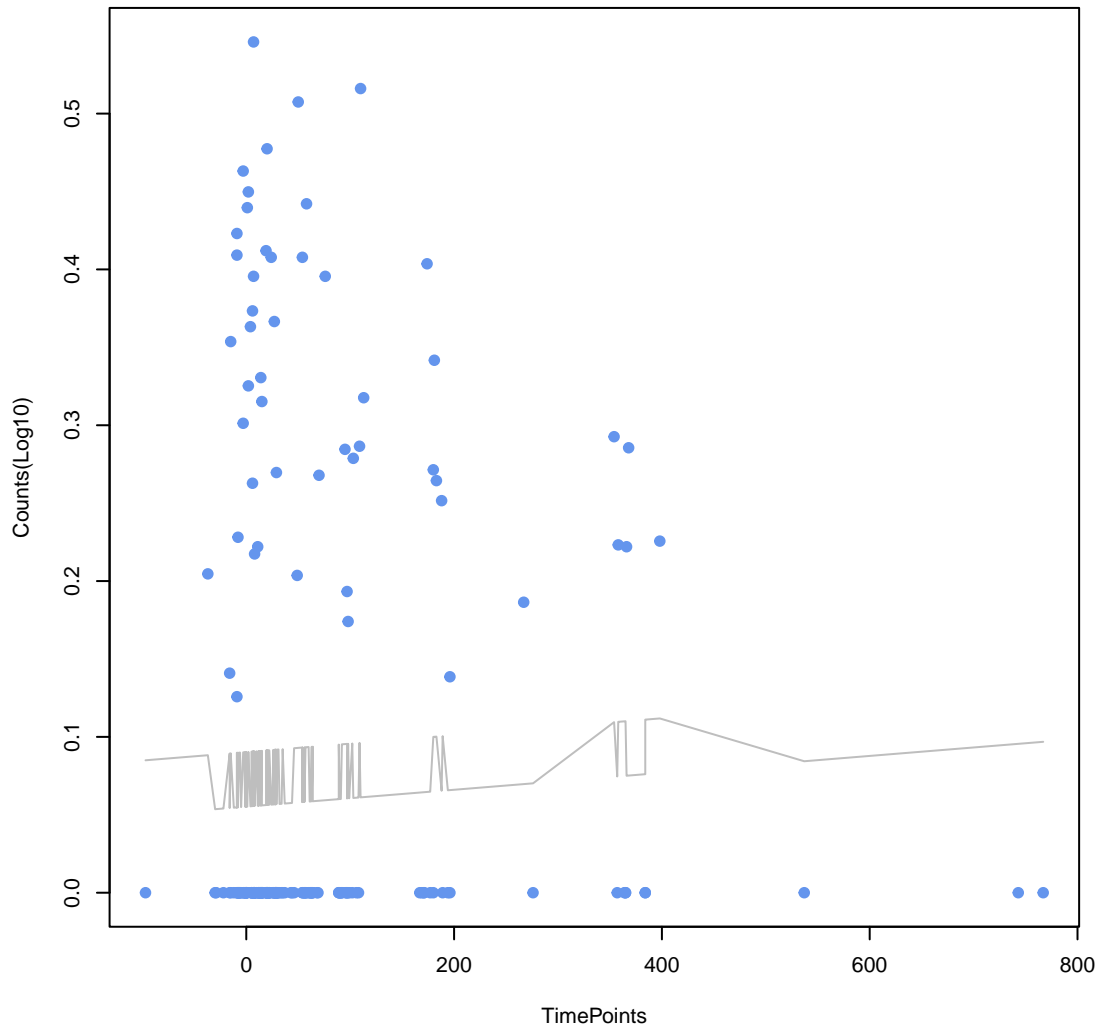
Bifidobacterium bifidum ileS conferring resistance to mupirocin
ANOVA P=0.483, adj. ANOVA-P=0.772



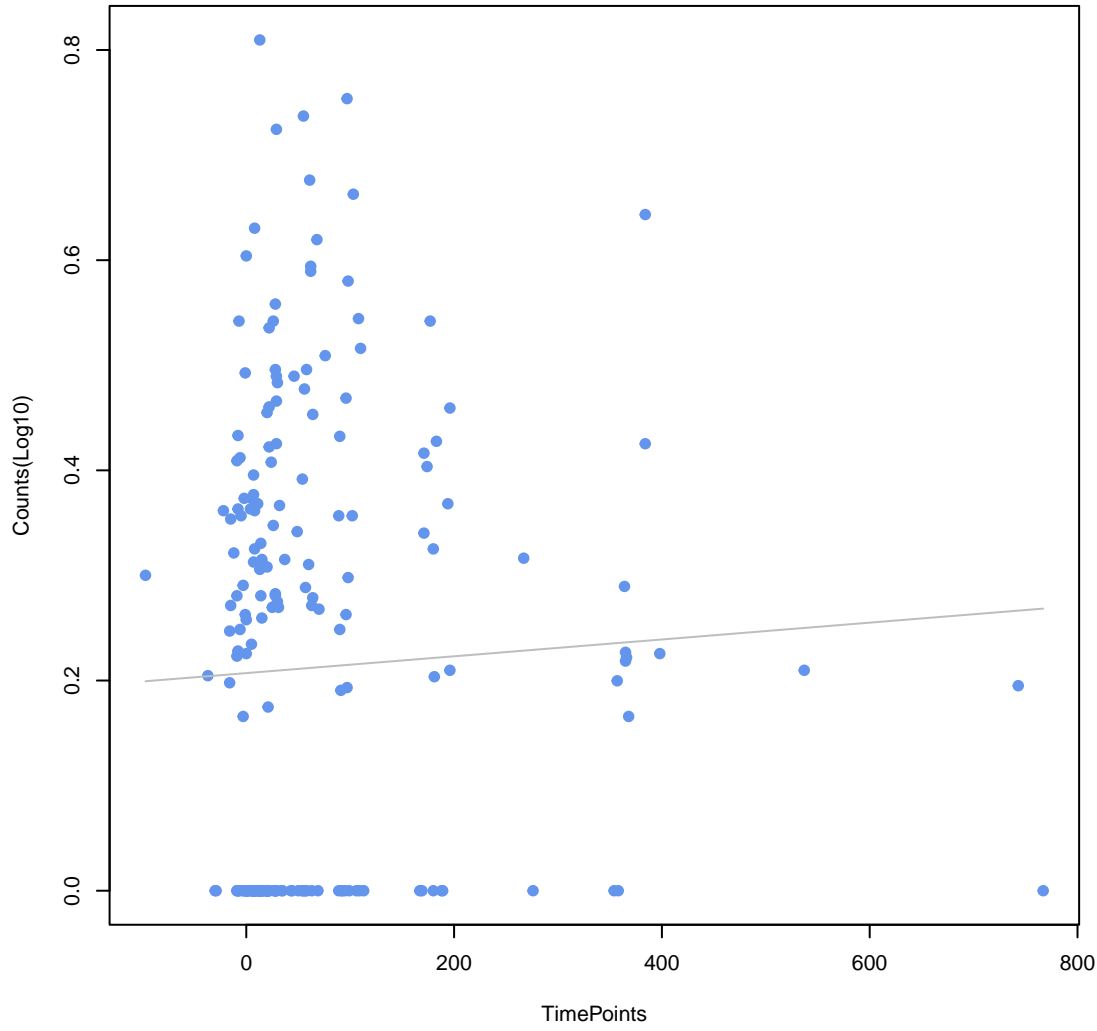
Escherichia coli soxR with mutation conferring antibiotic resistance
ANOVA P=0.484, adj. ANOVA-P=0.772



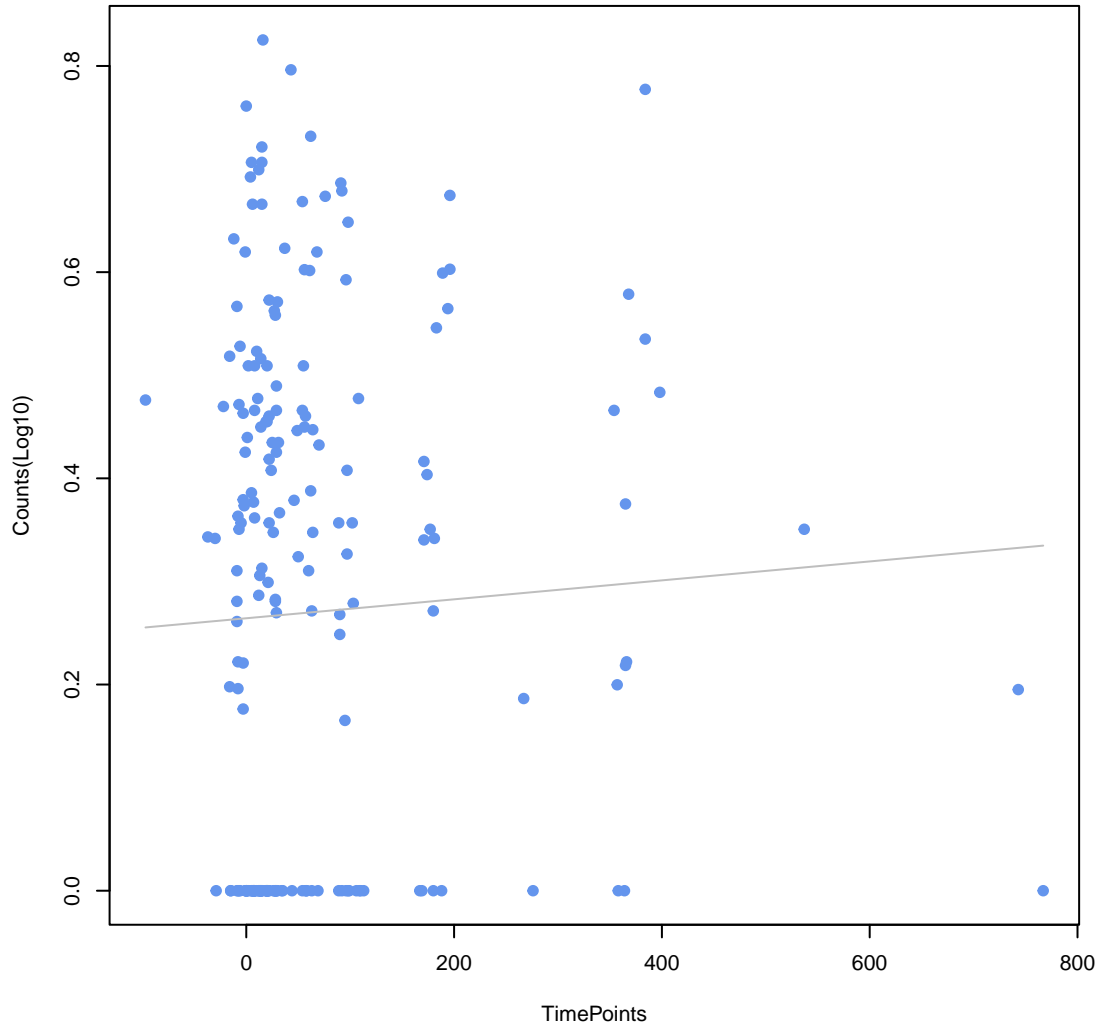
mtrD
ANOVA P=0.521, adj. ANOVA-P=0.809



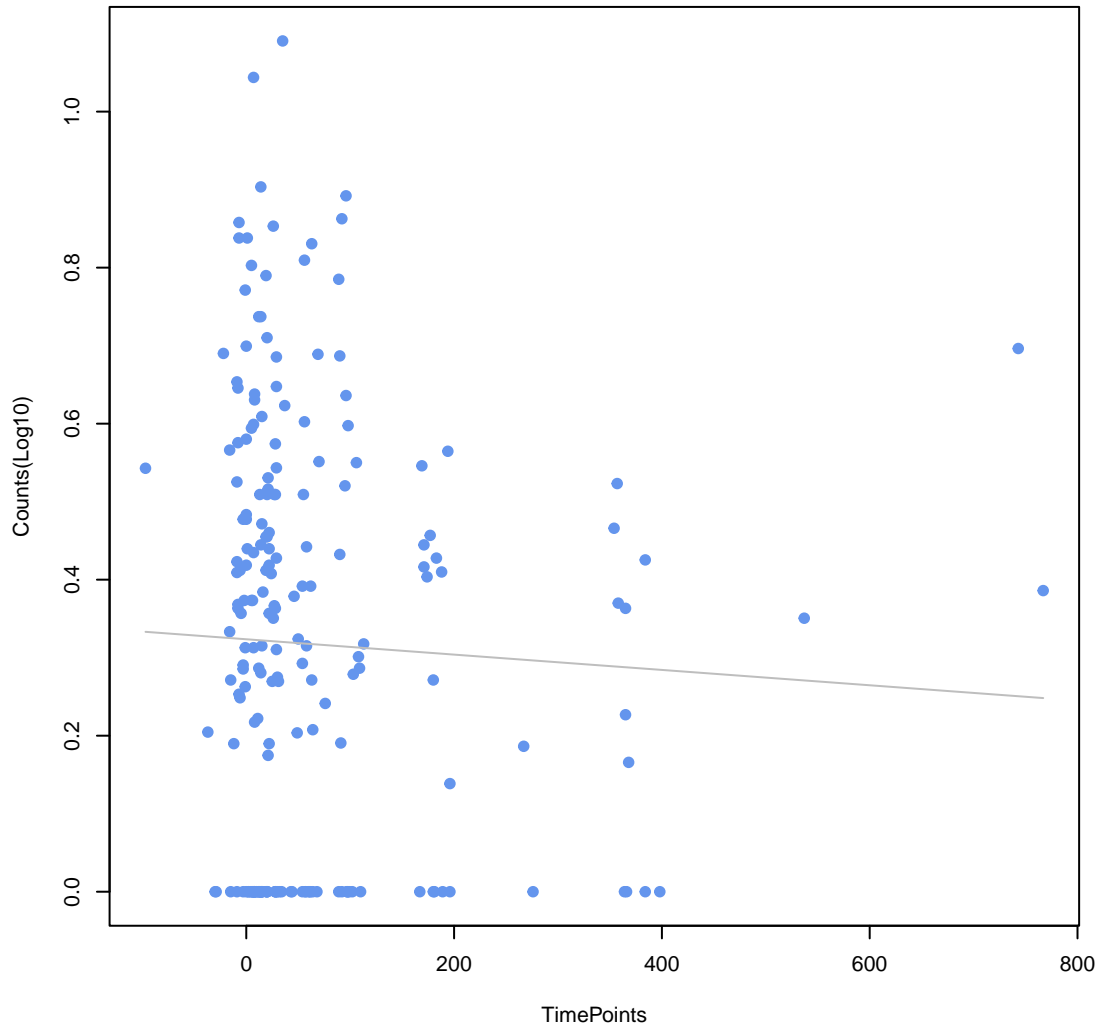
CRP
ANOVA P=0.524, adj. ANOVA-P=0.809



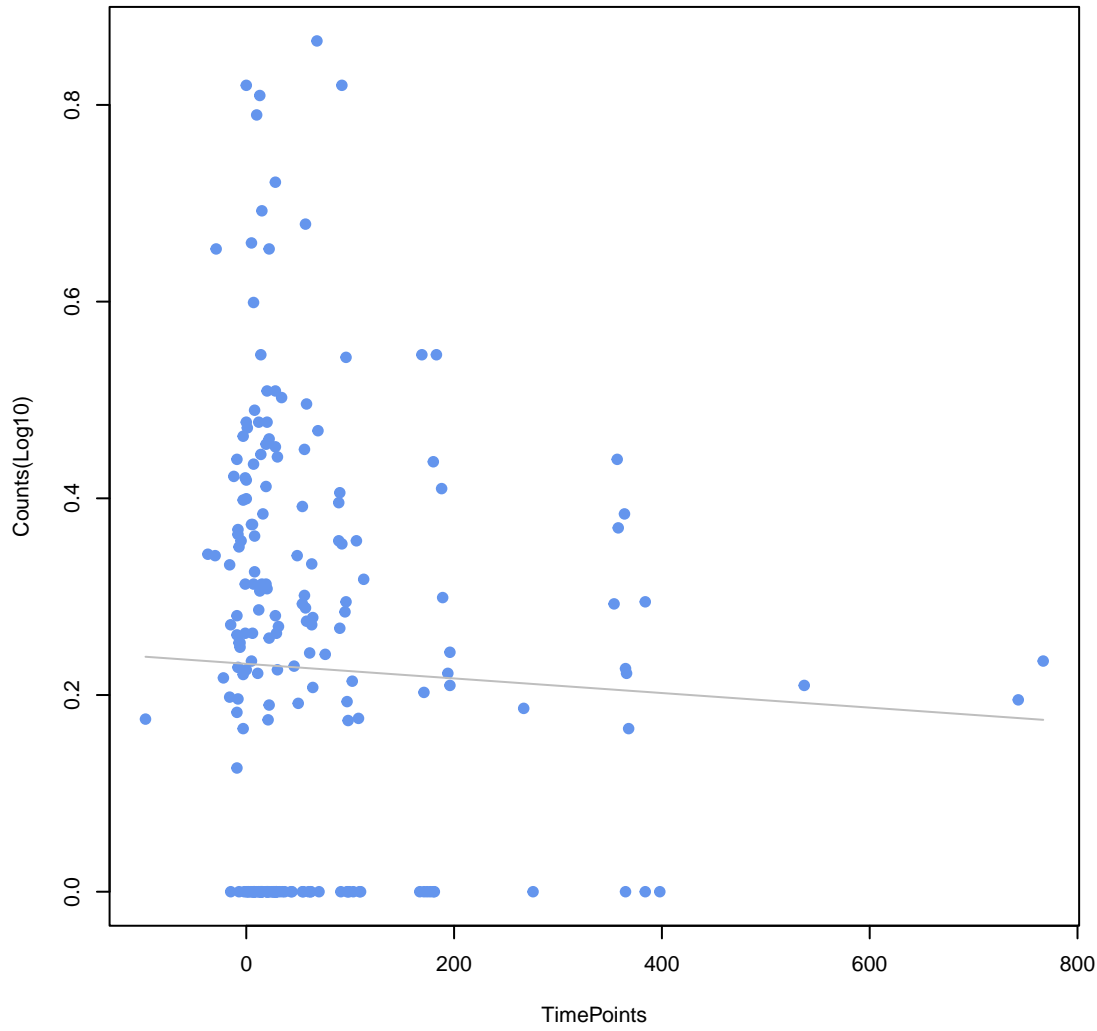
acrB
ANOVA P=0.53, adj. ANOVA-P=0.809



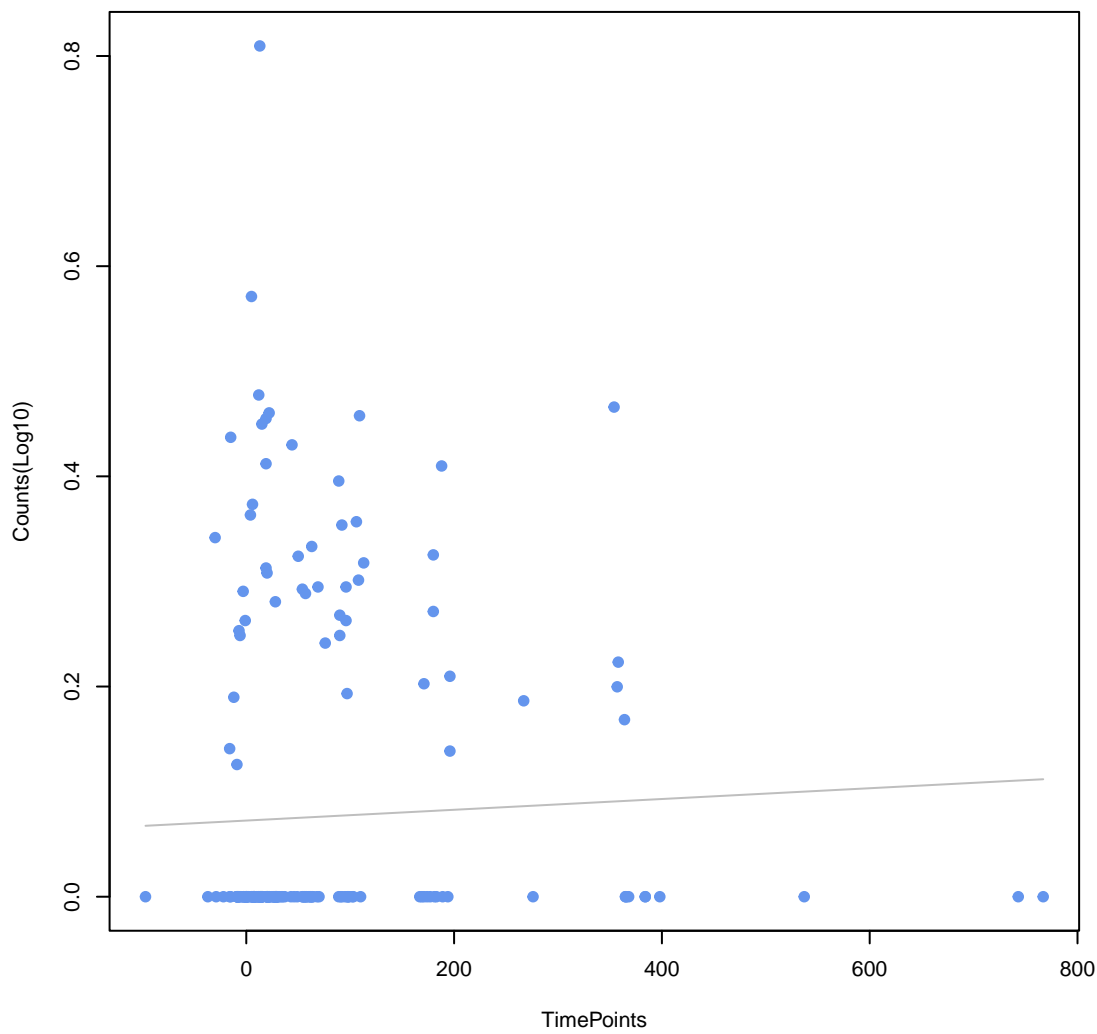
Bifidobacterium adolescentis rpoB mutants conferring resistance to rifampicin
ANOVA P=0.538, adj. ANOVA-P=0.809



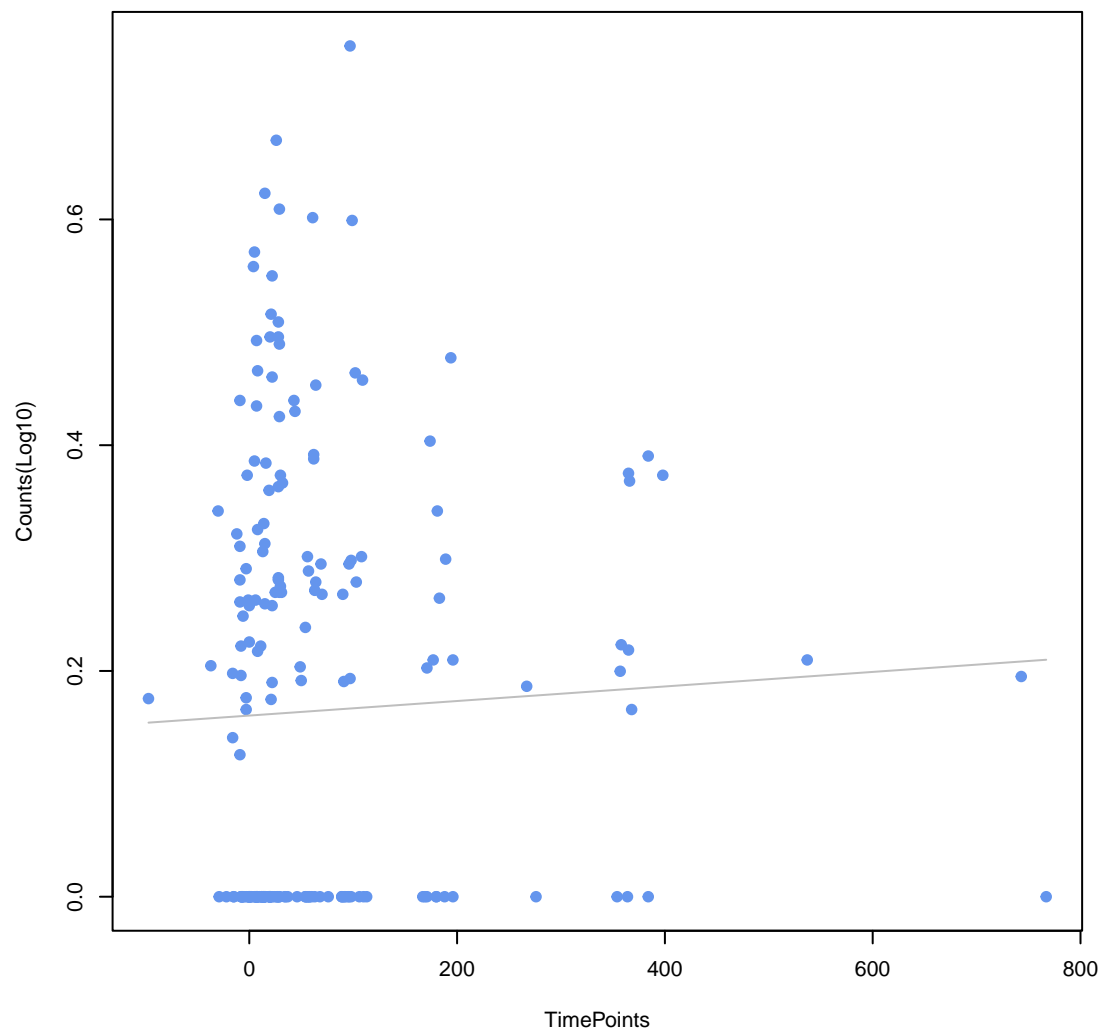
InuC
ANOVA P=0.551, adj. ANOVA-P=0.809



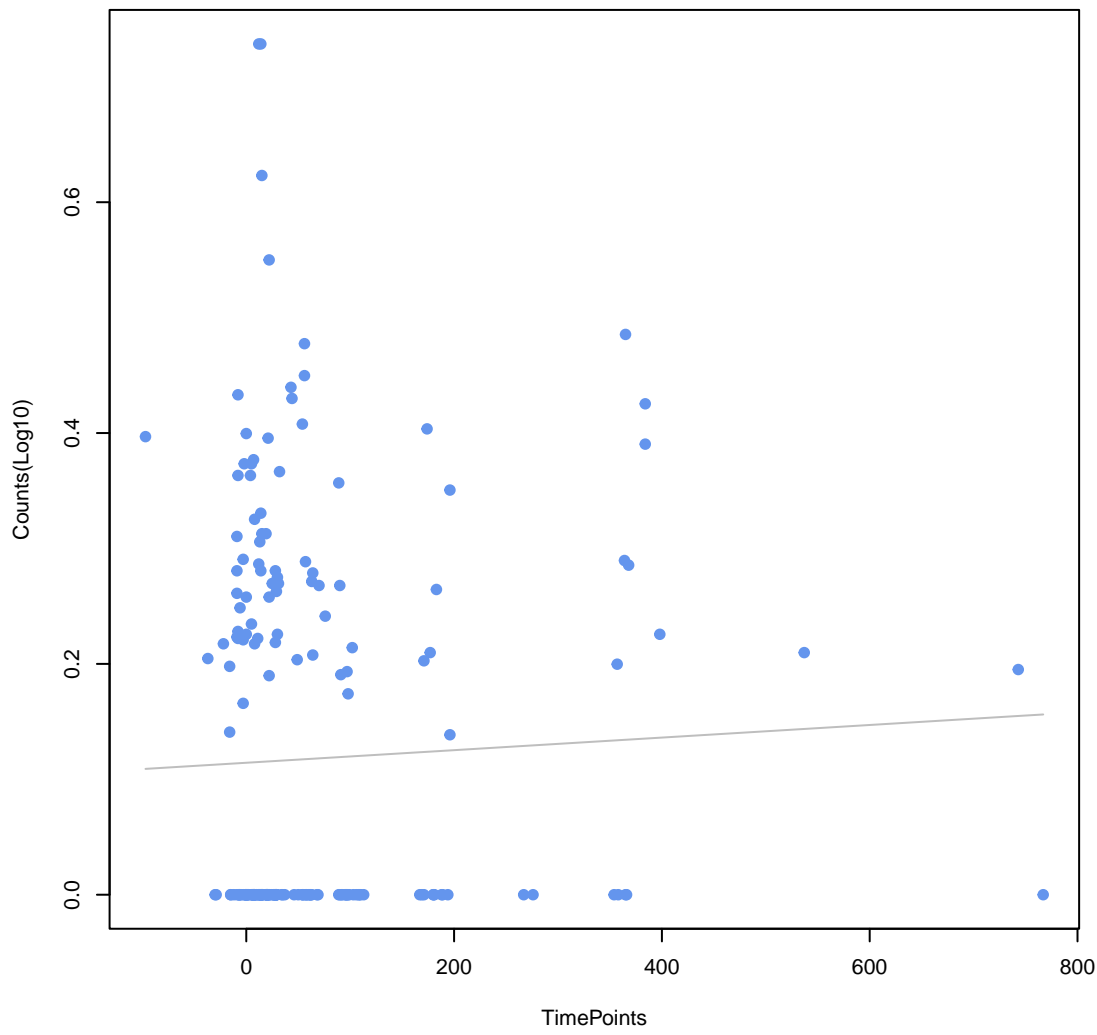
vanR gene in vanE cluster
ANOVA P=0.555, adj. ANOVA-P=0.809



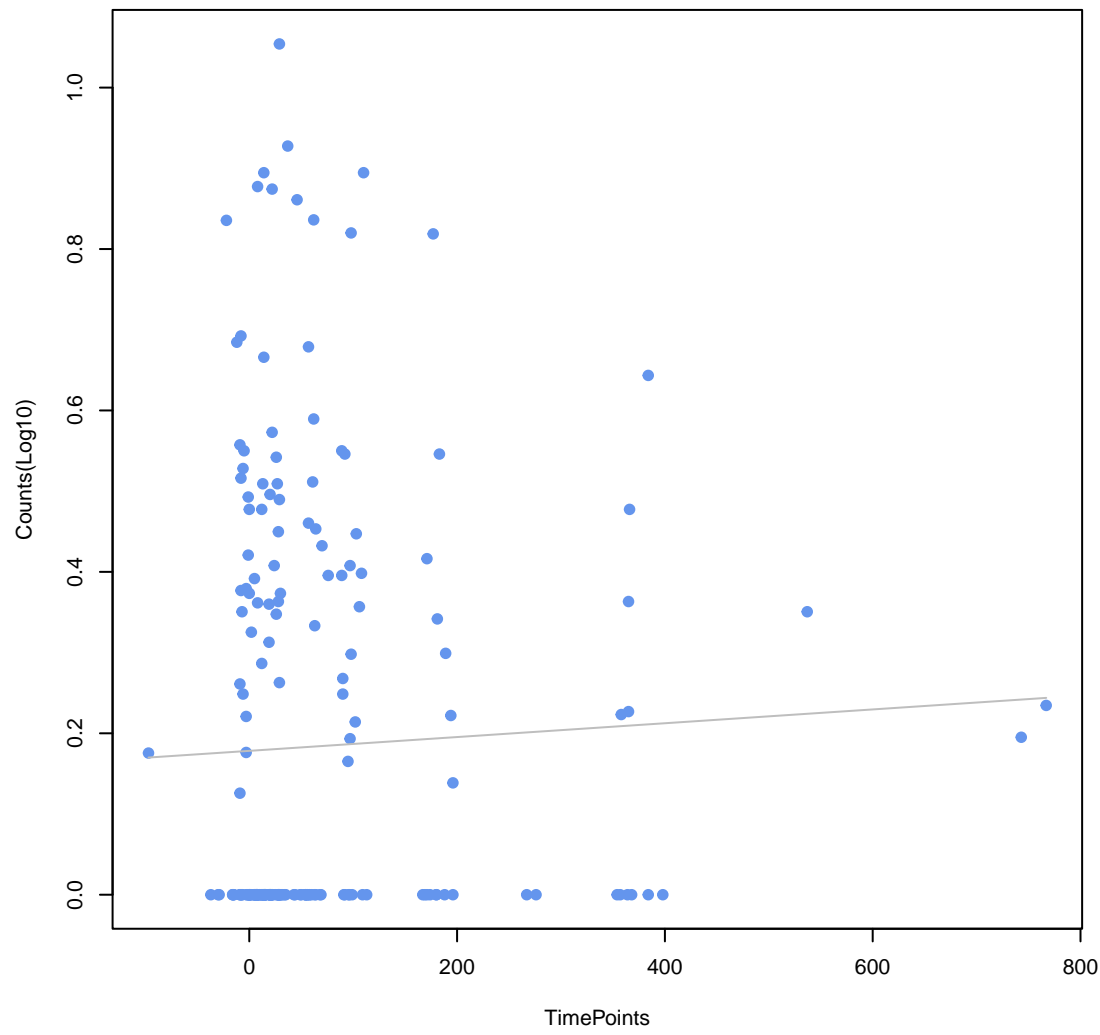
Escherichia coli mdfA
ANOVA P=0.56, adj. ANOVA-P=0.809



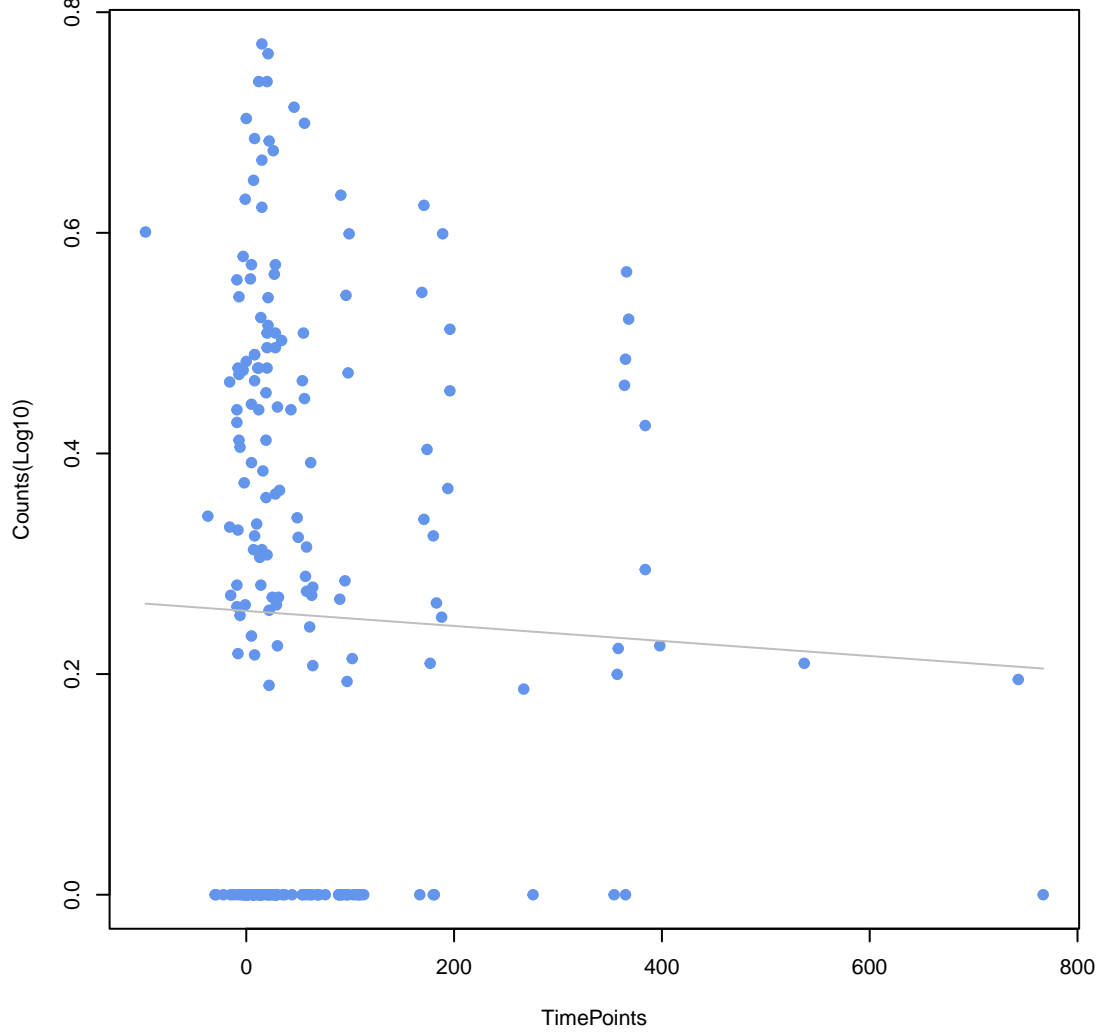
mdtA
ANOVA P=0.571, adj. ANOVA-P=0.809



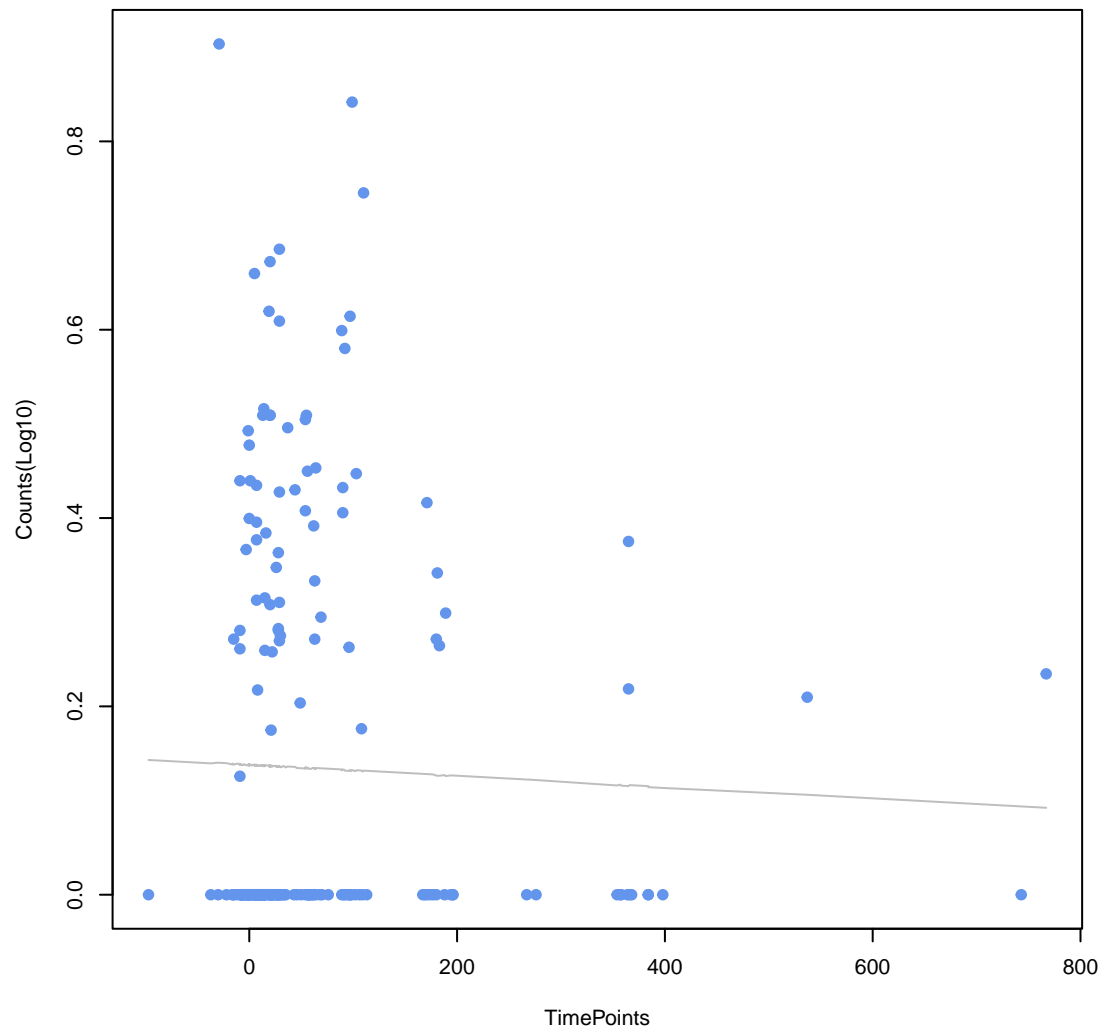
oqxB
ANOVA P=0.574, adj. ANOVA-P=0.809



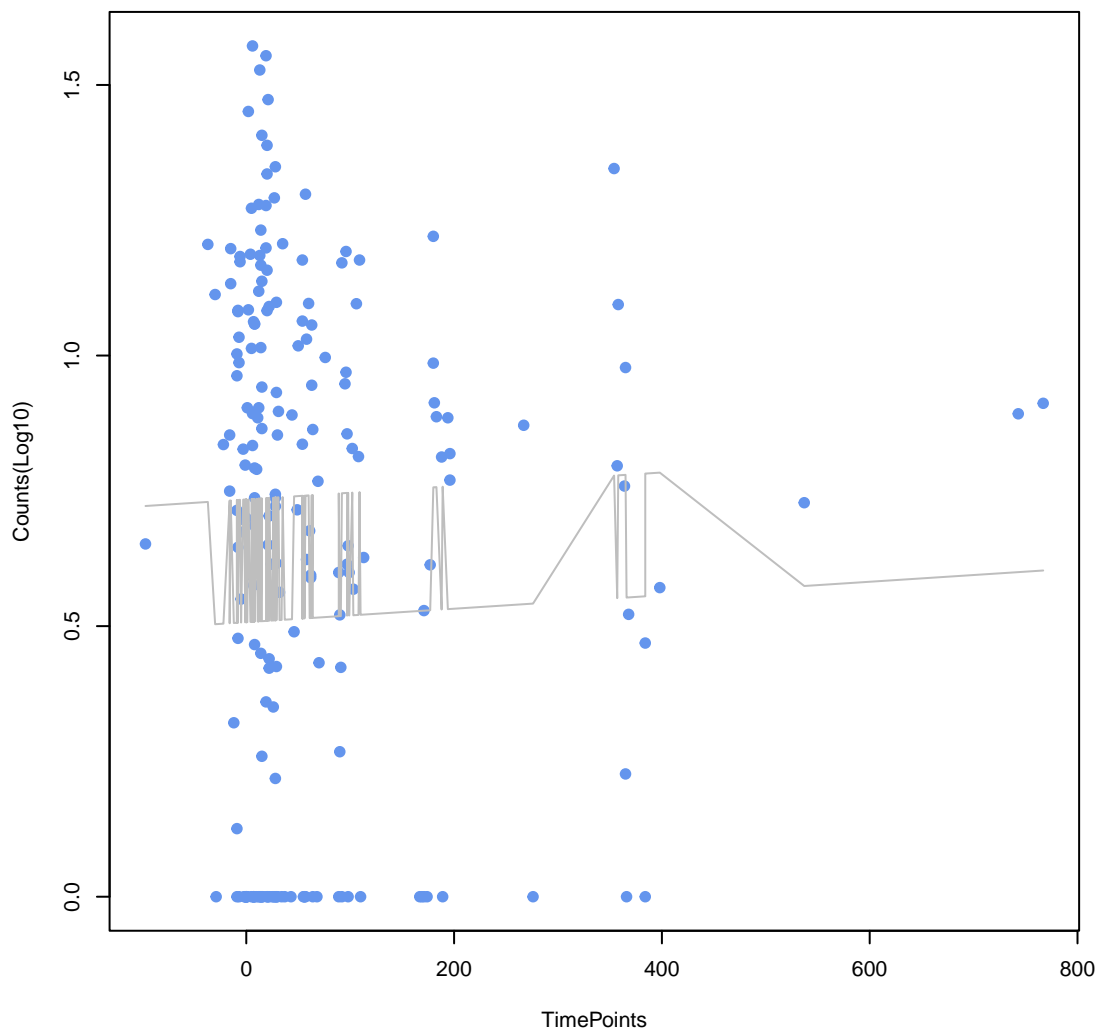
evgS
ANOVA P=0.624, adj. ANOVA-P=0.858



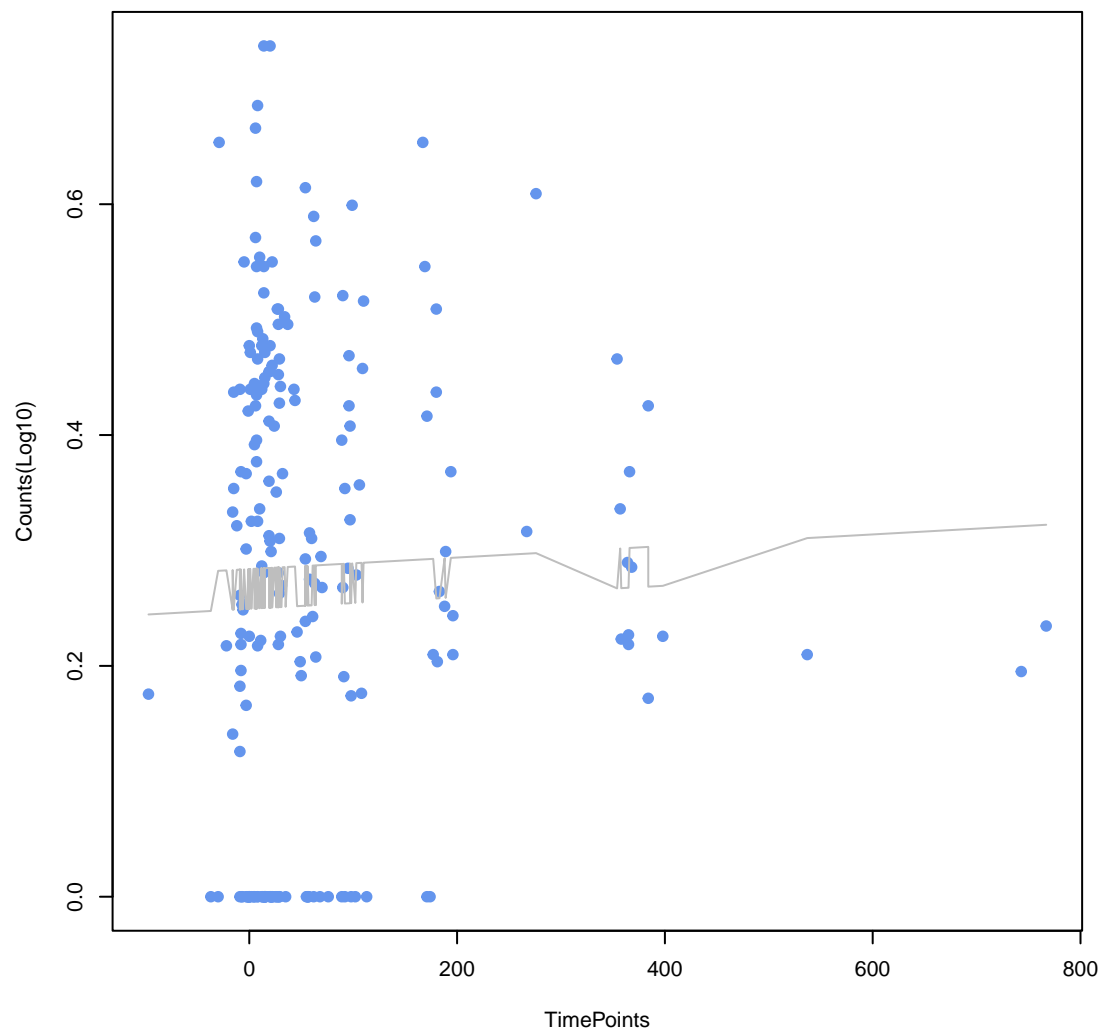
tetB(60)
ANOVA P=0.625, adj. ANOVA-P=0.858



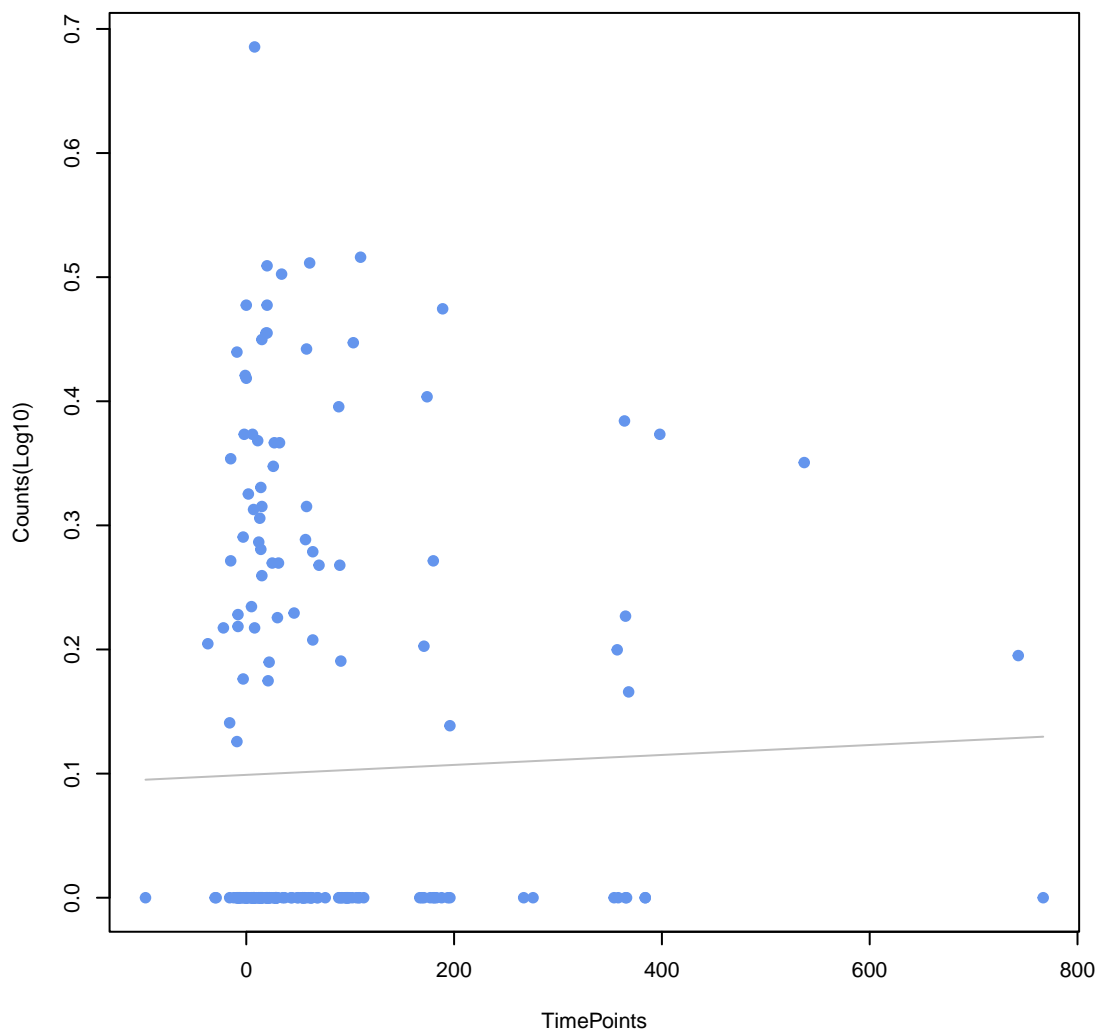
adeF
ANOVA P=0.639, adj. ANOVA-P=0.865



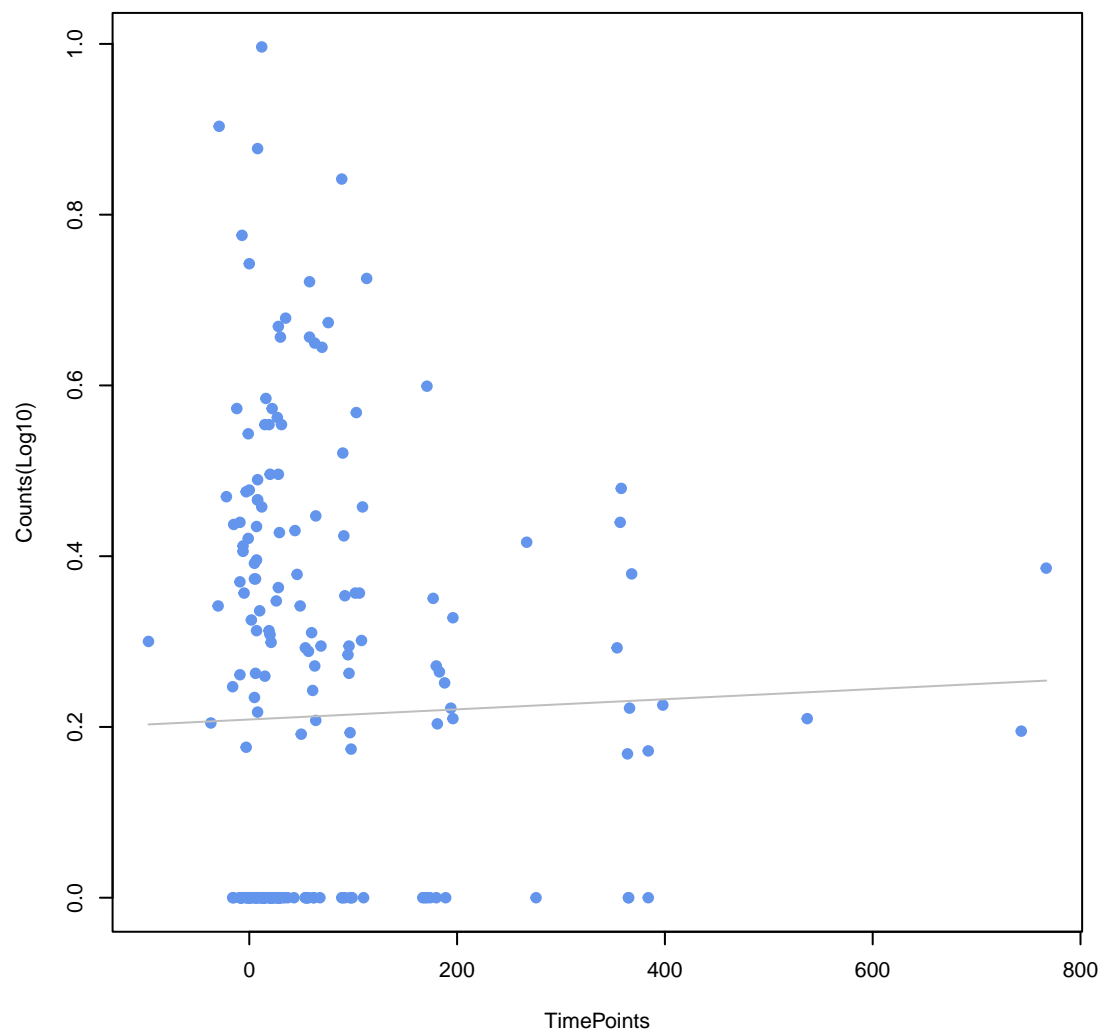
SAT-4
ANOVA P=0.672, adj. ANOVA-P=0.879



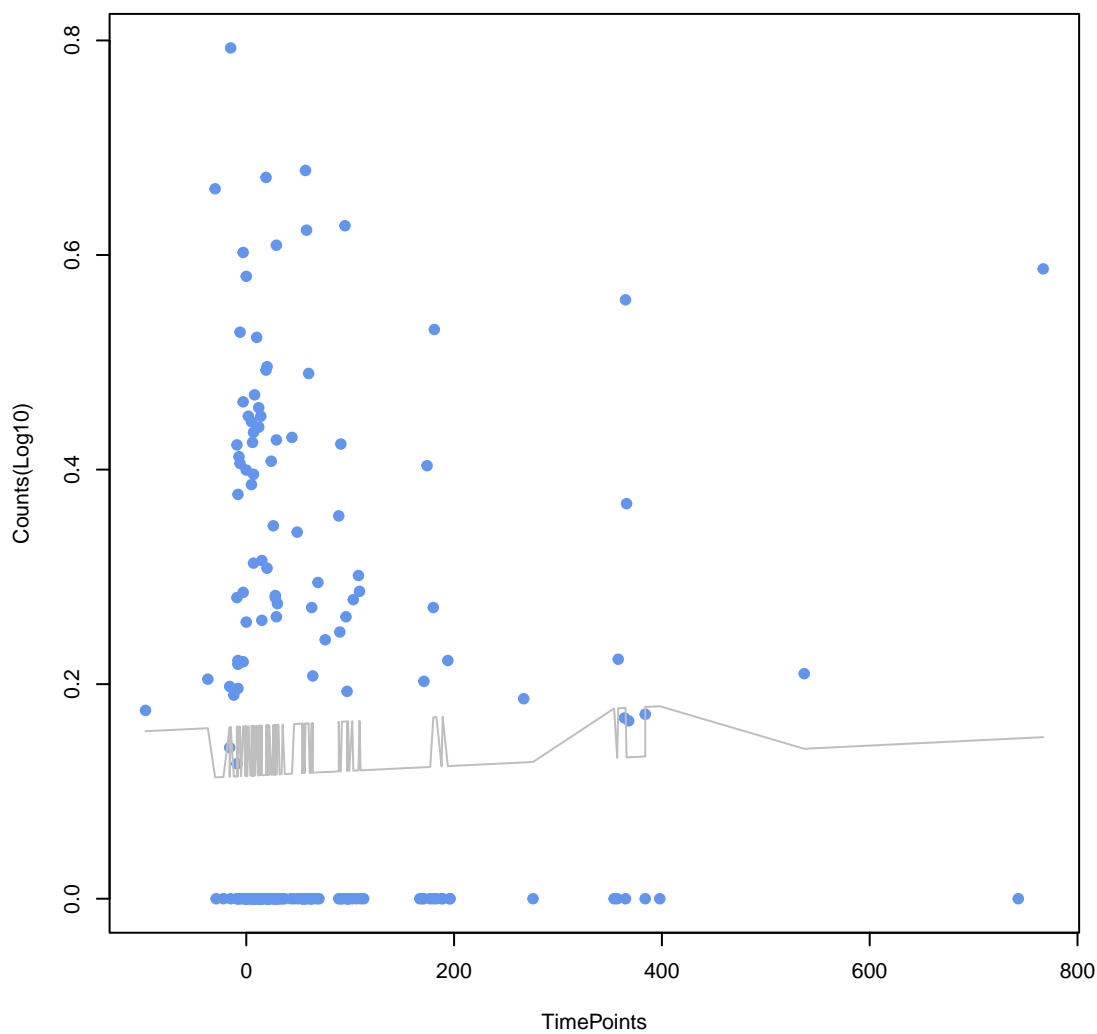
APH(3'')-lb
ANOVA P=0.672, adj. ANOVA-P=0.879



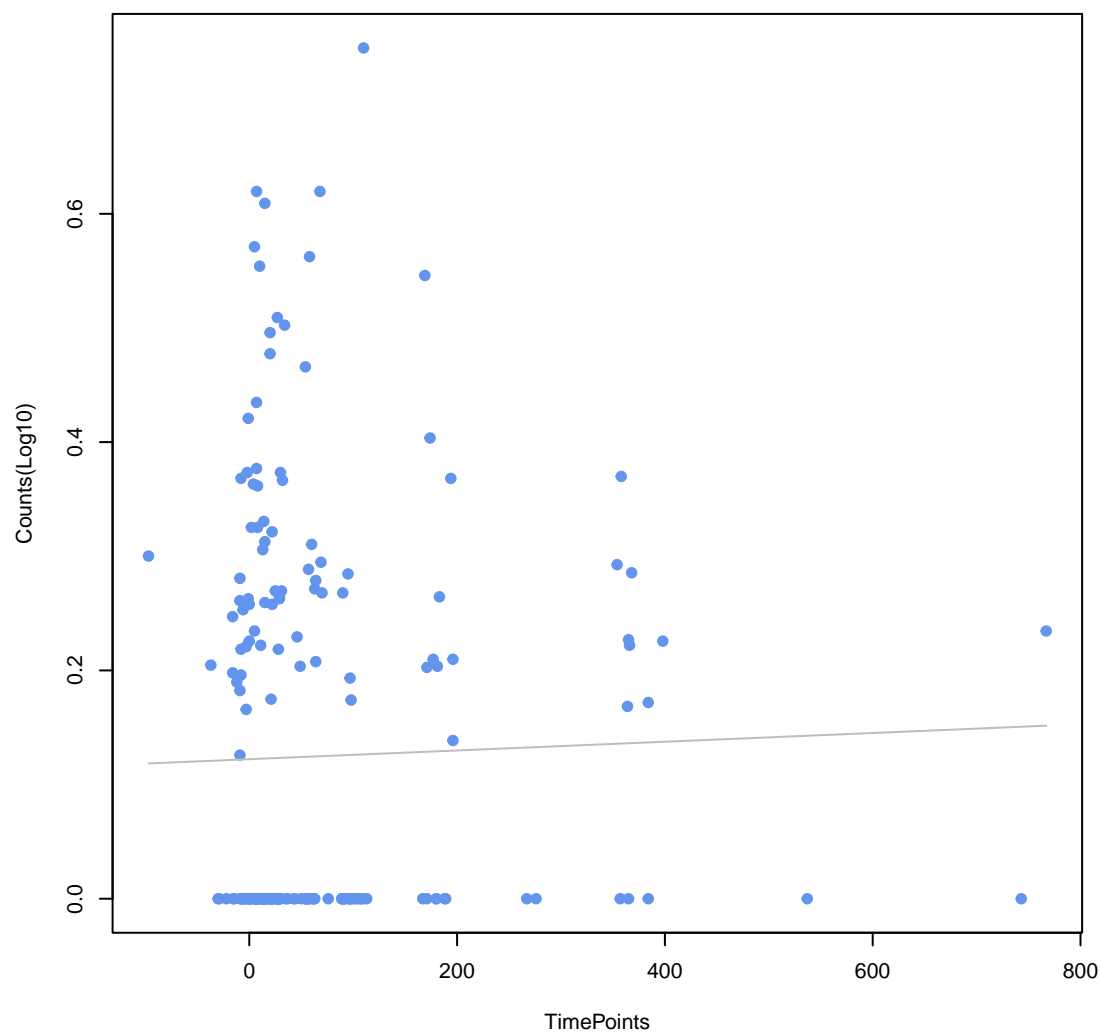
vanR gene in vanD cluster
ANOVA P=0.674, adj. ANOVA-P=0.879



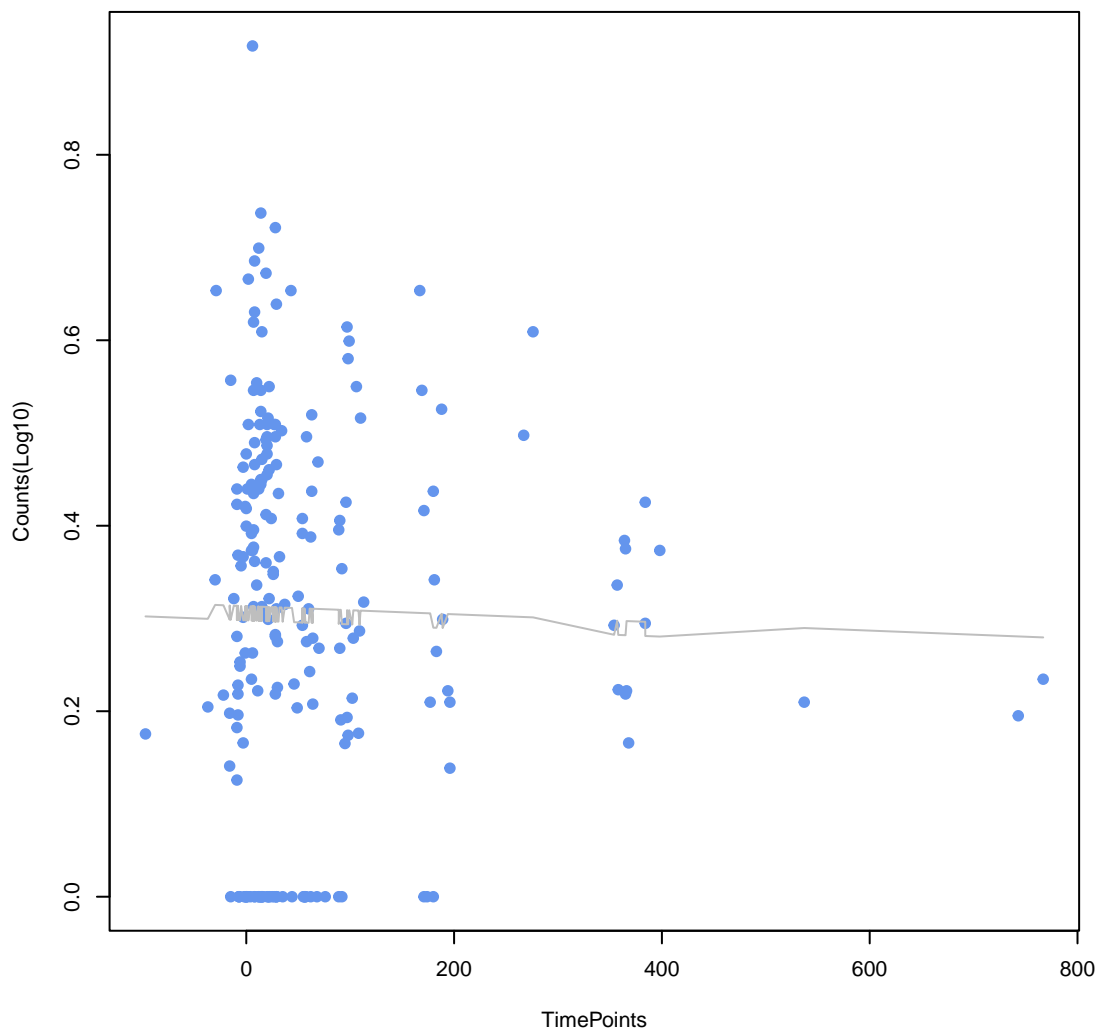
PDC-402
ANOVA P=0.686, adj. ANOVA-P=0.885



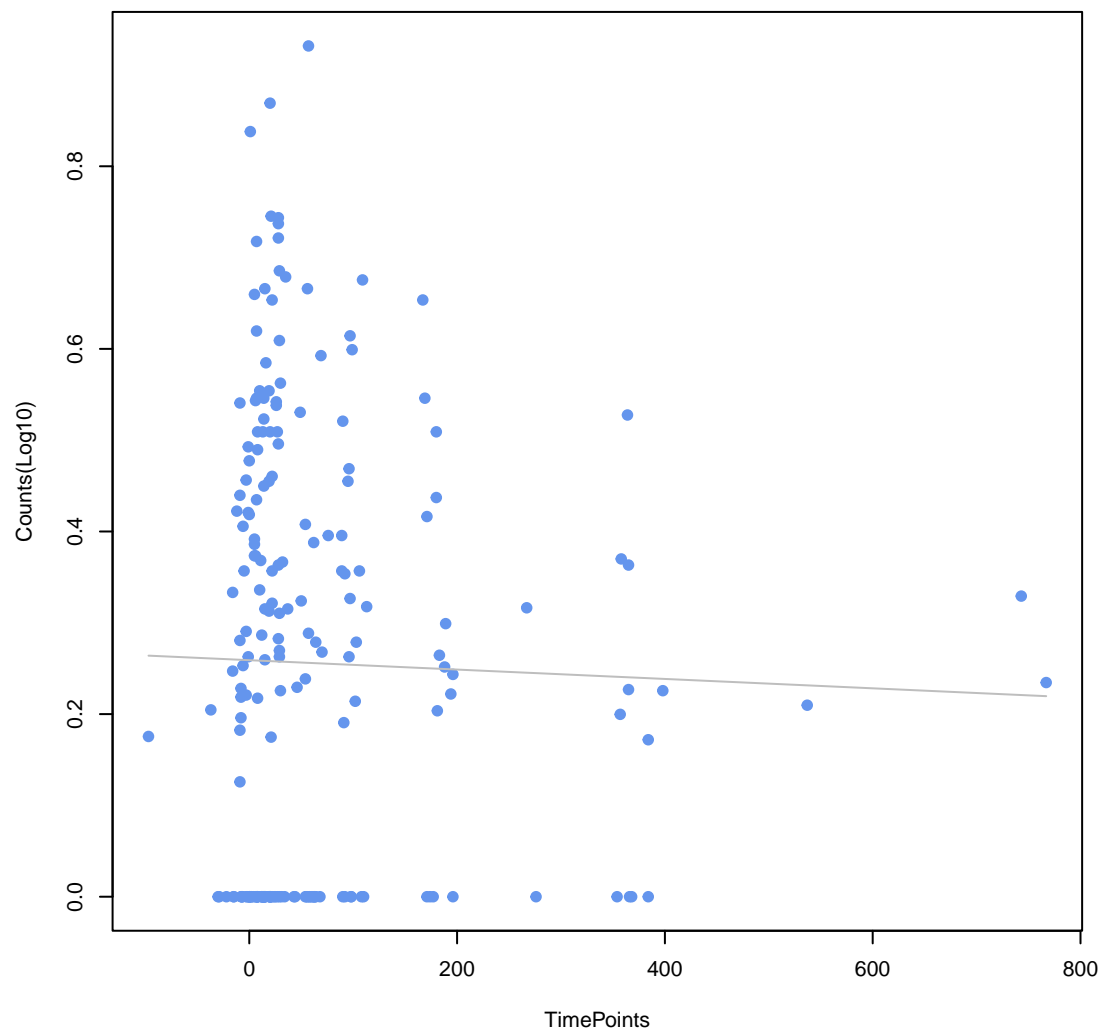
AcrE
ANOVA P=0.703, adj. ANOVA-P=0.887



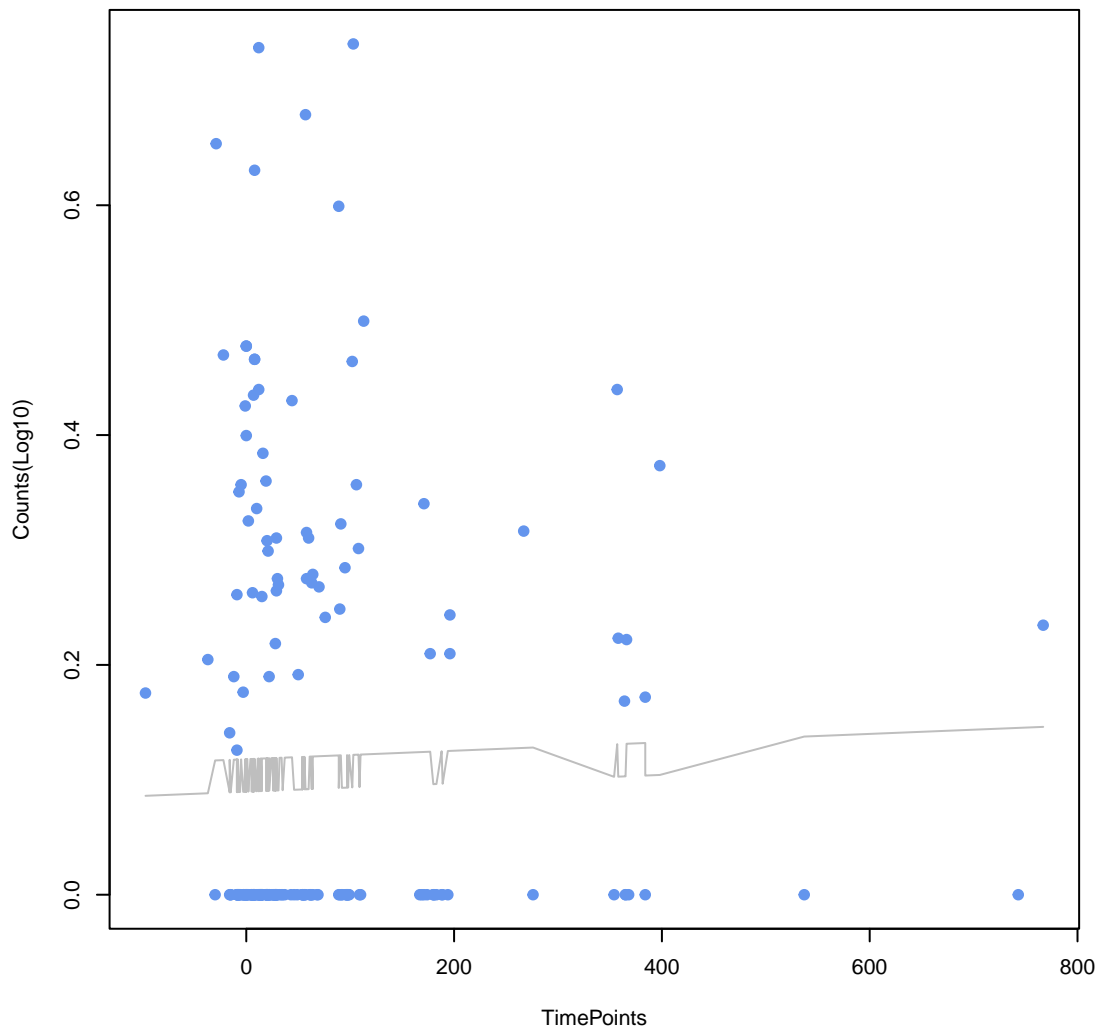
aad(6)
ANOVA P=0.714, adj. ANOVA-P=0.887



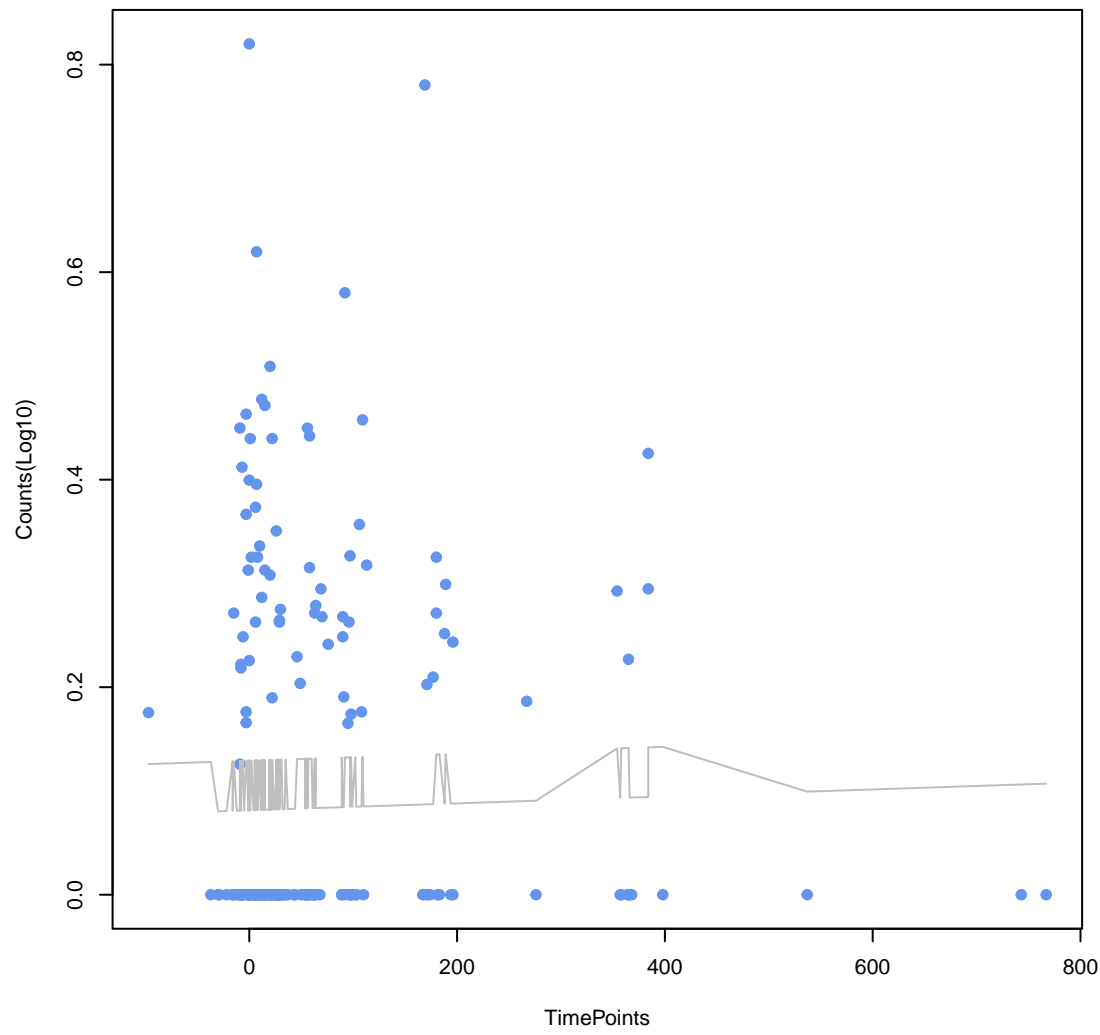
fexA
ANOVA P=0.714, adj. ANOVA-P=0.887



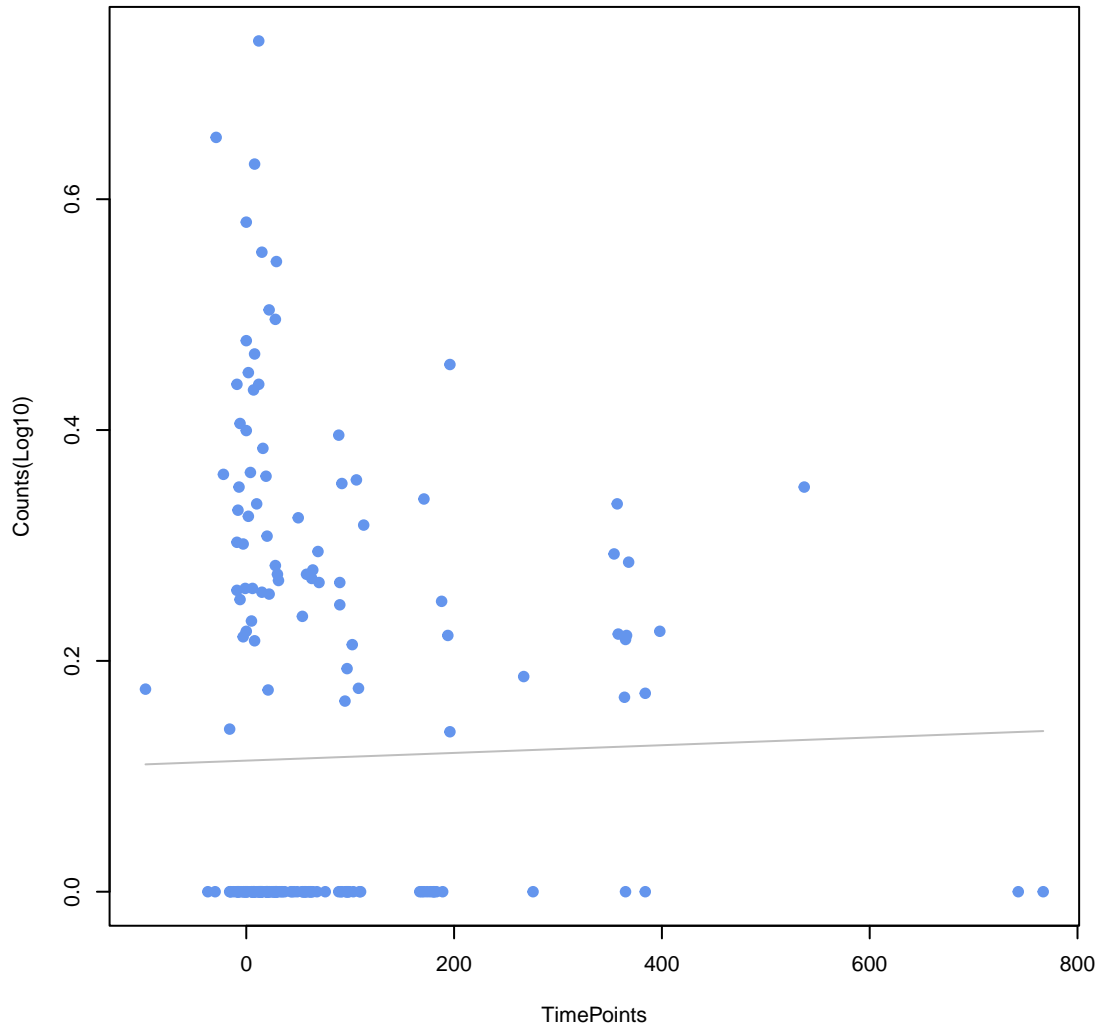
vanX gene in vanD cluster
ANOVA P=0.721, adj. ANOVA-P=0.887



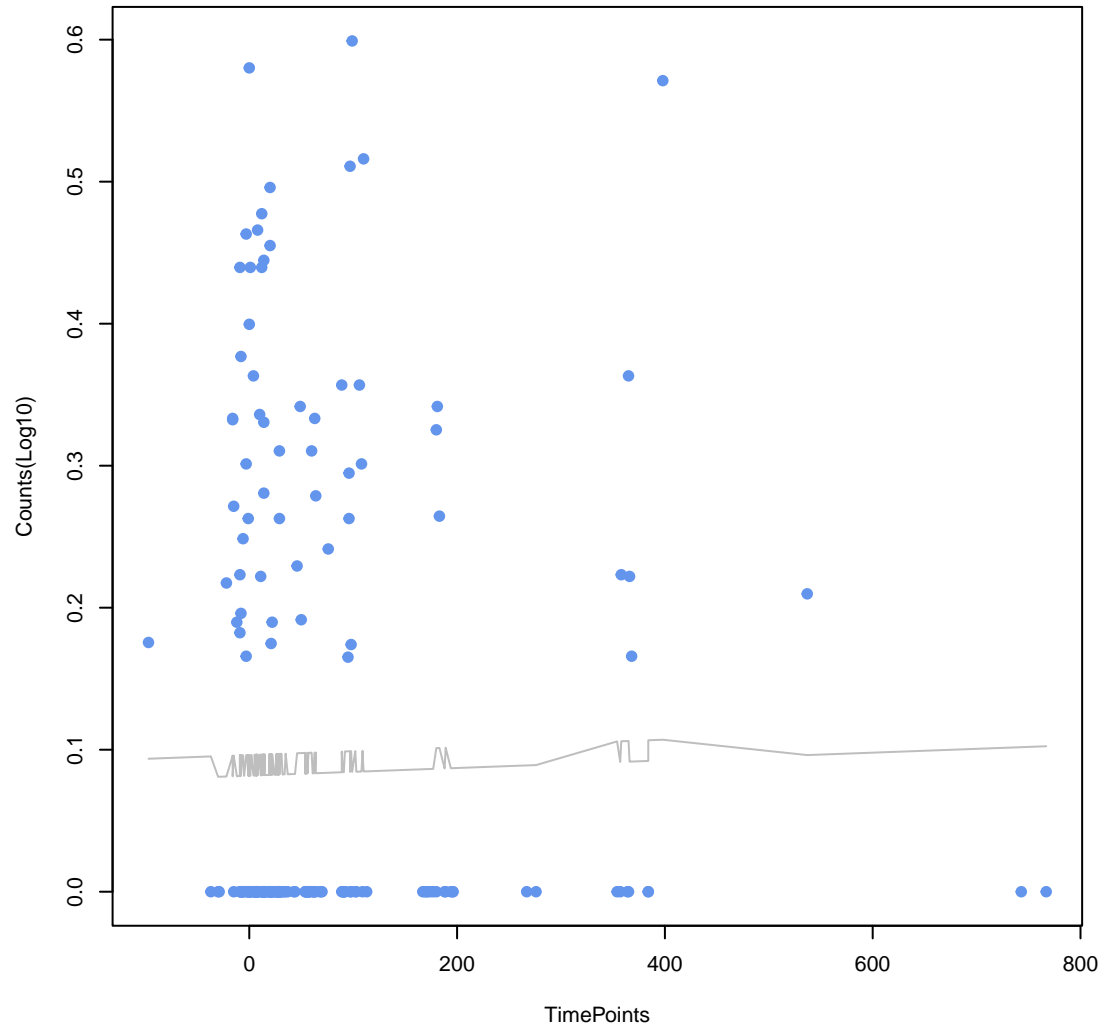
farB
ANOVA P=0.734, adj. ANOVA-P=0.888



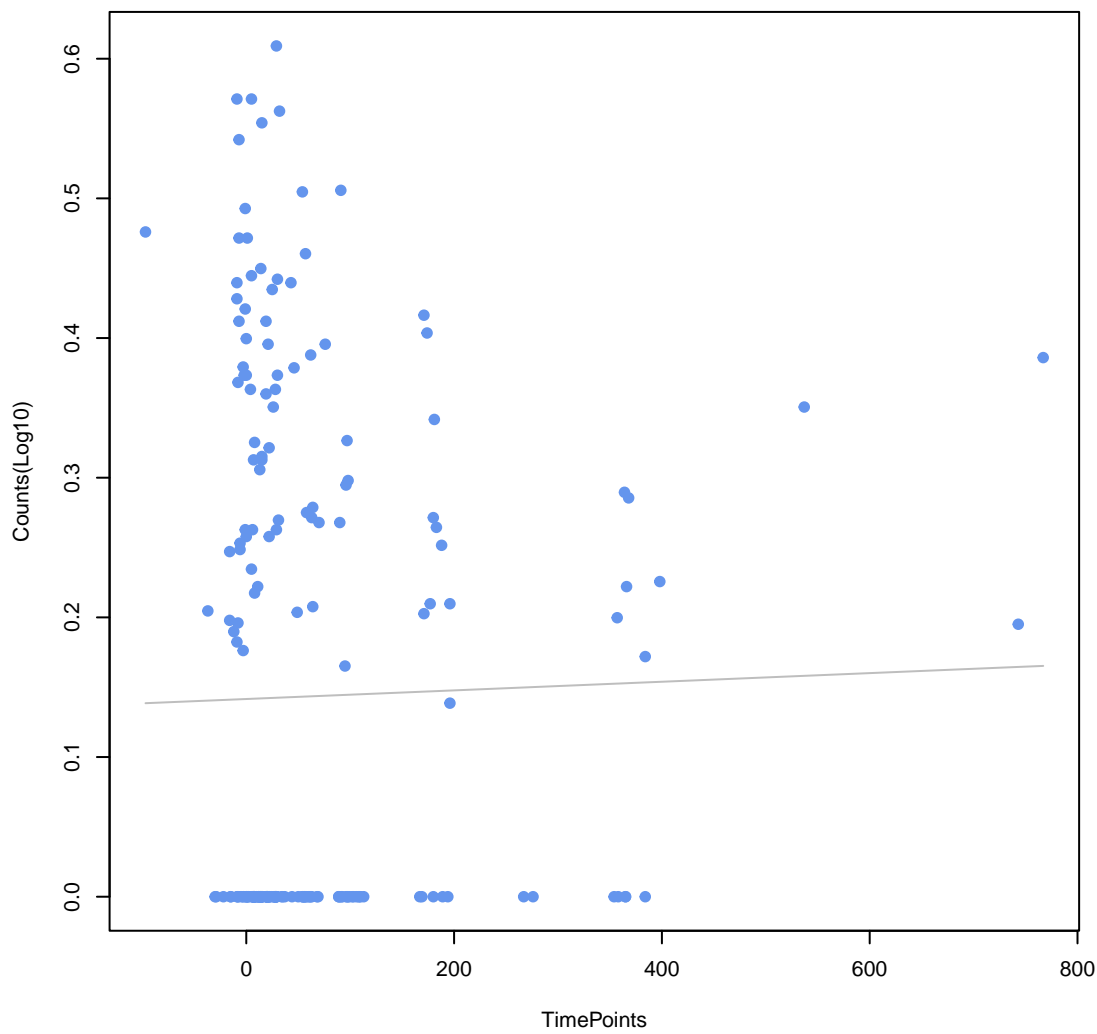
vanS gene in vanD cluster
ANOVA P=0.739, adj. ANOVA-P=0.888



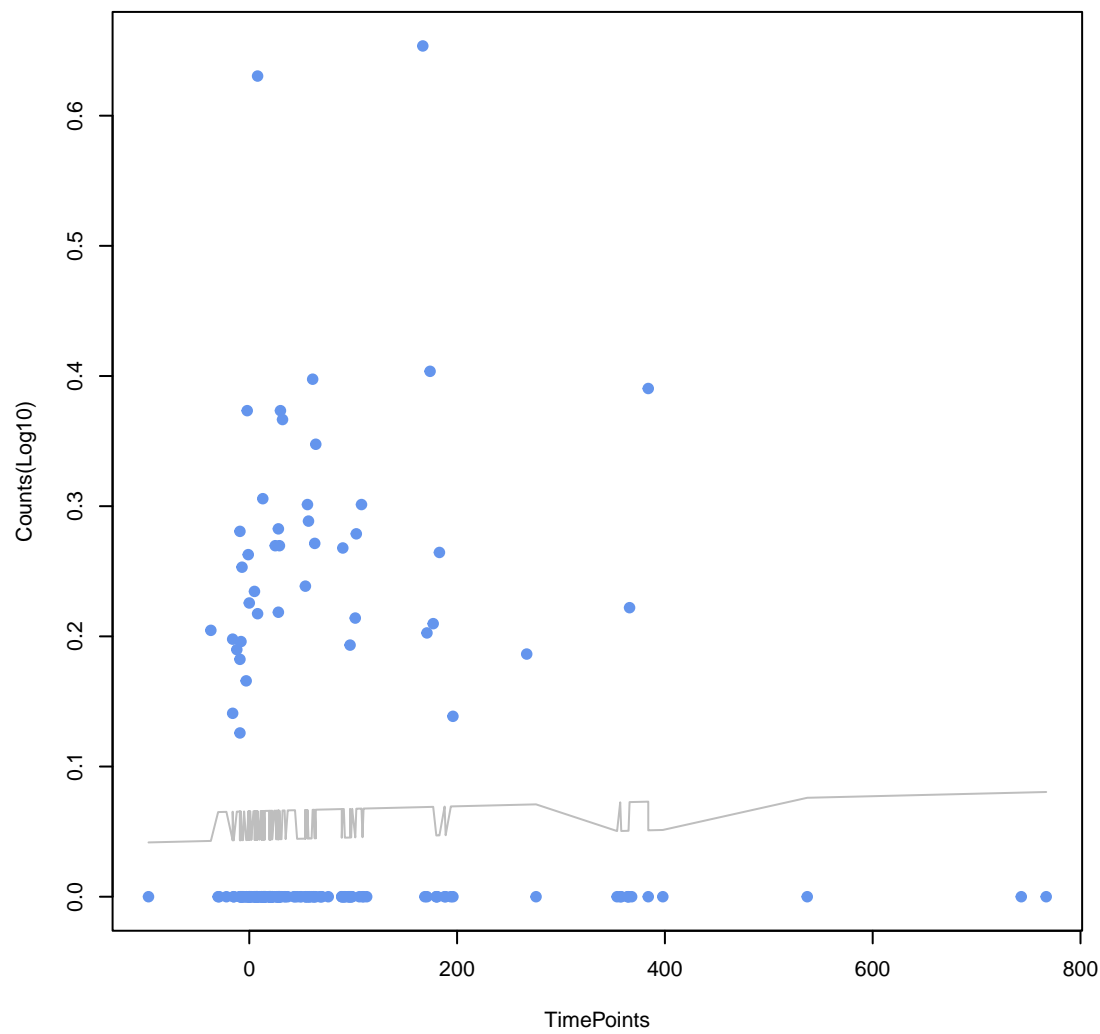
TaeA
ANOVA P=0.768, adj. ANOVA-P=0.904



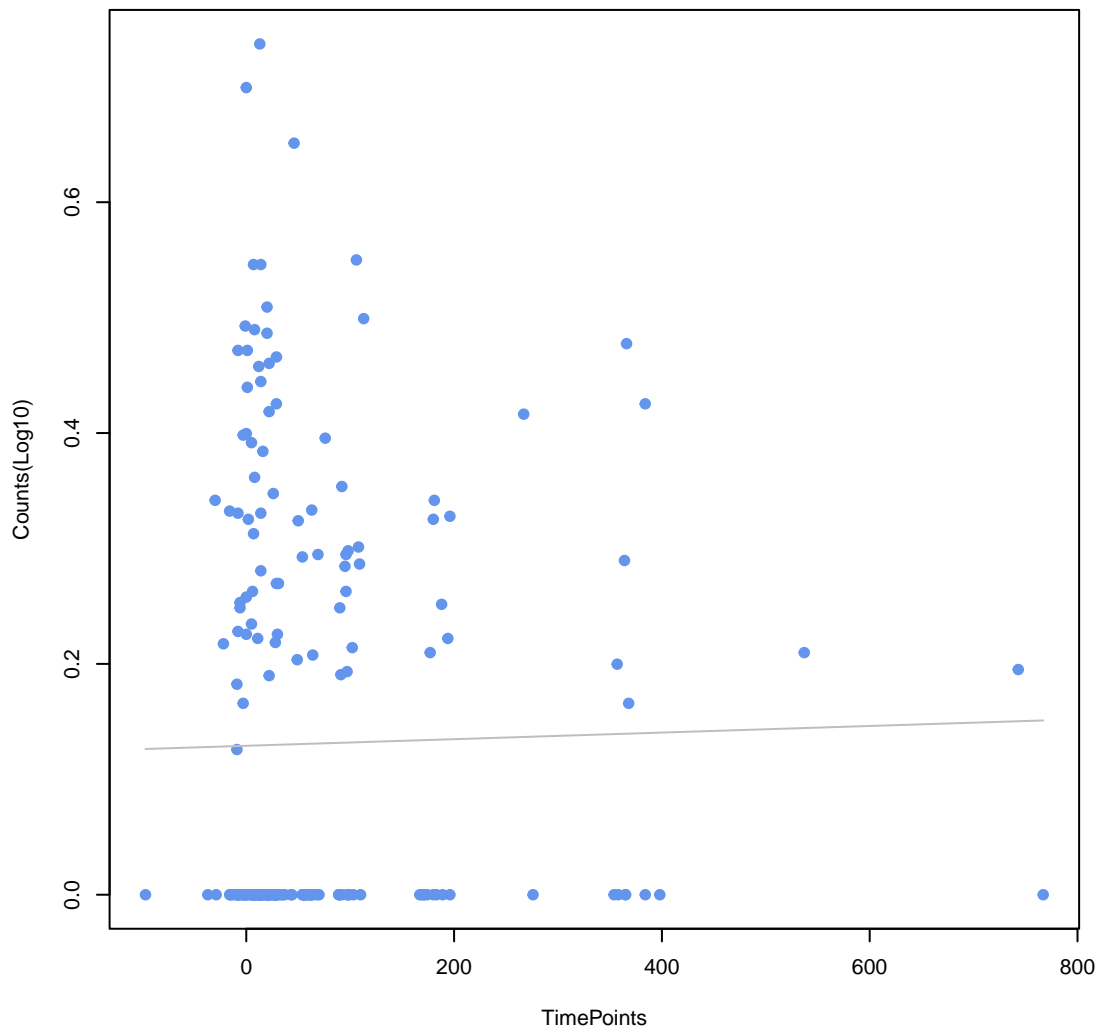
YojI
ANOVA P=0.769, adj. ANOVA-P=0.904



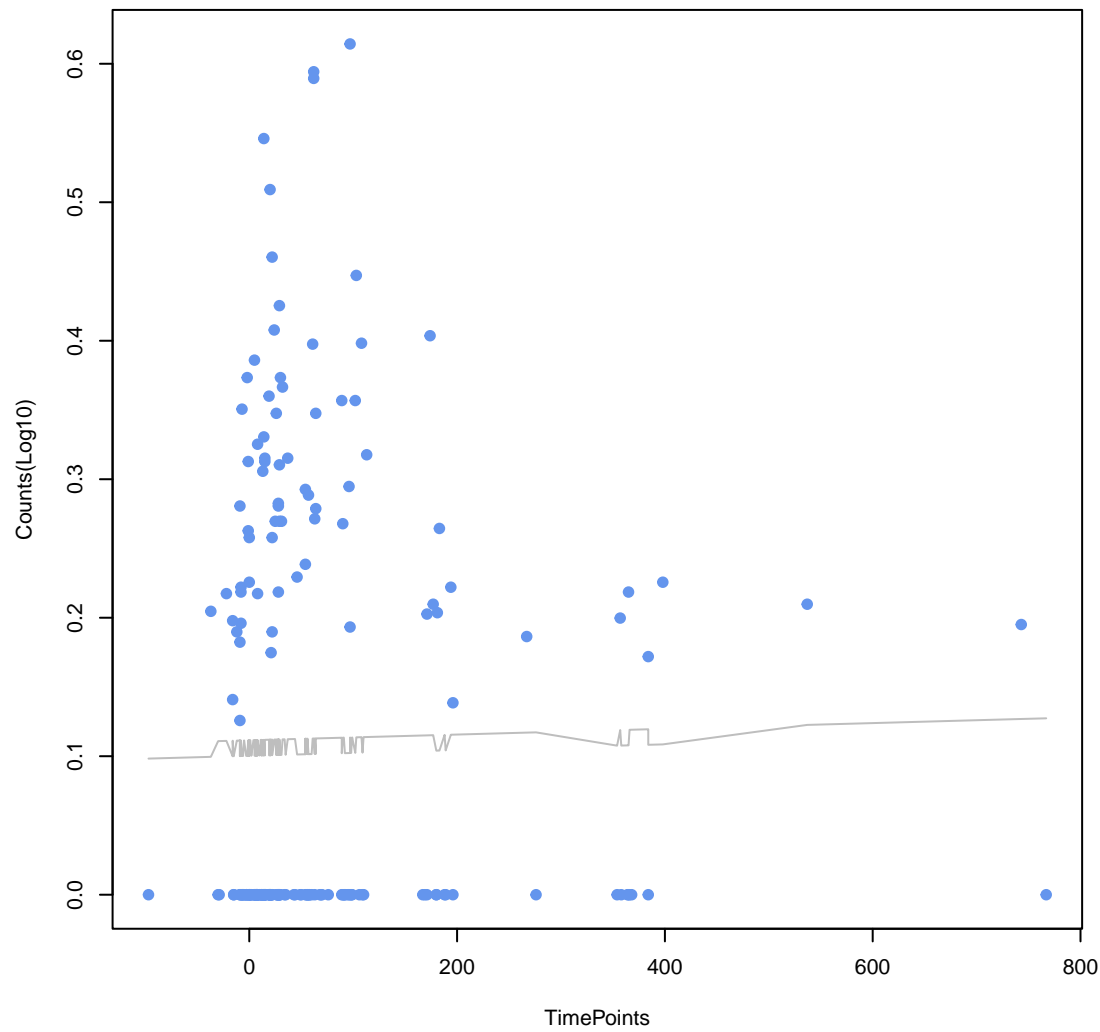
Escherichia coli GlpT with mutation conferring resistance to fosfomycin
ANOVA P=0.783, adj. ANOVA-P=0.907



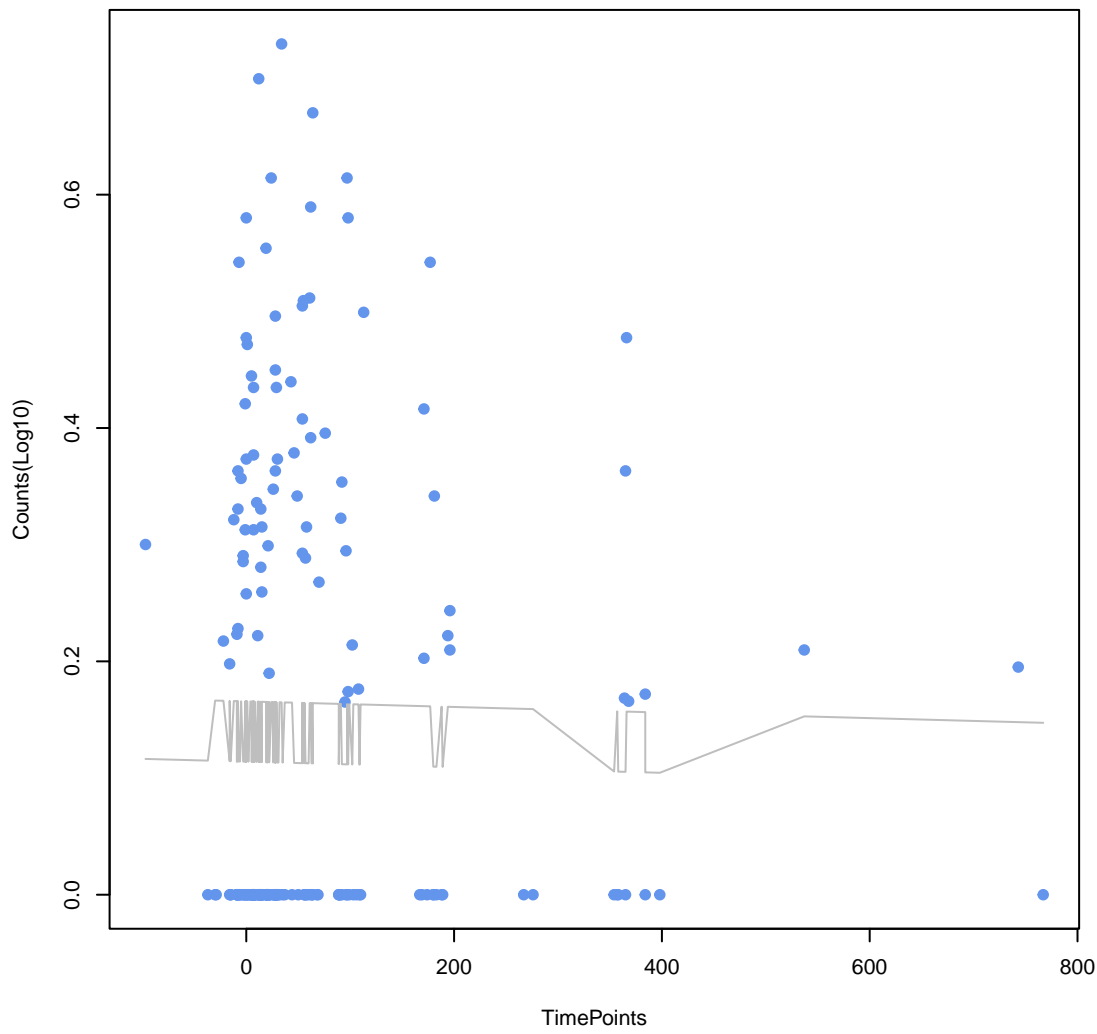
MuxC
ANOVA P=0.788, adj. ANOVA-P=0.907



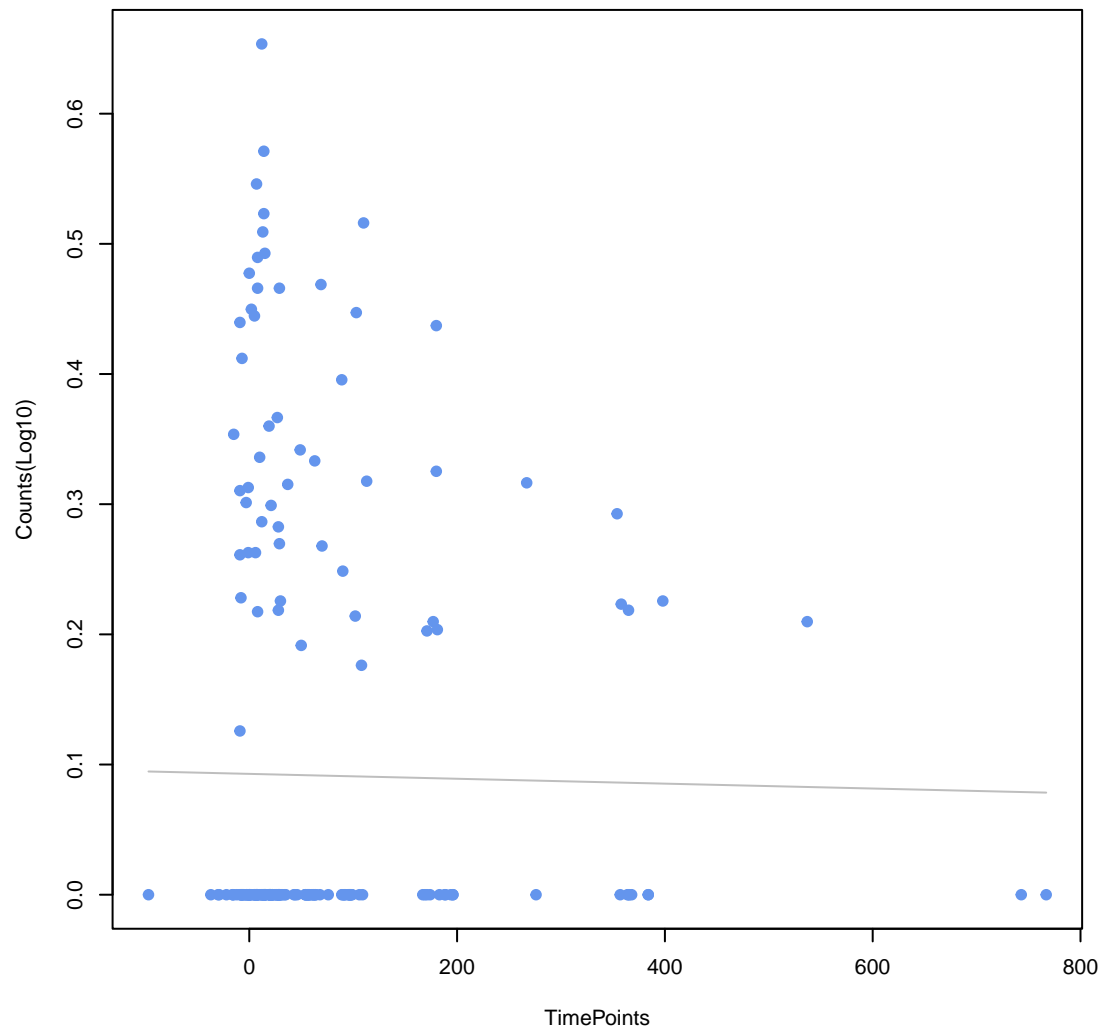
rsmA
ANOVA P=0.82, adj. ANOVA-P=0.933



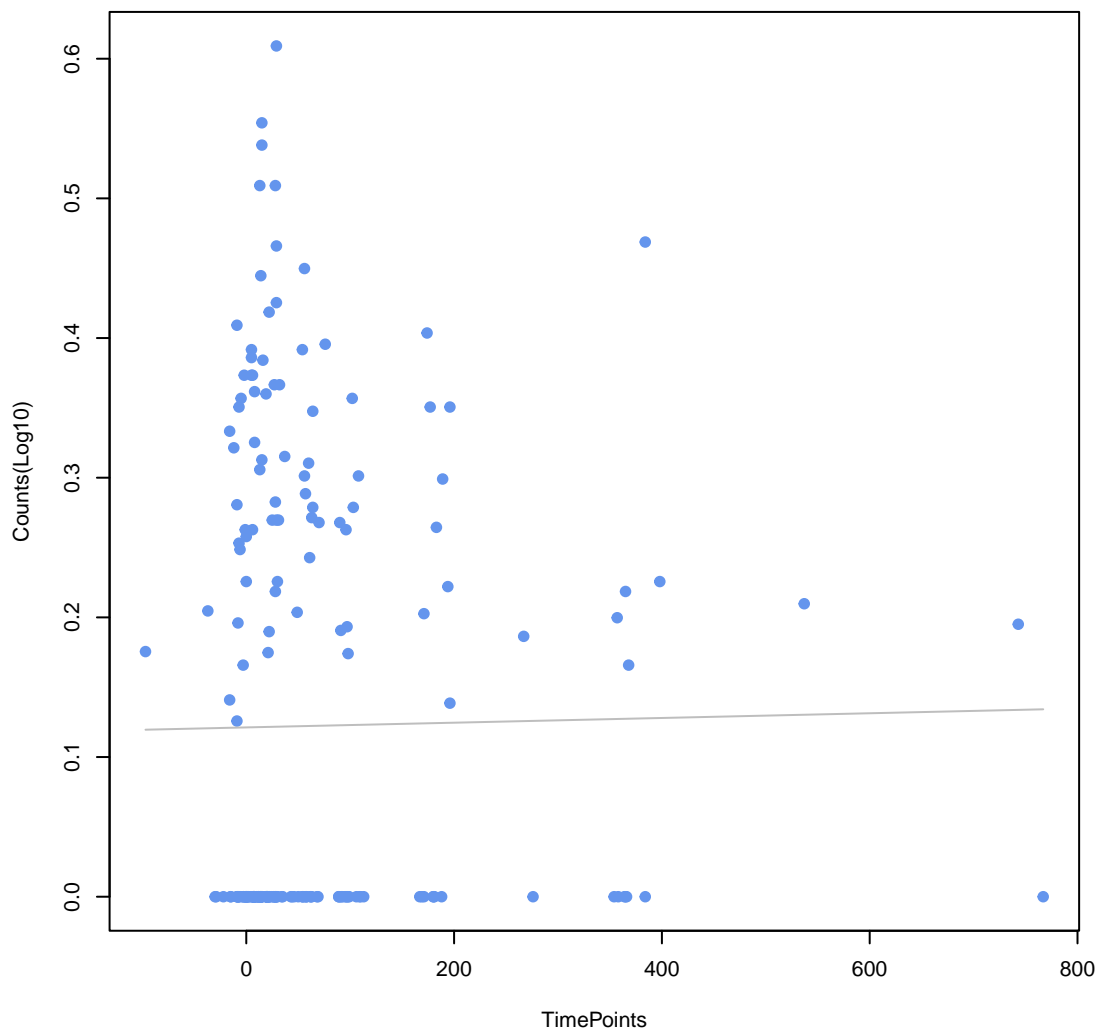
Klebsiella pneumoniae KpnH
ANOVA P=0.833, adj. ANOVA-P=0.938



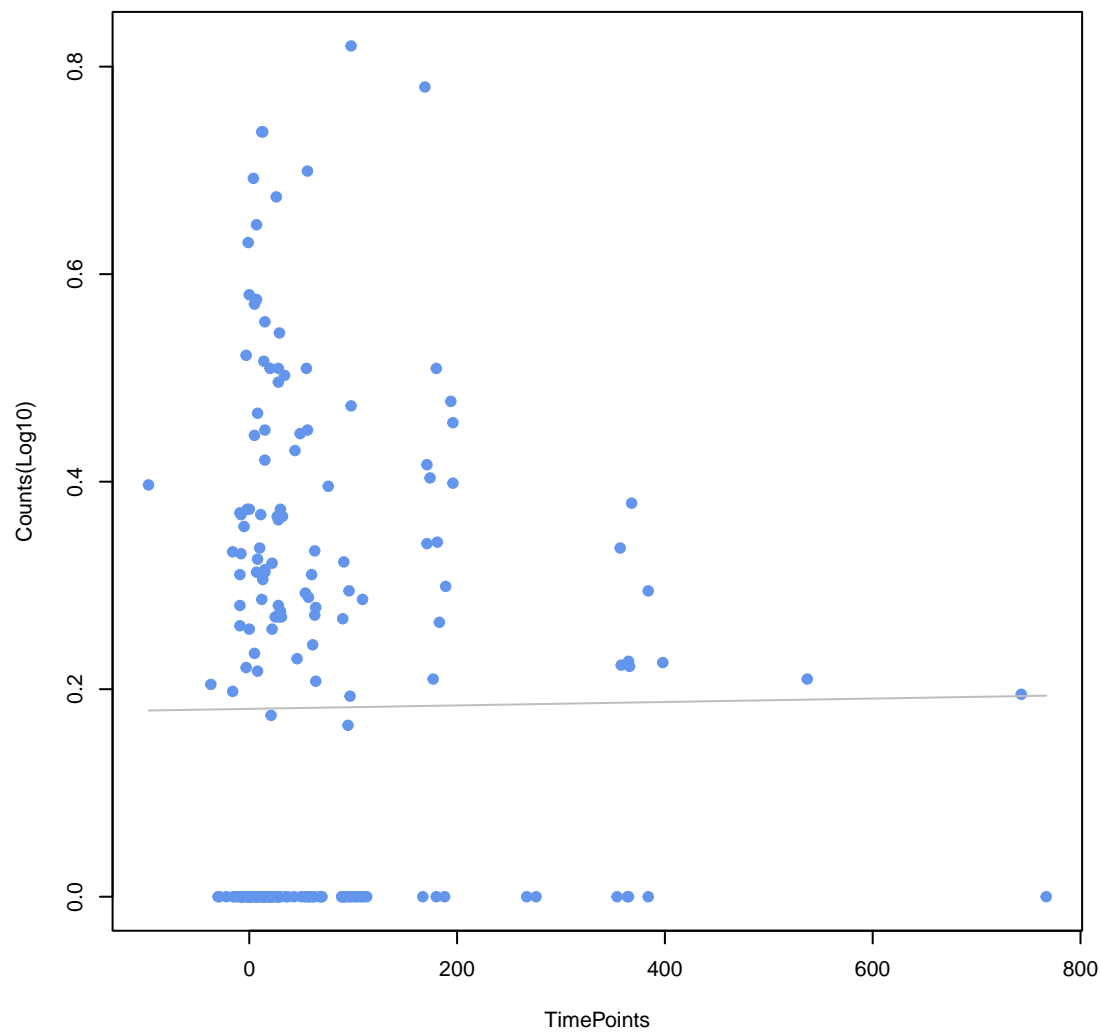
oleB
ANOVA P=0.843, adj. ANOVA-P=0.94



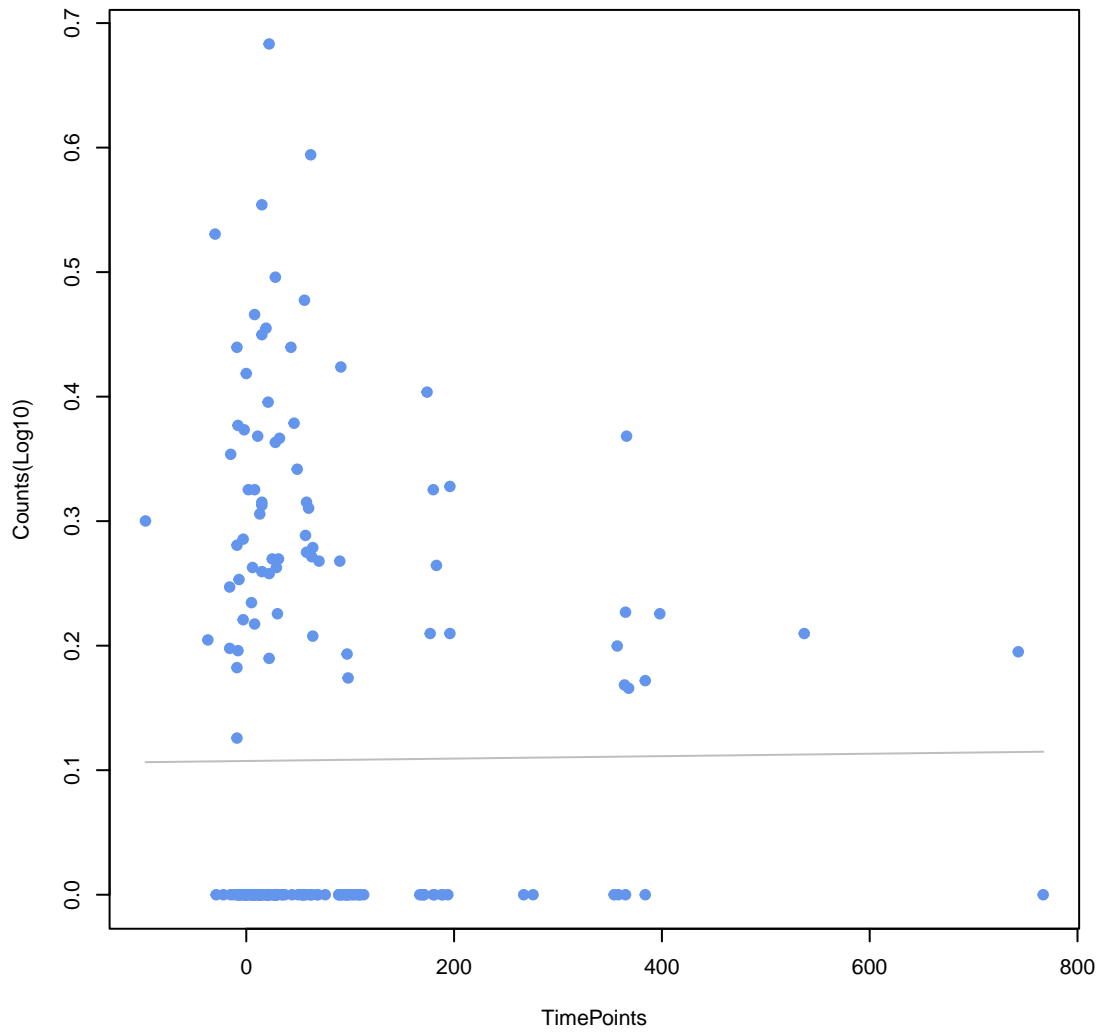
kdpE
ANOVA P=0.859, adj. ANOVA-P=0.947



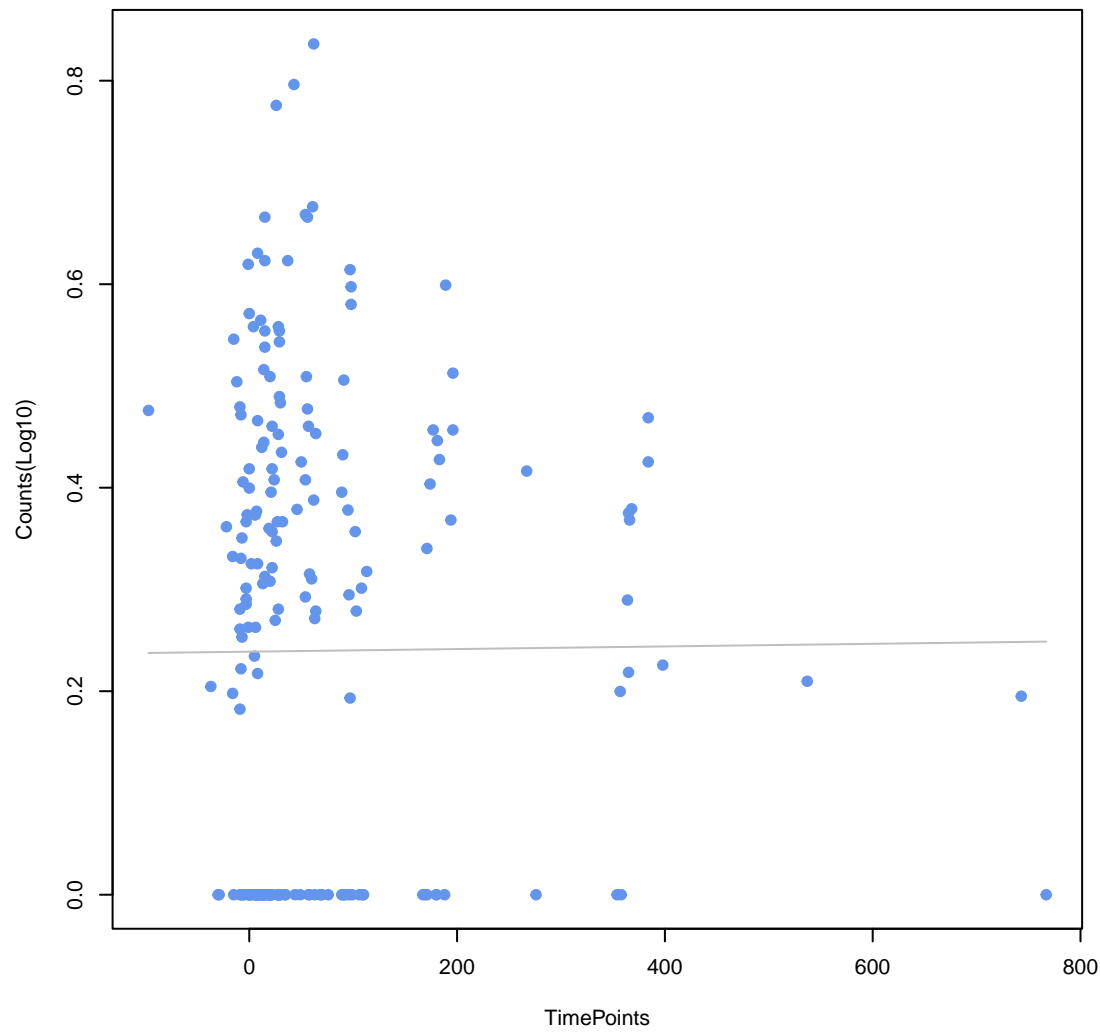
ToIC
ANOVA P=0.895, adj. ANOVA-P=0.977



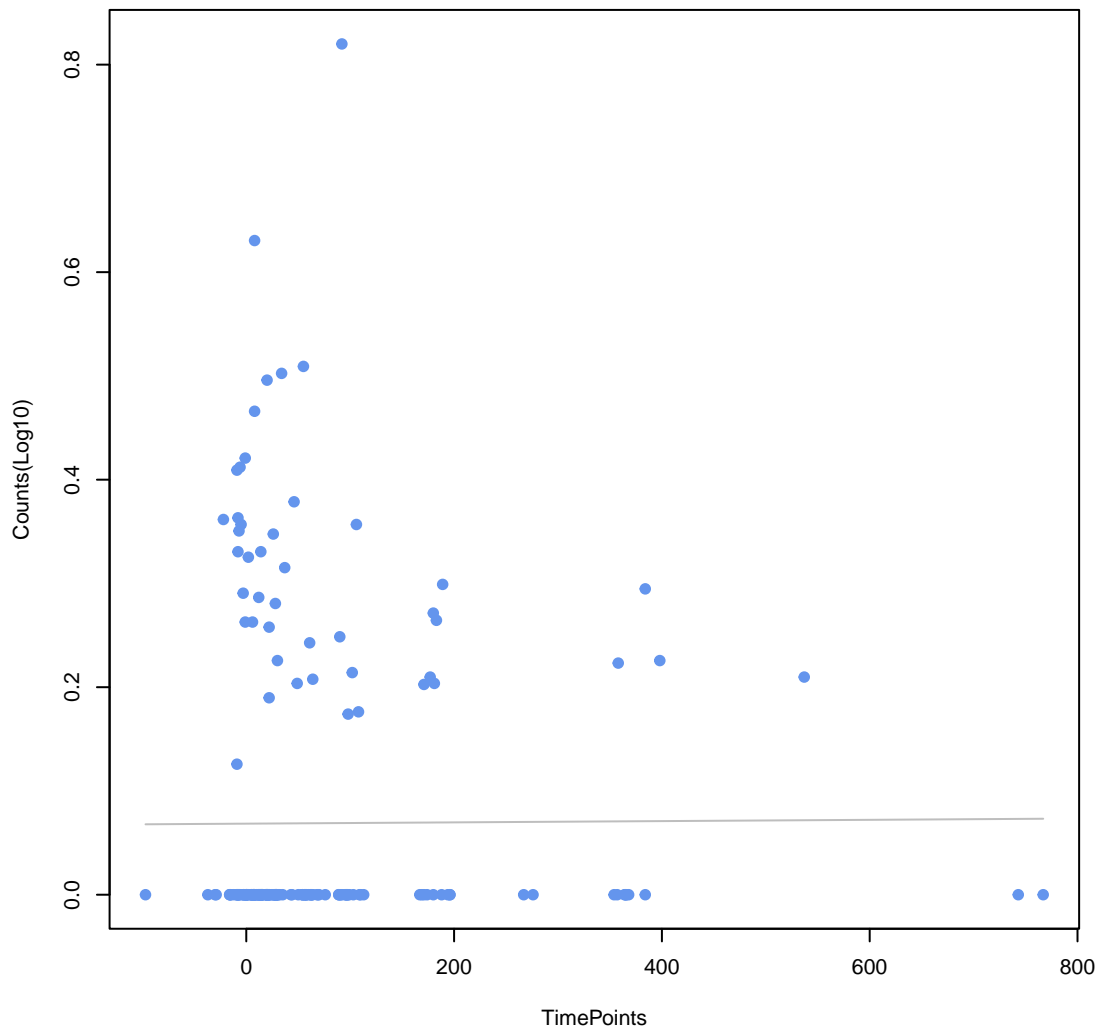
emrK
ANOVA P=0.918, adj. ANOVA-P=0.983



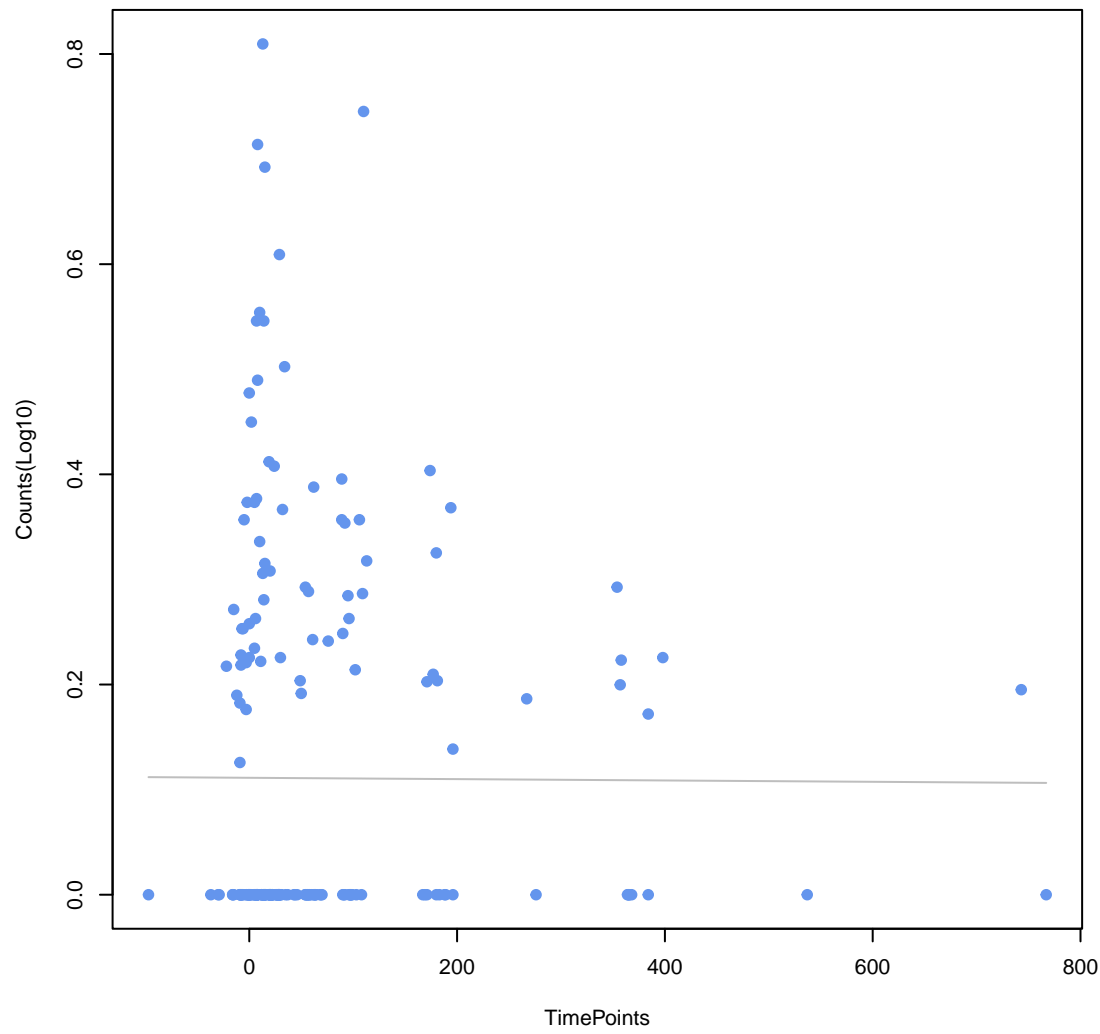
msbA
ANOVA P=0.923, adj. ANOVA-P=0.983



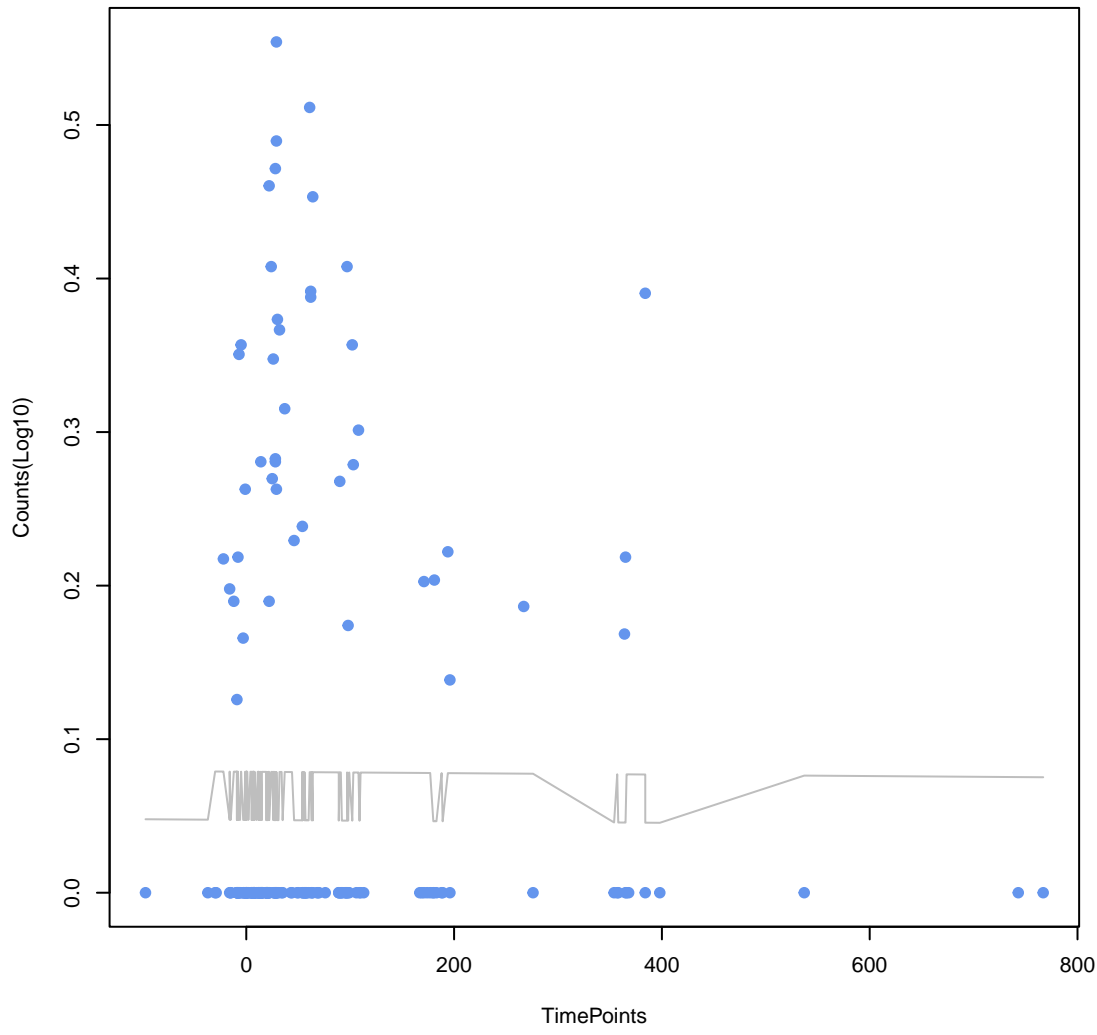
Klebsiella pneumoniae acrA
ANOVA P=0.941, adj. ANOVA-P=0.983



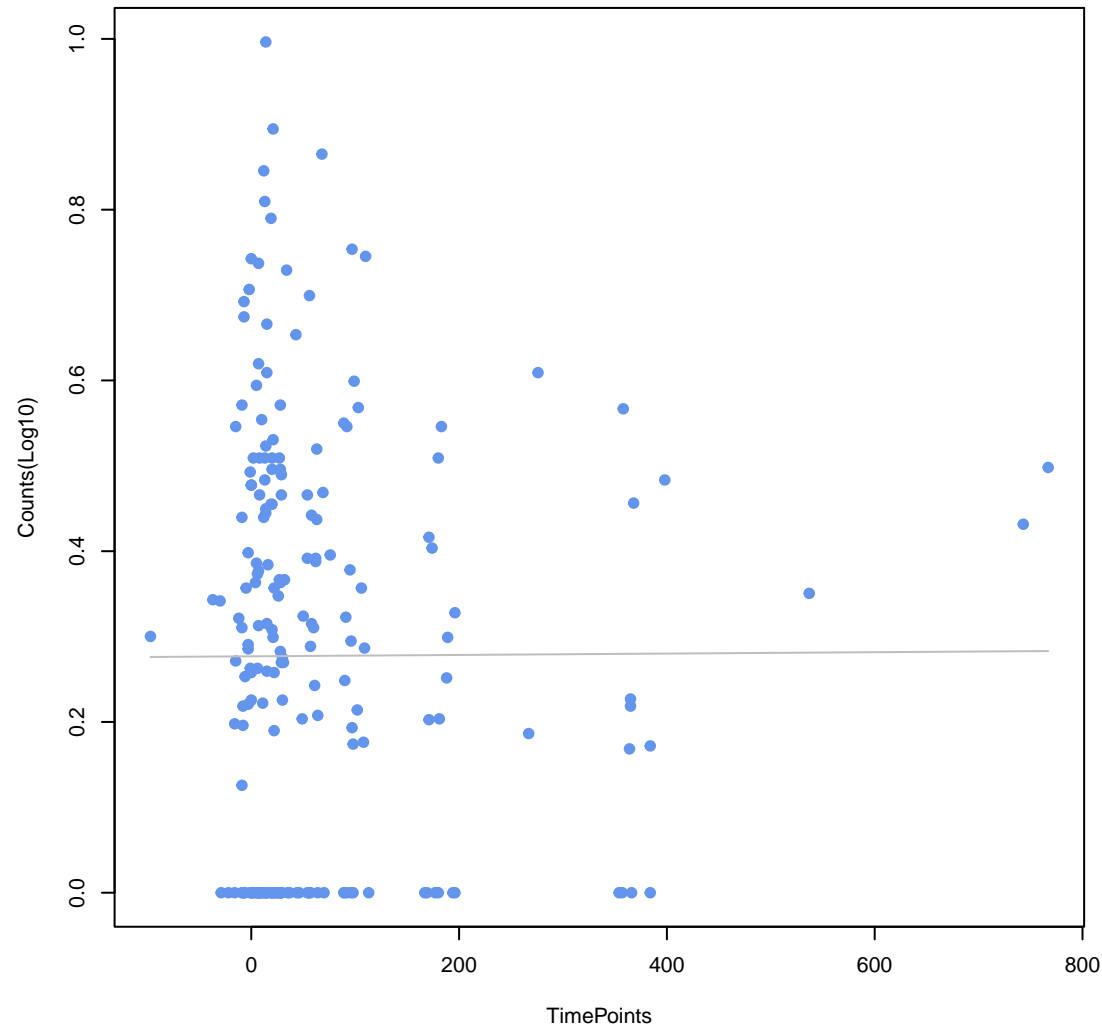
CfxA3
ANOVA P=0.951, adj. ANOVA-P=0.983



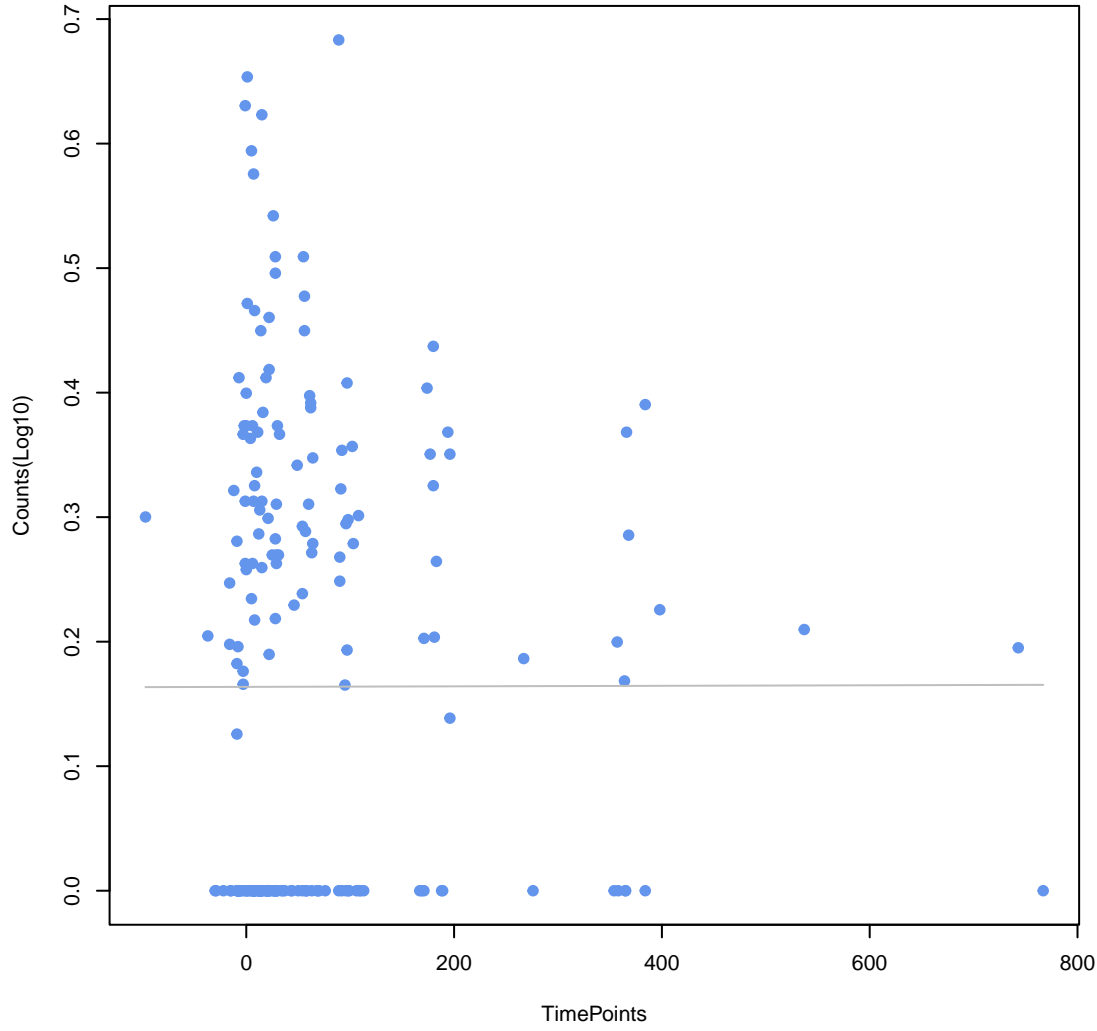
Escherichia coli UhpT with mutation conferring resistance to fosfomycin
ANOVA P=0.951, adj. ANOVA-P=0.983



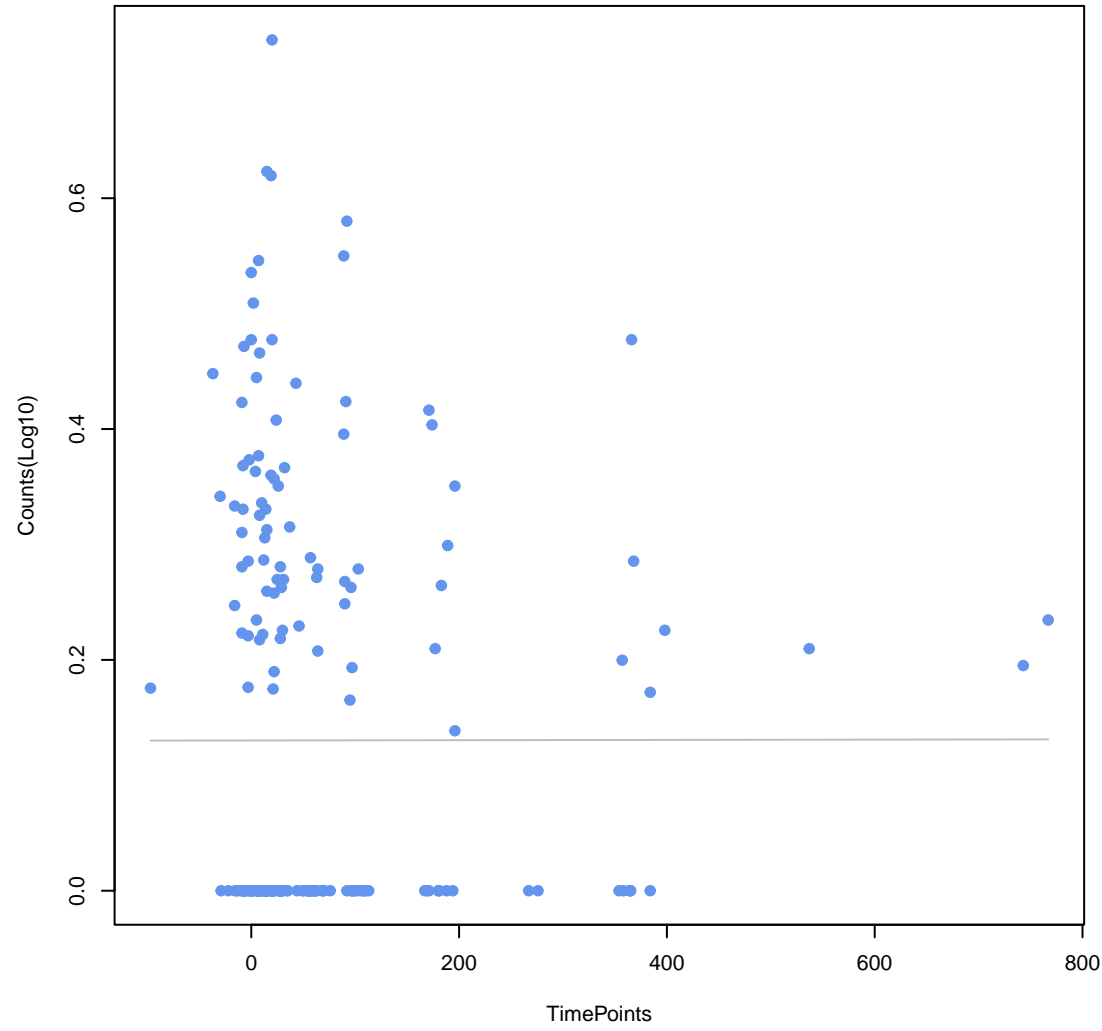
efrB
ANOVA P=0.955, adj. ANOVA-P=0.983



emrA
ANOVA P=0.984, adj. ANOVA-P=0.995



emrY
ANOVA P=0.991, adj. ANOVA-P=0.995



mdtP
ANOVA P=0.995, adj. ANOVA-P=0.995

